

จุดคอนแทรคชันสำหรับการไหลเคลือบเส้นลวดแบบทวิบ์ทูลิ่ง



นายสายธาร เทนอิสสระ

สถาบันวิทยบริการ

จุฬาลงกรณ์มหาวิทยาลัย

วิทยานิพนธ์นี้เป็นส่วนหนึ่งของการศึกษาตามหลักสูตรปริญญาวิทยาศาสตรมหาบัณฑิต

สาขาวิชาวิทยาการคณนา ภาควิชาคณิตศาสตร์

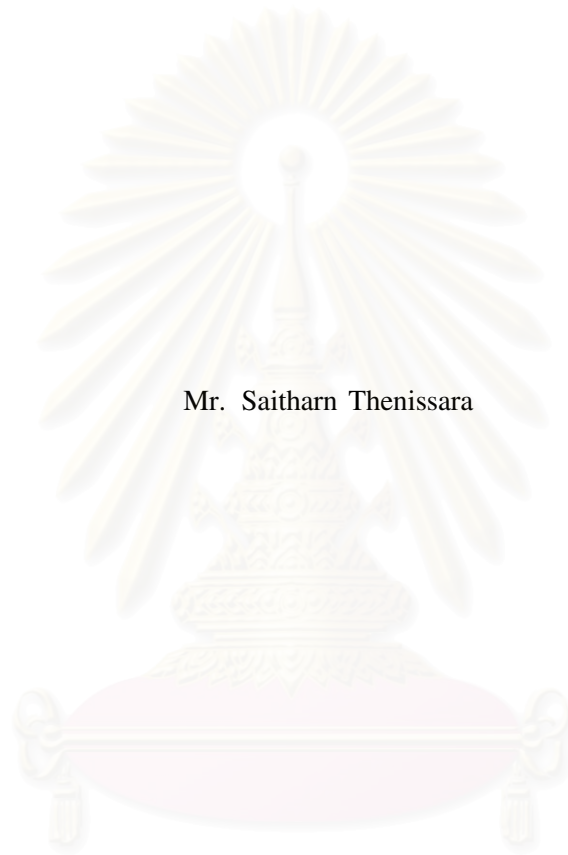
คณะวิทยาศาสตร์ จุฬาลงกรณ์มหาวิทยาลัย

ปีการศึกษา 2547

ISBN 974-53-1677-6

ลิขสิทธิ์ของจุฬาลงกรณ์มหาวิทยาลัย

THE CONTRACTION POINT FOR TUBE-TOOLING
WIRE-COATING FLOW



Mr. Saitharn Thenissara

สถาบันวิทยบริการ
จุฬาลงกรณ์มหาวิทยาลัย
A Thesis Submitted in Partial Fulfillment of the Requirements
for the Degree of Master of Science in Computational Science

Department of Mathematics

Faculty of Science

Chulalongkorn University

Academic Year 2004

ISBN 974-53-1677-6

หัวข้อวิทยานิพนธ์ : จุดคอนแทรกชันสำหรับการไหลเคลือบเส้นลวดแบบทวิขั้วทูลิ่ง

โดย : นายสายธาร เทนอิสสระ

สาขาวิชา : วิทยาการคณา

อาจารย์ที่ปรึกษา : ผู้ช่วยศาสตราจารย์ ดร. วิมลรัตน์ งามอร่ามวางกูร

คณะวิทยาศาสตร์ จุฬาลงกรณ์มหาวิทยาลัย อนุมัติให้หัวข้อวิทยานิพนธ์ฉบับนี้เป็นส่วนหนึ่งของการศึกษาตามหลักสูตรปริญญาวิทยาศาสตรบัณฑิต

..... คณบดีคณะวิทยาศาสตร์
(ศาสตราจารย์ ดร. เปี่ยมศักดิ์ เมนะเสวต)

คณะกรรมการสอบวิทยานิพนธ์

..... ประธานกรรมการ
(รองศาสตราจารย์ ดร. จักษ์ อัสวานันท์)

..... อาจารย์ที่ปรึกษา
(ผู้ช่วยศาสตราจารย์ ดร. วิมลรัตน์ งามอร่ามวางกูร)

..... กรรมการ
(ผู้ช่วยศาสตราจารย์ ดร. พรชัย สาตราหา)

..... กรรมการ
(ผู้ช่วยศาสตราจารย์ ดร. อนุสรณ์ ชนวีระยุทธ)

สายธาร เทนนิสสระ : จุดคอนแทรกชันสำหรับการไหลเคลือบเส้นลวดแบบทิว์ทูลิ่ง. (THE CONTRACTION POINT FOR TUBE-TOOLING WIRE-COATING FLOW) อ. ที่ปรึกษา : ผู้ช่วยศาสตราจารย์ ดร. วิมลรัตน์ งามอร่ามราษฎร์, 107 หน้า. ISBN 974-53-1677-6.

ในปัจจุบันนี้การวิจัยทางการไหลของของไหลนอนนิวโตเนียน ได้แพร่หลายเป็นอย่างมาก ซึ่งบางชนิดของของไหลนอนนิวโตเนียนมีส่วนเกี่ยวข้องกับการผลิตเชิงอุตสาหกรรมที่มีการใช้พอลิเมอร์ เช่น การเคลือบเส้นลวด การทำเส้นใยนำแสง เป็นต้น การไหลเคลือบเส้นลวดมี 2 ลักษณะคือ แบบเพรชเซอร์ทูลิ่ง ซึ่งเป็นแบบที่พอลิเมอร์หลอมเหลวไหลมาสัมผัสเส้นลวดภายในตาย และแบบทิว์ทูลิ่ง เป็นแบบที่พอลิเมอร์หลอมเหลวไหลมาสัมผัสเส้นลวดภายนอกตาย สำหรับจุดแรกสุดที่พอลิเมอร์หลอมเหลวไหลมาสัมผัสกับเส้นลวดจะเรียกว่า จุดคอนแทรกชัน ในงานวิจัยชิ้นนี้จะจำลองปัญหาการไหลเคลือบเส้นลวดแบบทิว์ทูลิ่ง ด้วยสมการเนเวียร์-สโตกส์ และสมการองค์ประกอบในระบบพิกัดทรงกระบอก 2 มิติ เพื่อทำนายจุดคอนแทรกชันหลังจากพอลิเมอร์หลอมเหลวไหลออกจากตาย เพื่อหาผลเฉลยของปัญหาที่จำลองขึ้นโดยใช้หลักการเชิงตัวเลขที่เรียกว่า ระเบียบวิธีขึ้นประกอบอันตะเซมิ-อิมพิซิทท์เอเลอร์กาเลอร์คินเพรชเซอร์คอร์เรคชัน โดยคำนึงถึงปัจจัยต่างๆ ที่มีผลต่อจุดคอนแทรกชัน เช่น ความดัน ความเร็ว ความตึงผิว ความหนืดของพอลิเมอร์หลอมเหลวและความเร็วของเส้นลวด ภายใต้ข้อสมมติฐานที่ว่า ของไหลไม่มีการบีบอัดตัว การไหลเป็นแบบราบเรียบ และระบบไม่ขึ้นกับอุณหภูมิ

สถาบันวิทยบริการ
จุฬาลงกรณ์มหาวิทยาลัย

ภาควิชา คณิตศาสตร์ ลายมือชื่อนิสิต

สาขาวิชา วิทยาการคณนา ลายมือชื่ออาจารย์ที่ปรึกษา

ปีการศึกษา 2547

4472445023 : MAJOR COMPUTATIONAL SCIENCE

KEY WORD : FINITE ELEMENT / WIRE-COATING / TUBE-TOOLING / PTT

SAITHARN THENISSARA : THE CONTRACTION POINT FOR TUBE-TOOLING WIRE-COATING FLOW. THESIS ADVISOR : ASST. PROF. VIMOLRAT NGAMARAMVARANGGUL, Ph.D. 107 pp. ISBN 974-53-1677-6.

Recently the flows behaviour of non-Newtonian fluids are a popular research area for the polymer processing industry, for example of wire-coating, fiber optics etc. Wire-coating processes modelling consist of 2 particular dies: pressure-tooling which the wire coating process begins coating within the die cast, and tube-tooling in which wire is coated by polymer melt outside the die. For the second die, the location where the polymer melt flows to contact wire at the beginning of coating is called the contraction point. In this thesis, the problem of annular tube-tooling extrusion was simulated by using Navier-Stokes and constitutive equations in two dimensional cylindrical coordinate system in order to predict the contraction point of the polymer melt beyond the die. The solutions of this problem are solved by a numerical method which is called semi-implicit Taylor-Galerkin pressure-correction finite element scheme. The factors influential to the contraction point are pressure, velocity, viscosity, surface tension of polymer melt, and wire speed. These are considered under the following assumptions: incompressible, laminar and isothermal flow.

สถาบันวิทยบริการ
จุฬาลงกรณ์มหาวิทยาลัย

Department Mathematics Student's signature

Field of study Computational Science Advisor's signature

Academic year 2004

กิตติกรรมประกาศ

ผู้วิจัยขอกราบขอบพระคุณ ผู้ช่วยศาสตราจารย์ ดร.วิมลรัตน์ งามอร่ามวางกูร อาจารย์ที่ปรึกษา วิทยานิพนธ์ สำหรับความกรุณาของท่านที่ได้ให้ทั้งความรู้ คำแนะนำ และคำปรึกษาต่างๆ ที่ทำให้งาน วิจัยสำเร็จลุล่วงอีกทั้งท่านได้สละเวลาเพื่อแนะนำในการแก้ปัญหาต่างๆและตรวจสอบความถูกต้องของ วิทยานิพนธ์จนเสร็จสมบูรณ์

ขอกราบขอบพระคุณ รองศาสตราจารย์ ดร.จักร์ อัสวานันท์ ประธานกรรมการ ผู้ช่วยศาสตราจารย์ ดร.พรชัย สาตราหา และผู้ช่วยศาสตราจารย์ ดร.อนุสรณ์ ชนวีระยุทธ กรรมการ ที่ได้ให้คำแนะนำ และความรู้ในการทำวิจัย ทำให้วิทยานิพนธ์ฉบับนี้มีความสมบูรณ์และถูกต้อง

ขอกราบขอบพระคุณ มหาวิทยาลัยเทคโนโลยีราชมงคล อีสาน นครราชสีมา ในความสนับสนุน ด้านการศึกษาแก่ผู้วิจัย และขอขอบพระคุณ ผู้ช่วยศาสตราจารย์ บังอร วินิจฉัยภาค ที่ได้ให้คำแนะนำ ต่างๆแก่ผู้วิจัย

ขอกราบขอบพระคุณ ศาสตราจารย์ ดร.ชิตชนก เหลือสินทรัพย์ และศูนย์วิจัย Advanced Virtual and Intelligent Computing Center (AVIC) สำหรับความอนุเคราะห์ให้ใช้ศูนย์ AVIC ใน การทำงานวิจัยและประมวลผลจนสำเร็จลุล่วง และขอขอบพระคุณ รองศาสตราจารย์ ดร.ณรงค์ฤทธิ์ สมบัติสมภพ ที่ได้ชี้แนะและความรู้ในการทำงานวิจัยนี้

ขอกราบขอบพระคุณ รองศาสตราจารย์ ดร.สุพจน์ ไวทย์ยางกูรและขอขอบคุณ คุณภณัฐ ก้วยเจริญ พานิชก์ สำหรับความรู้และคำแนะนำในการใช้งาน L^AT_EX

ขอขอบคุณคุณณวัฒน์ ทองจับ และคุณศิริกุล บัณฑิตเสาวภาคย์ สำหรับความช่วยเหลือ และคำปรึกษาที่เป็นประโยชน์กับงานวิจัย ตลอดจนเพื่อนๆปริญญาโทวิทยาการคอมพิวเตอร์ ที่นี้ด้วย

ท้ายสุดผู้วิจัยขอกราบขอบพระคุณบิดามารดาและคุณกาญจนา เทนอิสสระ ที่ได้ทั้งคำปรึกษา กำลังใจและความช่วยเหลือสนับสนุนในทุกๆด้านแก่ผู้วิจัยมาโดยตลอด หนึ่งประโยชน์และคุณค่าอันใด ที่ได้รับจากวิทยานิพนธ์นี้ขอมอบเป็นกตัญญูตามบูชาแต่บิดามารดา ครูอาจารย์ ตลอดจนผู้มีพระคุณทุก ท่าน

สารบัญ

หน้า

บทคัดย่อวิทยานิพนธ์	ง
บทคัดย่อภาษาอังกฤษ	จ
กิตติกรรมประกาศ	ฉ
สารบัญ	ช
สารบัญรูป	ฅ
สารบัญตาราง	ฉ
สัญลักษณ์	ท
1 บทนำ (Introduction)	1
1.1 วัตถุประสงค์ (Objective)	4
1.2 วิธีการดำเนินงานและขอบเขต (Methodology and scope)	4
1.3 ประโยชน์ที่ได้รับ (Benefit)	4
2 กลศาสตร์ของไหล (Fluid Mechanics)	5
2.1 กฎการอนุรักษ์ (Conservation law)	7
2.1.1 หลักการอนุรักษ์มวล (conservation of mass)	8
2.1.2 หลักการอนุรักษ์โมเมนตัม (conservation of momentum)	9
2.2 สมการองค์ประกอบ (Constitutive equation)	12
2.2.1 ตัวแบบแมกซ์เวลล์ (Maxwell model)	12
2.2.2 ตัวแบบฮอลล์ดรอยด์-บี (Oldroyd-B model)	13
2.2.3 ตัวแบบเพนเทียนเทนเนอร์ (Phan-Thien/Tanner model)	14
2.3 ระบบไร้หน่วย (Non-dimensional system)	17
2.4 ความรู้ทางรีโอโลยี (Knowledge of rheology)	19

2.4.1	การไหลแบบเฉือนอย่างง่าย (simple shear flow)	19
2.4.2	การไหลแบบยืด (elongational flow)	20
2.4.3	อัตราเฉือนและอัตราการยืดขยาย (shear rate and elongation rate)	22
3	ระเบียบวิธีเชิงตัวเลข (Numerical Method)	23
3.1	ระเบียบวิธีผลต่างอันตะ (Finite difference method)	23
3.2	ระเบียบวิธีชิ้นประกอบอันตะ (Finite element method)	25
3.2.1	ระเบียบวิธีชิ้นประกอบอันตะสำหรับ 1 มิติ (finite element method for one dimension)	26
3.2.2	ระเบียบวิธีชิ้นประกอบอันตะสำหรับ 2 มิติ (finite element method for two dimensions)	30
3.2.3	การสร้างชิ้นประกอบย่อย (mesh generation)	30
3.2.4	ระเบียบวิธีถ่วงน้ำหนักเศษตกค้าง (weighted residual method)	32
3.2.5	ฟังก์ชันรูปร่าง (shape function)	34
3.2.6	ระเบียบวิธีเทย์เลอร์-กาเลอร์คิน (Taylor-Galerkin method) . .	38
3.3	ระเบียบวิธีเชิงตัวเลขสำหรับการเคลือบเส้นลวด (Numerical method for wire coating flow)	39
3.3.1	ระเบียบวิธีเชิงตัวเลขกับสมการควบคุม	39
3.3.2	ระเบียบวิธีเชิงตัวเลขกับตัวแบบองค์ประกอบ	41
3.3.3	ระเบียบวิธีกาเลอร์คิน (Galerkin method)	41
3.4	การหาปริพันธ์เชิงตัวเลข (Numerical integration)	52
3.4.1	หลักการประมาณค่าพื้นที่เกาส์เซียน สำหรับ 1 มิติ (Gaussian quadrature approach for one dimension)	52
3.4.2	หลักการประมาณค่าพื้นที่เกาส์เซียน สำหรับ 2 มิติ (Gaussian quadrature approach for two dimension)	52
3.4.3	การประมาณค่าโดยวิธีการอื่น	54
3.5	นอร์มความผิดพลาด (Error norm)	55
3.6	ระเบียบวิธีเชิงตัวเลขสำหรับระบบสมการเชิงเส้น (Numerical method for linear equation system)	55
3.6.1	ระเบียบวิธีโชเลสกี้ (Choleski's method)	56
3.6.2	ระเบียบวิธีการทำซ้ำจาโคบี (Jacobi iterative method)	58

3.6.3	ระเบียบวิธีการทำซ้ำเกาส์ไซเดล (Gauss-Seidel iterative method)	59
3.6.4	ระเบียบวิธีการทำซ้ำเอสโออาร์ (successive over-relaxation iterative method, SOR)	59
3.7	ระเบียบวิธีเชิงตัวเลขสำหรับระบบสมการไม่เชิงเส้น (Numerical method for non-linear equation system)	60
3.7.1	ระเบียบวิธีการทำซ้ำนิวตัน-ราฟสัน (Newton - Rhapsion iterative method)	60
3.7.2	ระเบียบวิธีปรับปรุงการทำซ้ำนิวตัน-ราฟสัน (modify Newton - Rhapsion iterative method)	61
3.8	หลักการเพนนัลตี (Penalty approach)	62
3.9	หลักการสายกระแสอัปวิน/เพทรอฟ-กาเลอร์คิน (Streamline-upwind/Petrov-Galerkin scheme, SUPG)	62
3.10	เกรเดียนต์รีคัฟเวอรี (Gradient recovery)	63
3.11	ตำแหน่งผิวอิสระ (Free surface location)	63
3.11.1	ระเบียบวิธีการทำนายสายกระแส (streamline prediction method)	64
3.11.2	ระเบียบวิธีการทำนายขึ้นกับเวลา (time dependent prediction method)	64
3.12	การแสดงเวกเตอร์ภาพฉายของผิวผลเฉลย (Surface solution reprojction)	66
3.13	การประมาณภายในช่วง (Interpolation)	66
3.14	แรงตึงผิว (Surface tension)	68
4	การประยุกต์ระเบียบวิธีขึ้นประกอบอันตะกับการไหลเคลือบลด (Application of FEM for Wire Coating Flow)	70
4.1	ปัญหาและขอบเขต (Problem specification)	70
4.2	ขั้นตอนวิธี (Algorithm)	73
4.2.1	ขั้นตอนวิธีสำหรับการสร้างขึ้นประกอบย่อย (algorithm for mesh generation)	73
4.2.2	ขั้นตอนวิธีสำหรับระเบียบวิธีขึ้นประกอบอันตะ (algorithm for FEM)	74
4.3	ผลที่ได้รับและวิเคราะห์ผล (Results and discussion)	75

5	สรุปผล (Conclusion)	90
5.1	สรุปผลการวิจัย (Conclusion)	90
5.2	ข้อจำกัดและเงื่อนไขของงานวิจัย (Limitation and condition)	91
5.3	ข้อเสนอแนะและแนวทางการศึกษาต่อไป (Suggestion)	92
รายการอ้างอิง		93
ประวัติผู้เขียนวิทยานิพนธ์		107



สถาบันวิทยบริการ
จุฬาลงกรณ์มหาวิทยาลัย

สารบัญญรูป

1.1	กระบวนการเคลือบลวดสายไฟ (a) pressure tooling และ (b) tube tooling	1
2.1	ความสัมพันธ์ระหว่างความดันเฉือนกับอัตราเฉือน สำหรับของไหลที่มีความหนืดขึ้นกับเวลา แบ่งเป็น (a) ทิกโอโทรปิก (b) รีโอเปคติก	7
2.2	ความสัมพันธ์ระหว่างความดันเฉือนกับอัตราเฉือน สำหรับของไหลที่มีความหนืดไม่ขึ้นกับเวลา แบ่งเป็น (a) บริงแฮม (b) ไคเลเทน (c) นิวโตเนียน (d) ซูโดพลาสติก	8
2.3	การไหลของของไหลผ่านโดเมนสำหรับหลักการอนุรักษ์มวล [19]	8
2.4	การไหลของของไหลผ่านโดเมนสำหรับหลักการอนุรักษ์โมเมนตัม [20]	10
3.1	การแบ่งโดเมนย่อยสำหรับระเบียบวิธีผลต่างอันดับ	24
3.2	การแบ่งโดเมนย่อยสำหรับระเบียบวิธีขึ้นประกอบอันดับใน 1 มิติ (a) ลักษณะโดเมนใน 1 มิติ (b) ขึ้นประกอบย่อยใน 1 มิติ	26
3.3	การกำหนดพิกัดให้โนดเฉพาะที่ใน 1 มิติ (a) ลักษณะโนดวงกว้างสำหรับขึ้นประกอบย่อยใน 1 มิติ (b) โนดเฉพาะของแต่ขึ้นประกอบย่อย	27
3.4	ความสัมพันธ์ของฟังก์ชันรูปร่างเชิงเส้นใน 1 มิติ (a) กราฟความสัมพันธ์ของฟังก์ชันรูปร่าง N_1 (b) กราฟความสัมพันธ์ของฟังก์ชันรูปร่าง N_2 (c) กราฟความสัมพันธ์ของฟังก์ชันรูปร่าง u	28
3.5	เส้นขึ้นประกอบสำหรับฟังก์ชันรูปร่างแบบกำลังสอง	29
3.6	ความสัมพันธ์ของฟังก์ชันรูปร่างแบบกำลังสองใน 1 มิติ (a) โนดเฉพาะในขึ้นประกอบย่อย (b) พิกัดมาตรฐานของขึ้นประกอบย่อย	29
3.7	การแบ่งโดเมนย่อยสำหรับระเบียบวิธีขึ้นประกอบอันดับใน 2 มิติ (a) ขึ้นประกอบย่อยรูปสามเหลี่ยม (b) ขึ้นประกอบย่อยรูปสามเหลี่ยมชนิด 3 โนด (c) ขึ้นประกอบย่อยรูปสามเหลี่ยมชนิด 6 โนด	31
3.8	การกำหนดจุดเพื่อสร้างขึ้นประกอบย่อย	32
3.9	ขึ้นประกอบย่อยรูปสามเหลี่ยมใน 2 มิติ	34
3.10	พิกัดลาดเอียงสำหรับขึ้นประกอบย่อยรูปสามเหลี่ยมชนิด 3 โนด	35
3.11	พิกัดลาดเอียงสำหรับขึ้นประกอบย่อยรูปสามเหลี่ยมชนิด 6 โนด	36
3.12	รูปทรงเรขาคณิตของการบวมตัว (Die swell geometry)	65

3.13	การปรับปรุงค่าความเร็วสำหรับพื้นผิวอิสระ	66
3.14	การแบ่งพื้นที่ย่อยของชั้นประกอบย่อยรูปสามเหลี่ยม	67
3.15	แผนภาพผิวอิสระของพอลิเมอร์กับผิวสัมผัส	69
4.1	โดเมนของหัวตายแบบทวิบูล์ที่พิจารณา	70
4.2	ค่าเงื่อนไขขอบในเครื่องมือแบบทวิบูล์	72
4.3	ชั้นประกอบย่อยในโดเมนของหัวตายแบบทวิบูล์	74
4.4	ตัวอย่างไฟล์ข้อมูลสำหรับการสร้างชั้นประกอบย่อย	75
4.5	ทิศทางการไหลของพอลิเมอร์ในกระบวนการเคลือบแบบทวิบูล์ สำหรับ $We = 200$	80
4.6	เส้นโครงร่างสำหรับ $PTT(\dot{\epsilon} = 0.02, \xi = 0.0, \mu_N = 0.99)$ และ $We = 200$ (a) V_z (b) U_r (c) P (d) τ_{rz} (e) τ_{zz} (f) $\dot{\gamma}$ (g) $\dot{\epsilon}$	81
4.7	ผิวอิสระจากการคำนวณการไหลเคลือบเส้นลวดแบบทวิบูล์	84
4.8	ผิวอิสระสำหรับ We ที่ 50, 100, 150, 200 (a) ผิวอิสระบน (b) ผิวอิสระล่าง	85
4.9	τ_{rz} ที่ขอบสำหรับ We ที่ 50, 100, 150, 200 (a) τ_{rz} ที่ขอบบน (b) τ_{rz} ที่ขอบล่าง	86
4.10	τ_{zz} ที่ขอบบนและล่างสำหรับ We ที่ 50, 100, 150, 200 (a) τ_{zz} ที่ขอบบน (b) τ_{zz} ที่ขอบล่าง	87
4.11	$\dot{\gamma}$ ที่ขอบสำหรับ We ที่ 50, 100, 150, 200 (a) $\dot{\gamma}$ ที่ขอบบน (b) $\dot{\gamma}$ ที่ขอบล่าง	88
4.12	$\dot{\epsilon}$ ที่ขอบบนและล่างสำหรับ We ที่ 50, 100, 150, 200 (a) $\dot{\epsilon}$ ที่ขอบบน (b) $\dot{\epsilon}$ ที่ขอบล่าง	89

สารบัญตาราง

3.1	แสดงความเชื่อมต่อขึ้นประกอบแบบเชิงเส้นใน 1 มิติ	27
3.2	จุดของเกาส์และน้ำหนัก สำหรับการประมาณพื้นที่ของเกาส์ ใน 1 มิติ	53
3.3	จุดของเกาส์และน้ำหนัก สำหรับขึ้นประกอบรูปสามเหลี่ยม	54
4.1	ขึ้นประกอบย่อยรูปสามเหลี่ยมของดาวยแบบทวิบ์ทูลิ่ง	73
4.2	เปรียบเทียบค่าสูงสุดที่ได้จากการคำนวณ	76



สถาบันวิทยบริการ
จุฬาลงกรณ์มหาวิทยาลัย

สัญลักษณ์

τ	คือความเค้นเฉือน
$\dot{\gamma}$	คืออัตราเฉือน
$\dot{\epsilon}$	คืออัตรายืดขยาย
μ	คือความหนืด
μ_N	คือความหนืดของของไหลนิวโตเนียน
μ_V	คือความหนืดของของไหลนอน-นิวโตเนียน
ρ	คือความหนาแน่นที่จุดศูนย์กลางมวล
u	คือความเร็วในแนวแกน X
v	คือความเร็วในแนวแกน Y
u_r	คือความเร็วในแนวแกน R
v_z	คือความเร็วในแนวแกน Z
$\frac{\partial}{\partial x}$	คือตัวดำเนินการเชิงอนุพันธ์ย่อยเทียบกับ x
$\frac{\partial}{\partial y}$	คือตัวดำเนินการเชิงอนุพันธ์ย่อยเทียบกับ y
$\frac{\partial}{\partial t}$	คือตัวดำเนินการเชิงอนุพันธ์ย่อยเทียบกับเวลา
x	คือระยะทางในแนวแกน X
y	คือระยะทางในแนวแกน Y
dx	คือค่าเชิงอนุพันธ์ของ x
dy	คือค่าเชิงอนุพันธ์ของ y
\vec{U}	คือ เวกเตอร์ของความเร็ว
∇	คือ ตัวดำเนินการเกรเดียนต์
F_x	คือแรงในทิศทางแกน X
m	คือมวล
a_x	คือความเร่งของมวลในทิศทางแกน X
P, p	คือความดัน
σ_x	คือความเค้นฉาก
τ_{xx}	คือความเค้นฉากในแนว XX
τ_{yx}	คือความเค้นเฉือนในแนว XY

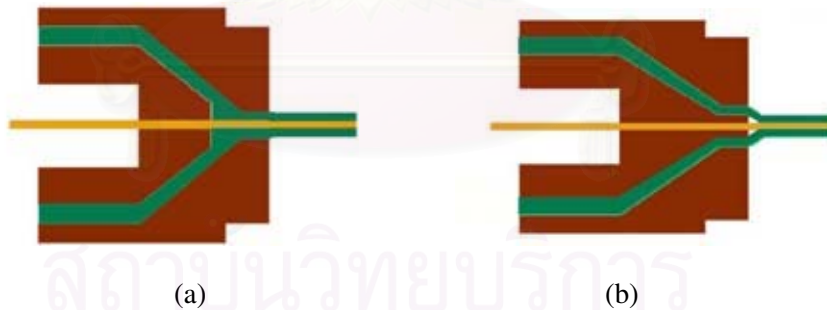
τ_{rr}	คือความเค้นเฉือนในแนว RR
τ_{rz}	คือความเค้นเฉือนในแนว RZ
τ_{zz}	คือความเค้นเฉือนในแนว ZZ
$\tau_{\theta\theta}$	คือความเค้นเฉือนในแนว $\theta\theta$
f_x	คือแรงวัตถุ (body force)
A^\dagger	คือเมทริกซ์สลับเปลี่ยนของเมทริกซ์ A
\tilde{T}	คือเทนเซอร์ความเค้นเอ็กซ์ตริ่า
δ	คือเทนเซอร์หน่วย หรือโครเนคเคอร์เดลตา
λ	คือเวลาผ่อนคลาย
λ_2	คือเวลาหน่วง
$\dot{\tau}$	คืออัตราการเปลี่ยนแปลงความเค้นเทียบกับเวลา
$\dot{\gamma}$	คืออัตราการเปลี่ยนแปลงความเครียดเทียบกับเวลา
\tilde{D}	คือเทนเซอร์ของอัตราการผิดรูป
Re	คือตัวเลขเรย์โนลด์ส์
We	คือตัวเลขไวส์เซนเบอร์ก
μ_e	คือ ความหนืดแบบยืดขยาย
μ_{eb}	คือ ความหนืดแบบยืดขยายแกนสองทาง
μ_{ep}	คือ ความหนืดแบบยืดขยายเชิงระนาบ
Ω	คือเซตของโดเมน
Γ	คือเซตของค่าขอบ
N_i	คือฟังก์ชันรูปร่างใน 1 มิติ
ψ_i	คือฟังก์ชันรูปร่างเชิงเส้นของชั้นประยอยรูปสามเหลี่ยม
ϕ_i	คือฟังก์ชันรูปร่างกำลังสองของชั้นประยอยรูปสามเหลี่ยม
ϕ_i^{petrov}	คือฟังก์ชันถ่วงน้ำหนักเพโทรฟ
\tilde{J}	คือจาโคเบียนเมทริกซ์
χ	คืออัตราการบวมตัว
t_r, t_z	เป็นแรงตั้งฉากที่ผิว
ρ_1, ρ_2	เป็นรัศมีความโค้งของผิวอิสระ
g	เป็นค่าคงที่เนื่องจากความโน้มถ่วงของโลก
γ_{LV}	เป็นสัมประสิทธิ์แรงตึงผิวของพอลิเมอร์

บทที่ 1

บทนำ (Introduction)

ในชีวิตประจำวันของมนุษย์และกระบวนการผลิตสิ่งต่างๆในโรงงานอุตสาหกรรมหรือโรงงานไฟฟ้าและโรงงานอื่นๆอีกมากมายล้วนอาศัยไฟฟ้ามาใช้ในการให้พลังงานเพื่อเกิดแสงสว่าง โดยมีสายไฟเป็นตัวกลางสำคัญในการทำให้เกิดไฟฟ้าไปยังที่ต่างๆตามต้องการ จึงเป็นการอำนวยความสะดวกให้กับมนุษย์เป็นอย่างมาก แต่ถ้าสายไฟเกิดชำรุดหรือฉีกขาดอาจทำให้เกิดอันตรายได้ง่าย อันจะเป็นผลเสียอย่างมหันต์ ดังนั้นการเคลือบลวดสายไฟที่ดีจึงเป็นสิ่งที่ผู้ผลิตและผู้บริโภคมีความต้องการ

การผลิตลวดสายไฟในกระบวนการอัดรีด (extrusion) เป็นกระบวนการทำให้พอลิเมอร์หลอมเหลวจากความร้อนเคลื่อนที่ผ่านหัวตาย (die) แล้วบวมตัวออกมาเคลือบลวดสายไฟ ซึ่งหัวตายที่ใช้มีอยู่ 2 ลักษณะใหญ่ คือการเคลือบแบบเพรชเซอร์ทูลลิง (pressure tooling) และแบบทิว์ทูลลิง (tube tooling) ดังรูปที่ 1.1 (a) และ 1.1 (b) ตามลำดับ



รูปที่ 1.1: กระบวนการเคลือบลวดสายไฟ (a) pressure tooling และ (b) tube tooling

ความแตกต่างระหว่างการเคลือบลวดสายไฟของทั้งสองลักษณะดังรูปที่ 1.1 คือการเคลือบลวดสายไฟแบบเพรชเซอร์ทูลลิง (pressure tooling) ของไหลจะเคลือบลวดสายไฟตั้งแต่ภายในตาย ซึ่งมักใช้เคลือบลวดสายไฟเปลือยหรือลวดสายไฟที่มีขนาดไม่ใหญ่มากนัก ส่วนการเคลือบลวดสายไฟแบบทิว์ทูลลิง (tube tooling) ของไหลจะตกลงมาเคลือบลวดสายไฟที่กำลังเคลื่อนที่ภายนอกตาย โดยหน้าตัดของตายจะเป็นแบบวงแหวน (annular) เหมาะสำหรับการเคลือบลวดสายไฟที่มีขนาดใหญ่

หรือสำหรับเคลือบรวมสายไฟที่หุ้มแล้วหลายๆเส้นให้เป็นเส้นเดียวกัน แต่เนื่องจากข้อจำกัดในเรื่องของเวลาและค่าใช้จ่ายที่จะสูญเสียไปกับการทดลองเพื่อหาวิธีที่ดีที่สุดสำหรับการเคลือบลวดสายไฟ อีกทั้งสายที่ใช้ในเครื่องอัดรีด (extruder) มีขนาดเล็กซึ่งต้องมีการออกแบบให้เหมาะสม รวมทั้งวัสดุพอลิเมอร์ที่นำมาใช้ควรมีความคงทนและมีราคาไม่แพง นอกจากนี้การใช้วัสดุชนิดเดียวกันเป็นเวลานานๆสามารถทำให้วัสดุชนิดนั้นหมดลงได้ จึงต้องหาพอลิเมอร์ชนิดอื่นที่ราคาถูกและหาได้ง่ายมาทดแทน ดังนั้นการทดลองทำจากของจริงจึงเป็นการสูญเสียงบประมาณจำนวนมาก เพื่อให้เกิดความประหยัดและลดเวลาในการทดลองจริง จึงหันมาใช้ในการทำแบบจำลองด้วยตัวแบบคณิตศาสตร์แล้วแก้ปัญหาด้วยระเบียบวิธีเชิงตัวเลข (numerical method) จึงเป็นทางเลือกที่ดีสำหรับช่วยในการออกแบบกระบวนการผลิตลวดสายไฟ ทั้งในส่วนของความเร็วที่ใช้ในการขับเคลื่อนพอลิเมอร์หลอมเหลว ขนาดและรูปร่างของสาย และรูปแบบการไหลของพอลิเมอร์ เพื่อให้ได้ลวดสายไฟที่มีคุณภาพดีเกิดความเค้นตกค้าง (residual stress) น้อย และลวดสายไฟมีความราบเรียบสม่ำเสมอ จึงมีผู้สนใจศึกษากันอย่างมากมายตั้งตั้งแต่ปี 1967 โดย Fenner และ Williams [1] ได้จำลองแบบการไหลเคลือบลวดสายไฟด้วยตัวแบบทางคณิตศาสตร์ ต่อมาในปี 1978 Caswell และ Tanner [2] ได้ทำการศึกษาลักษณะของสายที่ใช้เคลือบลวดสายไฟ โดยใช้ระเบียบวิธีขึ้นประกอบอันตะ (finite element method, FEM) เพื่อทำนายสายกระแส (streamline) และลักษณะการเปลี่ยนแปลงของความเค้นภายในสายและต่อมา Mitsoulis [3] ได้ทำการศึกษาการไหลของพอลิเมอร์และการถ่ายเทความร้อนในกระบวนการเคลือบลวดสายไฟ ในปี 1986 และอีก 2 ปีต่อมา Mitsoulis et al. [4] ได้ศึกษาการเคลือบลวดสายไฟความเร็วสูงด้วยพอลิเมอร์ชนิดที่เรียกว่า โพลีเอทิลีนที่มีความหนาแน่นต่ำ (low-density polyethylene, LDPE) ด้วยระเบียบวิธีขึ้นประกอบอันตะและทำการปรับผลเฉลยให้ราบเรียบด้วยเทคนิคสายกระแสอัปวินด์/เพ็ทโทรฟ-กาลเอร์คิน (streamline-upwind/Petrov-Galerkin technique, SUPG) โดยอาศัยตัวแบบ power law fluids ภายใต้สมมุติฐานทั้งที่อุณหภูมิคงที่และไม่คงที่ ซึ่งทำการเปรียบเทียบผลกับการทดลอง

ในศตวรรษที่ 20 มีผู้สนใจศึกษาด้วยระเบียบวิธีเชิงตัวเลขเพิ่มมากขึ้น เช่น ในปี 1996 Binding et al. [5] ได้ศึกษาตัวแบบจำลองของพอลิเมอร์หลอมเหลวในกระบวนการไหลเคลือบลวดสายไฟความเร็วสูงซึ่งได้พิจารณาความหนืดเฉือน (shear viscosity) และความหนืดขยาย (extensional viscosity) แบบคงตัว ต่อมา Gunter et al. [6] ได้พิจารณาการเคลือบลวดสายไฟ แบบเพรสเชอร์ทูลลิง (pressure tooling) จากนั้นในปี 1998 Mutlu et al. [7] ได้ศึกษาในส่วนของกระบวนการเคลือบลวดสายไฟ แบบทิวบ์ทูลลิง (tube tooling) ซึ่งเป็นการไหลเคลือบลวดสายไฟของไหลประเภทวิสโคอีลาสติก (viscoelastic flow) เมื่ออุณหภูมิไม่คงที่ (non-isothermal case) ด้วยวิธี coupled และ decouple นอกจากนี้มีผู้ศึกษาแบบจำลองโดยใช้สมการความเค้นเชิงอนุพันธ์ (differential stress model) แบบ multi-mode

หรือพิจารณาค่าเวลาผ่อนคลาย (relaxation time) λ_1 หลายๆค่าเช่น Baaijeans et al. [8], Azaiez et al. [9] และ Gupta et al. [10] ได้แสดงให้เห็นว่าวิธีการแบบ multi-mode สำหรับตัวแบบองค์ประกอบ (constitutive model) ให้ผลที่แม่นยำ สามารถแสดงพฤติกรรมและคุณสมบัติของวัสดุได้ดีกว่าแบบ single-mode หรือแบบที่พิจารณา λ_1 เพียงค่าเดียว

ปี 1998 เป็นต้นมา Matallah et al. [11] ได้ศึกษาโดยใช้ตัวแบบองค์ประกอบเพนเทียนเทนเนอร์ (Phan-Thien/Tanner constitutive models, PTT) ในส่วนของตัวแบบองค์ประกอบ โดยพิจารณาทั้งแบบ single-mode และ multi-mode สำหรับแบบ multi-mode ได้ศึกษาเปรียบเทียบกับพอลิเมอร์หลอมเหลว 2 ชนิดคือ LDPE และ โพลีเอททิลีนที่มีความหนาแน่นสูง (high-density polyethylene, HDPE) เพื่อทำนายพฤติกรรมการไหลเคลือบหลอดสายไฟในเครื่องมือแบบทิว์ทูลลิง (tube tooling) ภายใต้สมมุติฐานที่ว่าของไหลไม่มีการบีบอัดตัว (incompressible flow) อุณหภูมิไม่เปลี่ยนแปลง (isothermal flow) และไม่มีผลกระทบของการลื่นไหล (no slip) บริเวณผนังภายในตาย อีก 2 ปีถัดมา Ngamaramvaranggul และ Webster [12, 13, 14, 15] ได้ทำการศึกษาต่อโดยเพิ่มเงื่อนไขของการลื่นไหล (slip condition) บริเวณผนังภายในตาย เพื่อคำนวณหาพื้นผิวอิสระระนาบด้านบน ซึ่งพิจารณาการไหลเคลือบหลอดสายไฟทั้งการไหลเคลือบแบบเพรชเซอร์ทูลลิงและแบบทิว์ทูลลิง

ในงานวิจัยนี้จะศึกษากระบวนการเคลือบหลอดสายไฟแบบทิว์ทูลลิง สำหรับของไหลนอนนิวโตเนียน (non-Newtonian fluid) ซึ่งใช้สมการองค์ประกอบ (constitutive equation) ในตัวแบบ PTT โดยจะคำนวณหาพื้นผิวอิสระทั้งระนาบด้านบนและด้านล่าง เพื่อนำมาวิเคราะห์หาจุดคอนแทรกชัน (contraction point) ซึ่งเป็นจุดแรกที่พอลิเมอร์หลอมเหลวไหลออกจากตายมาปะทะหลอดสายไฟที่ต้องการเคลือบ เมื่อของไหลไหลไปในทิศทางเดียวกับหลอดสายไฟ และทำการจำลองปัญหาด้วยตัวแบบทางคณิตศาสตร์ (mathematical modeling) ที่เรียกว่า สมการเนเวียร์-สโตกส์ (Navier-Stokes equation) ในระบบพิกัดทรงกระบอก 2 มิติ ซึ่งพิจารณาในระบบไร้หน่วย (dimensionless system) แล้วแก้ปัญหาด้วยระเบียบวิธีเชิงตัวเลขที่เรียกว่า ระเบียบวิธีขึ้นประกอบอันตะ (finite element method, FEM) ในหลักการเซมิอิมพลิซิทเออร์กาเลอร์คินเพรชเซอร์คอร์เรคชัน (semi-implicit Taylor Galerkin pressure correction) โดยแบ่งบริเวณที่ต้องการศึกษาออกเป็นชั้นประกอบ (element) ย่อยๆรูปสามเหลี่ยมชนิด 6 โหนดและชนิด 3 โหนด เพื่อหาผลเฉลยของสมการเชิงอนุพันธ์ย่อยไม่เชิงเส้น (non-linear partial differential equation) สำหรับของไหลที่พิจารณาเป็นชนิดวิสโคอีลาสติคประเภท LDPE และ HDPE ภายใต้สมมุติฐานที่ว่าของไหลไม่บีบอัดตัว (incompressible flow) มีการไหลแบบราบเรียบ (laminar flow) ไม่ขึ้นกับแรงโน้มถ่วงของโลก ระบบไม่ขึ้นกับอุณหภูมิ (isothermal system) โดยการใช้โปรแกรมด้วยภาษาฟอร์แทนสำหรับหาผลเฉลยของปัญหา

1.1 วัตถุประสงค์ (Objective)

จำลองปัญหาเพื่อทำนายจุดคอนแทรกชันของการไหลเคลือบเส้นลวดแบบทวิวัสดุ

1.2 วิธีการดำเนินงานและขอบเขต (Methodology and scope)

1. ศึกษาความรู้พื้นฐานพลศาสตร์ของไหล, Polymer Rheology, Polymer Processing, จุดมุ่งหมาย และขอบข่ายของโครงการวิจัย
2. ศึกษาระเบียบวิธีขึ้นประกอบอันตะ
3. พัฒนาระเบียบวิธีขึ้นประกอบอันตะสำหรับการไหลเคลือบเส้นลวด
4. พัฒนาโปรแกรม ทดสอบ และตรวจแก้โปรแกรม
5. วิเคราะห์ผล
6. สรุปผลและเขียนวิทยานิพนธ์

1.3 ประโยชน์ที่ได้รับ (Benefit)

1. ได้โปรแกรมเพื่อทำนายจุดคอนแทรกชัน สำหรับการจำลองปัญหาการไหลเคลือบเส้นลวดแบบทวิวัสดุของพอลิเมอร์หลอมเหลว
2. เป็นแนวทางในการสร้างแบบจำลองเพื่อใช้ในอุตสาหกรรมที่เกี่ยวข้อง
3. เป็นแนวทางเพื่อพัฒนาระเบียบวิธีขึ้นประกอบอันตะในงานอุตสาหกรรมการเคลือบลวดสายไฟ

บทที่ 2

กลศาสตร์ของไหล (Fluid Mechanics)

กลศาสตร์ของไหล (fluid mechanics) แบ่งออกเป็น 3 สาขาที่สำคัญคือ สถิตยศาสตร์ของไหล (fluid statics) หรือศาสตร์ของไหลในสภาวะหยุดนิ่ง ไคเนเมติกส์ของไหล (fluid kinematics) หรือศาสตร์ว่าด้วยการเคลื่อนไหลเมื่อพิจารณาความเร็ว (velocity) และสายกระแส (streamline) โดยไม่มีแรงหรือพลังงานมาเกี่ยวข้อง และพลศาสตร์ของไหล (fluid dynamics) คือศาสตร์ว่าด้วยการเคลื่อนไหลของของไหลโดยรวมความเร็ว, ความเร่ง (acceleration) และแรงกระทำต่างๆ อันเกิดจากการเคลื่อนที่ของของไหล ทั้งนี้พฤติกรรมเคลื่อนที่ของของไหลและผลกระทบที่เกิดขึ้น จะขึ้นกับชนิดของของไหลที่นำมาพิจารณาว่าเป็นลักษณะอัดตัวได้ (compressible fluid) เช่น ก๊าซต่างๆ และอากาศ เป็นต้น หรือลักษณะที่ไม่อัดตัว (incompressible fluid) เมื่อพิจารณาความสัมพันธ์ระหว่าง ความเค้นเฉือน τ (shearing stress) กับอัตราเฉือน $\dot{\gamma}$ (shear rate) ตามสมการความหนืดของนิวตัน (Newton's equation of viscosity)

$$\tau = \mu \dot{\gamma} \quad (2.1)$$

จัดรูปสมการ 2.1 ใหม่เป็น

$$\mu = \frac{\tau}{\dot{\gamma}} \quad (2.2)$$

เรียก μ ว่าเป็นสัมประสิทธิ์ของความหนืด (coefficient of viscosity) ทำให้จำแนกของไหลออกเป็น 2 ประเภทคือ

1. ของไหลนิวโตเนียน¹ (Newtonian fluid) คือ ของไหลที่มีความหนืดเป็นไปตามกฎของนิวตัน ซึ่งจะมีความหนืดเฉือน (shear viscosity) คงที่เมื่อมีการเปลี่ยนอัตราเฉือน (shear rate)
2. ของไหลนอนนิวโตเนียน (non-Newtonian fluid) คือ ของไหลที่มีความหนืดไม่เป็นไปตามกฎของนิวตัน

¹ ตัวอย่างเช่น น้ำ สารละลายเจือจาง และน้ำมัน เป็นต้น

จากหนังสือของณรงค์ฤทธิ์ สมบัติสมภพ และ ชาคริต สิริสิงห [16], Morton-Jones [17] และ Tanner [18] สำหรับของไหลนอนนิวโตเนียนเมื่อพิจารณาความหนืดเทียบกับเวลา จะแบ่งได้เป็น 2 ประเภทคือ

1. ประเภทของไหลที่มีความหนืดเพิ่มขึ้นกับเวลา (time dependent fluid) เป็นกลุ่มของของไหลที่ ความหนืดเพิ่มขึ้นอยู่กับเวลาเมื่อมีแรงกระทำต่อของไหลนั้น แบ่งออกเป็น 2 ชนิด คือ

- 1.1 ทิกโอโทรปิก (Thixotropic) เป็นกลุ่มของของไหลที่มีความหนืดลดลงจนเข้าสู่ค่าคงที่ค่าหนึ่งเมื่อเวลาผ่านไป จะทำให้แรงกระทำต่อของไหลนั้นเพิ่มขึ้น

- 1.2 รีโอเปคติก (Rheopetic) เป็นกลุ่มของของไหลที่มีความหนืดเพิ่มขึ้นจนเข้าสู่ค่าคงที่ค่าหนึ่งเมื่อเวลาผ่านไปแรงกระทำต่อของไหลนั้นเพิ่มขึ้น พิจารณาความสัมพันธ์ได้ดังรูปที่ 2.1 (a) และ 2.1 (b) ตามลำดับ

2. ประเภทของไหลที่มีความหนืดไม่ขึ้นกับเวลา (time independent fluids) เป็นกลุ่มของของไหลที่มีความหนืดเพิ่มขึ้นอยู่กับอัตราเฉือน ดังรูปที่ 2.2 แบ่งออกเป็น 3 ชนิด

- 2.1 ซูโดพลาสติก²(pseudo-plastic) หรือ (shear-thinning fluid) เป็นกลุ่มของของไหลที่มีความหนืดเฉือนมีค่าลดลงเมื่ออัตราเฉือนมีค่าเพิ่มขึ้น

- 2.2 ไดเลแทน³(dilatant) หรือ (shear-thickening fluid) เป็นกลุ่มของของไหลที่มีความหนืดเฉือนสูงขึ้นเมื่อมีการเพิ่มค่าของอัตราเฉือน

- 2.3 บิงแฮม⁴ (Bingham fluid) เป็นกลุ่มของของไหลที่มีความค่าความเค้นเฉือนเกินค่าๆ หนึ่งแต่ยังคงมีอัตราการเปลี่ยนแปลงคงที่

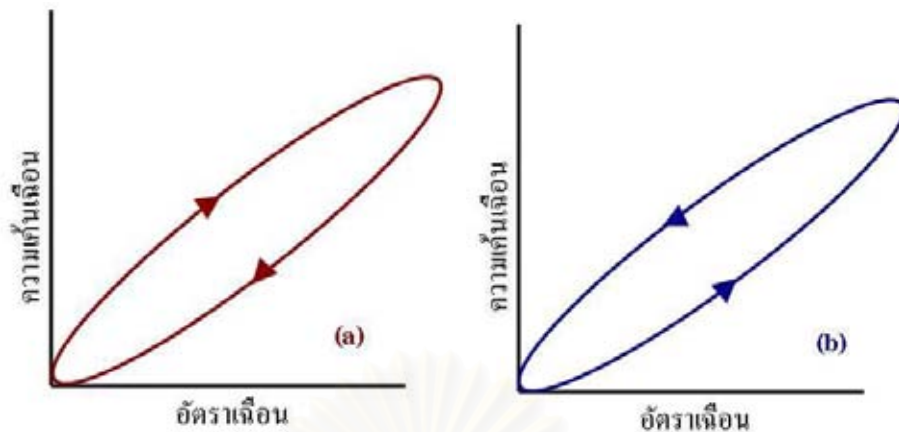
ในการศึกษาเกี่ยวกับพฤติกรรมและการเปลี่ยนแปลงรูปร่างของของไหล โดยใช้ระเบียบวิธีเชิงตัวเลข ควรทำความเข้าใจในเรื่องต่อไปนี้

1. สมการควบคุม (governing equation)
2. เงื่อนไขเริ่มต้นและเงื่อนไขขอบเขต (initial condition and boundary condition)
3. เรขาคณิตของโดเมน (geometry of domain)

²ตัวอย่างเช่น พอลิเมอร์หลอมเหลวส่วนใหญ่ เป็นต้น

³ตัวอย่างเช่น เจลพีวีซี และน้ำแป้ง เป็นต้น

⁴ตัวอย่างเช่น ไขมันสัตว์ น้ำมันพืช เลือด สารละลายพอลิเมอร์ และยาสีฟัน เป็นต้น



รูปที่ 2.1: ความสัมพันธ์ระหว่างความดันเฉลี่ยกับอัตราเฉลี่ย สำหรับของไหลที่มีความหนืดขึ้นกับเวลา แบ่งเป็น (a) ทิกโอโทรปิก (b) รีโอเปดทิก

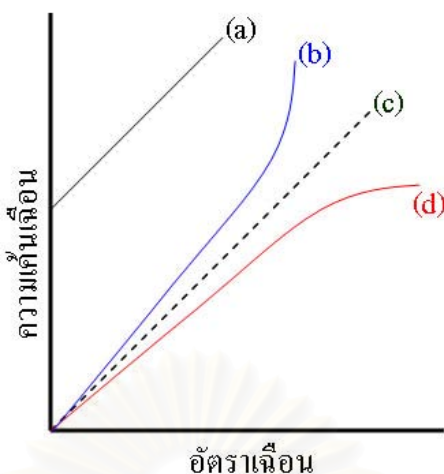
การกำหนดสมการควบคุมให้พิจารณาตามหลักการที่สำคัญดังนี้ หลักการอนุรักษ์มวล (conservation of mass) หลักการอนุรักษ์โมเมนตัม (conservation of momentum) และหลักการอนุรักษ์พลังงาน (conservation of energy) ดังรายละเอียดในหัวข้อถัดไป การจำลองปัญหาในรูปแบบสมการทางคณิตศาสตร์ของปัญหาการเคลื่อนที่ของสายไฟจะอยู่ในรูปสมการเชิงอนุพันธ์ย่อยไม่เชิงเส้น ในวิทยานิพนธ์นี้จะไม่พิจารณาหลักการอนุรักษ์พลังงาน เนื่องจากการตั้งสมมติฐานที่ให้ระบบไม่ขึ้นกับอุณหภูมิ ในปัญหานี้เป็นการศึกษาของไหลนอนนิวโตเนียนจึงต้องเพิ่มสมการองค์ประกอบ (constitutive equation) เพื่อหาค่าความเค้น

2.1 กฎการอนุรักษ์ (Conservation law)

สมการที่ใช้ในการอธิบายพฤติกรรมของไหลส่วนใหญ่มาจากระบบทางกายภาพ (physical system) โดยทั่วไปพิจารณาเป็น 3 หลักใหญ่ๆ ได้แก่

1. หลักการอนุรักษ์มวล (conservation of mass) หรือความต่อเนื่อง (continuity)
2. หลักการอนุรักษ์โมเมนตัม (conservation of momentum) หรือกฎข้อที่สองของนิวตัน (Newton's second law)
3. หลักการอนุรักษ์พลังงาน (conservation of energy) หรือกฎข้อที่หนึ่งของอุณหพลศาสตร์ (first law of thermodynamics)

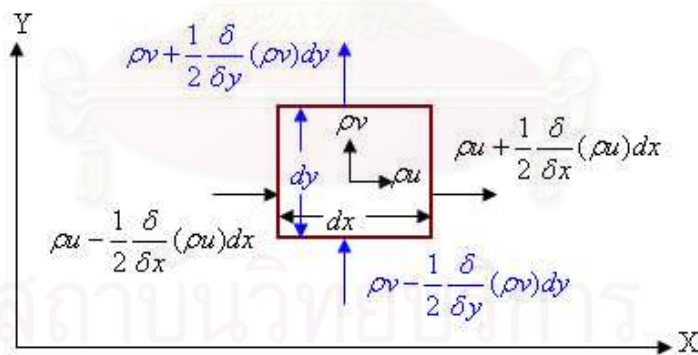
ในวิทยานิพนธ์นี้จะใช้เพียง 2 หลักการเท่านั้น จึงไม่กล่าวถึงหลักการที่ 3



รูปที่ 2.2: ความสัมพันธ์ระหว่างความเค้นเฉือนกับอัตราเฉือน สำหรับของไหลที่มีความหนืดไม่ขึ้นกับเวลา แบ่งเป็น (a) บริงแฮม (b) ไดเลเทนท์ (c) นิวตันเนียน (d) ซูโดพลาสติก

2.1.1 หลักการอนุรักษ์มวล (conservation of mass)

สำหรับการไหลของของไหลผ่านโดเมนให้คำนึงถึงหลักการอนุรักษ์มวลที่ว่า "อัตราการเปลี่ยนแปลงของมวลที่ผ่านโดเมนเท่ากับอัตราที่มวลไหลเข้ามาหรือออกจากโดเมน" ตั้งความสัมพันธ์ตามรูปที่ 2.3 โดยอาศัยหลักการอนุรักษ์มวลสามารถสร้างสมการทางคณิตศาสตร์ ได้ดังนี้



รูปที่ 2.3: การไหลของของไหลผ่านโดเมนสำหรับหลักการอนุรักษ์มวล [19]

$$\left\{ \rho u + \frac{1}{2} \frac{\partial(\rho u)}{\partial x} dx \right\} dy + \left\{ \rho v + \frac{1}{2} \frac{\partial(\rho v)}{\partial y} dy \right\} dx - \left\{ \rho u - \frac{1}{2} \frac{\partial(\rho u)}{\partial x} dx \right\} dy - \left\{ \rho v - \frac{1}{2} \frac{\partial(\rho v)}{\partial y} dy \right\} dx = -\frac{\partial \rho}{\partial t} dx dy \quad (2.3)$$

เมื่อ ρ คือความหนาแน่นที่จุดศูนย์กลางมวล
 u คือความเร็วในแนวแกน X
 v คือความเร็วในแนวแกน Y
 $\frac{\partial}{\partial x}$ คือตัวดำเนินการเชิงอนุพันธ์ย่อยเทียบกับ x
 $\frac{\partial}{\partial y}$ คือตัวดำเนินการเชิงอนุพันธ์ย่อยเทียบกับ y
 $\frac{\partial}{\partial t}$ คือตัวดำเนินการเชิงอนุพันธ์ย่อยเทียบกับเวลา
 x คือระยะทางในแนวแกน X
 y คือระยะทางในแนวแกน Y
 dx คือค่าเชิงอนุพันธ์ของ x
 dy คือค่าเชิงอนุพันธ์ของ y

จัดรูปสมการ 2.3 ใหม่ได้เป็น

$$\frac{\partial \rho}{\partial t} - \nabla \cdot (\rho \vec{U}) = 0 \quad (2.4)$$

และเรียกสมการ 2.4 ว่า สมการความต่อเนื่อง (continuity equation) โดยที่

\vec{U} คือ เวกเตอร์ของความเร็ว

∇ คือ ตัวดำเนินการเกรเดียนต์ (gradient operator)

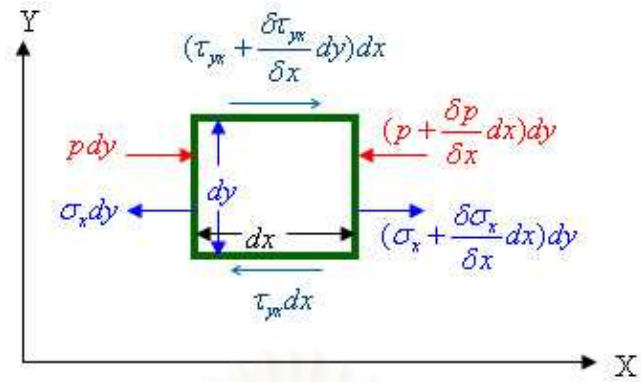
ปัญหาที่ศึกษาคือปัญหาของของไหลที่เป็นแบบไม่อัดตัว ดังนั้นความหนาแน่นจึงเป็นค่าคงตัว เมื่อพิจารณาในแต่ละตำแหน่งต่างๆของเส้นทางการไหล (flow path) ของของไหลจะมีการไหลคงตัว (steady flow) นั่นคือของไหลมีความเร็วในการไหลคงตัวตลอดระยะเวลาและความยาวของการไหล จึงทำให้นิพจน์แรกทางซ้ายของสมการ 2.4 มีค่าเป็นศูนย์ ดังนั้นสมการความต่อเนื่อง 2.4 จึงกลายเป็น

$$\nabla \cdot \vec{U} = 0 \quad (2.5)$$

2.1.2 หลักการอนุรักษ์โมเมนตัม (conservation of momentum)

กฎข้อที่สองของนิวตัน (Newton's second law) กล่าวว่า "แรงลัพธ์เท่ากับมวลคูณด้วยความเร่ง" ในกฎข้อนี้ทำให้ทราบความสัมพันธ์ของแรงกับมวลและความเร่ง เมื่อพิจารณามวลที่ขนาดความกว้างเป็น dx และ dy ซึ่งกำลังเคลื่อนที่ไปกับการไหล ดังรูปที่ 2.4

พิจารณารูปที่ 2.4 ในทิศทางแนวแกน X โดยใช้กฎข้อที่สองของนิวตัน จะได้



รูปที่ 2.4: การไหลของของไหลผ่านโดเมนสำหรับหลักการอนุรักษ์โมเมนตัม [20]

$$\sum F_x = ma_x \quad (2.6)$$

โดยที่

F_x คือแรงในทิศทางแกน X

m คือมวลของโดเมนของของไหลที่กำลังพิจารณา

a_x คือความเร่งของมวลในทิศทางแกน X

แรงรวมในทิศทางแกน X ประกอบด้วยแรงที่ผิว (surface forces) เช่น ความดัน p , ความเค้นฉาก (normal stress) σ_x , ความเค้นเฉือน (shear stress) τ_{yx} และแรงวัตถุ (body force) f_x เป็นต้น ดังนั้นแรงรวมที่อยู่ในรูปสมการทางคณิตศาสตร์คือ

$$F_x = \left[-\frac{\partial p}{\partial x} + \frac{\partial \sigma_x}{\partial x} + \frac{\partial \tau_{yx}}{\partial y} \right] dx dy + \rho f_x dx dy \quad (2.7)$$

มวลของโดเมนของของไหลที่กำลังพิจารณาคือ

$$m = \rho dx dy \quad (2.8)$$

เนื่องจากความเร่งคืออัตราการเปลี่ยนแปลงของความเร็วของอนุภาคที่กำลังเคลื่อนที่เทียบกับเวลา จึงได้ว่า

$$a_x = \frac{Du}{Dt} \quad (2.9)$$

เมื่อตัวดำเนินการ

$$\frac{D}{Dt} = \frac{\partial}{\partial t} + \vec{U} \cdot \nabla \quad (2.10)$$

ดังนั้นอนุพันธ์รวมของ \vec{U} มีค่าเป็น

$$\frac{D\vec{U}}{Dt} = \frac{\partial\vec{U}}{\partial t} + \vec{U} \cdot \nabla U \quad (2.11)$$

จากสมการ 2.6 เมื่อพิจารณาในทิศทางแกน X และจัดรูปใหม่จะได้

$$\rho \frac{Du}{Dt} = -\frac{\partial p}{\partial x} + \frac{\partial \sigma_x}{\partial x} + \frac{\partial \tau_{yx}}{\partial y} + \rho f_x \quad (2.12a)$$

ในทำนองเดียวกัน จากกฎข้อที่สองของนิวตัน เมื่อพิจารณาในทิศทางแกน Y ทำให้ได้สมการเชิงอนุพันธ์ย่อย ดังนี้

$$\rho \frac{Dv}{Dt} = -\frac{\partial p}{\partial y} + \frac{\partial \sigma_y}{\partial y} + \frac{\partial \tau_{yx}}{\partial x} + \rho f_y \quad (2.12b)$$

เรียกสมการ 2.12a และ 2.12b ว่า สมการเนเวียร์-สโตกส์ (Navier-Stokes equation) เพื่อเป็นเกียรติแก่ M. Navier และ G. Stokes ซึ่งเป็นชาวฝรั่งเศสและชาวอังกฤษ ผู้สร้างสมการนี้ขึ้นมา (ศึกษาเพิ่มเติมได้จาก [21, 22])

เนื่องจาก

$$\frac{\partial \rho \vec{U}}{\partial t} = \rho \frac{\partial \vec{U}}{\partial t} + \vec{U} \frac{\partial \rho}{\partial t}$$

ดังนั้น

$$\rho \frac{\partial \vec{U}}{\partial t} = \frac{\partial \rho \vec{U}}{\partial t} - \vec{U} \frac{\partial \rho}{\partial t} \quad (2.13)$$

และเนื่องจาก

$$\nabla \cdot (\rho U \vec{U}) = U \nabla \cdot (\rho \vec{U}) + (\rho \vec{U}) \cdot \nabla U$$

นั่นคือ

$$(\rho \vec{U}) \cdot \nabla U = \nabla \cdot (\rho U \vec{U}) - U \nabla \cdot (\rho \vec{U}) \quad (2.14)$$

จากสมการ 2.11, 2.13, 2.14 และหลักการอนุรักษ์มวล จะได้ความสัมพันธ์ว่า

$$\rho \frac{D\vec{U}}{Dt} = \rho \frac{\partial \vec{U}}{\partial t} + \rho \vec{U} \cdot \nabla U \quad (2.15)$$

และเมื่อพิจารณาสมการ 2.12a, 2.12b และ 2.15 จะได้สมการเนเวียร์-สโตกส์อยู่ในรูป

$$\rho \frac{\partial \vec{U}}{\partial t} = \nabla \cdot \tilde{T} - \rho \vec{U} \cdot \nabla U - \nabla p + \rho \vec{f} \quad (2.16)$$

เมื่อ \tilde{T} คือ เทนเซอร์ความเค้นเอ็กซ์ตริ้ว (extra stress tensor) ซึ่งหากพิจารณาของไหลนิวโตเนียน เทนเซอร์ความเค้นเอ็กซ์ตริ้วคือ

$$\tilde{T} = 2\mu_N \tilde{D} \quad (2.17)$$

$$\tilde{D} = \frac{1}{2}(\nabla \vec{U} + \nabla \vec{U}^\dagger) \quad (2.18)$$

เมื่อ \tilde{D} คือ เทนเซอร์ของอัตราการผิดรูป (rate of deformation tensor), μ_N คือ ความหนืด และ $\nabla \vec{U}^T$ คือเมทริกซ์สลับเปลี่ยน (transpose of matrix) ของ $\nabla \vec{U}$

เนื่องจากระบบที่ศึกษาไม่ขึ้นกับแรงโน้มถ่วงของโลก จึงไม่พิจารณาอิทธิพลของแรงวัตถุ สมการ 2.16 เขียนได้เป็น

$$\rho \frac{\partial \vec{U}}{\partial t} = \nabla \cdot \tilde{T} - \rho \vec{U} \cdot \nabla U - \nabla p \quad (2.19)$$

สำหรับของไหลนอนนิวโตเนียน เทนเซอร์ความเค้นเอ็กซ์ตรา \tilde{T} จะอยู่ในรูป

$$\tilde{T} = \tilde{\tau} + 2\mu_N \tilde{D} \quad (2.20)$$

เมื่อ $\tilde{\tau}$ คือ ความเค้นของพอลิเมอร์ และ μ_N คือ ความหนืดของของไหลนิวโตเนียน(ตัวทำละลาย) [23]

2.2 สมการองค์ประกอบ (Constitutive equation)

การศึกษาพฤติกรรมการไหลของของไหล มีค่าที่ต้องนำมาพิจารณาอีกค่าหนึ่งคือ เทนเซอร์ความเค้นของโคชี (Cauchy stress tensor) ซึ่งอยู่ในนิพจน์ของความดัน p , เทนเซอร์หน่วย (unit tensor) δ และ เทนเซอร์ความเค้นเอ็กซ์ตรา T ดังสมการ

$$\tilde{\sigma} = -p\delta + \tilde{T} \quad (2.21)$$

โดยที่ เทนเซอร์หน่วย (unit tensor) δ หรือที่เรียกว่า โครเนคเคอร์เดลตา (Kronecker delta) นิยามไว้ว่า

$$\delta_{ij} = \begin{cases} 1, & i = j \\ 0, & i \neq j \end{cases} \quad (2.22)$$

พิจารณาความสัมพันธ์ของสมการองค์ประกอบ จากเทนเซอร์ความเค้นเอ็กซ์ตรา โดยแยกพิจารณาตามประเภทของของไหล ซึ่งในวิทยานิพนธ์เล่มนี้จะยกตัวแบบมาศึกษาดังหัวข้อต่อไปนี้

2.2.1 ตัวแบบแมกซ์เวลล์ (Maxwell model)

แมกซ์เวลล์ทำการศึกษาของไหลชนิดวิสโคอีลาสติก (viscoelastic fluid) และสร้างตัวแบบทางคณิตศาสตร์ [24, 25] ซึ่งได้มาจากกฎของฮุกส์ (Hooke's law) [26] โดยพิจารณาค่าคงที่สปริงของฮุกส์ (Hookean spring of constant) k ซึ่งเกี่ยวกับความหนืดของนิวตัน μ_N ดังรูปที่ 2.2 เส้นปะ (c) ได้ดังนี้

$$\tilde{\tau} + \lambda \dot{\tilde{\tau}} = \mu_N \dot{\gamma} \quad (2.23)$$

เมื่อ $\tilde{\tau}$ คือเทนเซอร์ความเค้น, $\lambda = \frac{\mu_N}{k}$ คือเวลาผ่อนคลาย (relaxation time), $\dot{\tilde{\tau}}$ คืออัตราการเปลี่ยนแปลงความเค้น (stress rate) เทียบกับเวลา และ $\dot{\tilde{\gamma}}$ คืออัตราการเปลี่ยนแปลงความเครียด (strain rate) เทียบกับเวลา แมกซ์เวลล์ได้สร้างตัวแบบใน 2 ลักษณะคือ

1. ตัวแบบแมกซ์เวลล์แบบพานไม่เชิงเส้น (non-linear upper convected Maxwell model) หรือตัวแบบแมกซ์เวลล์-บี (Maxwell-B model) มีความสัมพันธ์ดังสมการ

$$\tilde{T} + \lambda \overset{\nabla}{\tilde{T}} = 2\mu_N \tilde{D} \quad (2.24a)$$

โดยที่

$$\overset{\nabla}{\tilde{T}} = \frac{D\tilde{T}}{Dt} - \tilde{T} \cdot \tilde{L} - (\tilde{T} \cdot \tilde{L})^\dagger \quad (2.24b)$$

เมื่อ $\tilde{L} = \nabla \tilde{U}$

2. ตัวแบบแมกซ์เวลล์แบบพาล่างไม่เชิงเส้น (non-linear lower convected Maxwell model) หรือตัวแบบแมกซ์เวลล์-เอ (Maxwell-A model) มีความสัมพันธ์ดังสมการ

$$\tilde{T} + \lambda \overset{\Delta}{\tilde{T}} = 2\mu_N \tilde{D} \quad (2.25a)$$

โดยที่

$$\overset{\Delta}{\tilde{T}} = \frac{D\tilde{T}}{Dt} + \tilde{T} \cdot \tilde{L} + (\tilde{T} \cdot \tilde{L})^\dagger \quad (2.25b)$$

ตัวแบบแมกซ์เวลล์เหมาะกับของไหลที่มีความหนืดเกือบสอดคล้องกับกฎของนิวตัน จึงไม่สามารถอธิบายของไหลวิสโคอีลาสติกส่วนมากได้ ดังนั้นจึงมีการพัฒนาตัวแบบแมกซ์เวลล์ โดยออลดรอยด์ ดังอธิบายในหัวข้อต่อไป

2.2.2 ตัวแบบออลดรอยด์-บี (Oldroyd-B model)

ในปี 1950 ออลดรอยด์ ได้พัฒนาตัวแบบออลดรอยด์บีจากตัวแบบแมกซ์เวลล์แบบพานไม่เชิงเส้น [27] โดยพิจารณาสารละลายพอลิเมอร์ชนิดวิสโคอีลาสติก ที่มีของไหลนิวโตเนียนเป็นตัวทำละลาย ซึ่งมีสมการเป็น

$$\tilde{T} + \lambda \overset{\nabla}{\tilde{T}} = 2\mu \tilde{D} \quad (2.26)$$

ทำการกระจายเทอมและจัดรูปสมการ 2.26 ใหม่ จะได้สมการตัวแบบออลดรอยด์สามารถเขียนอยู่ในรูป

$$\tilde{T} + \lambda_1 \overset{\nabla}{\tilde{T}} = 2\mu(\tilde{D} + \lambda_2 \overset{\nabla}{\tilde{D}}) \quad (2.27)$$

โดยที่ $\overset{\nabla}{D}$ คือ เทนเซอร์อัตราการผลิตรูปพบบน, ความหนืดรวม คือ $\mu = \mu_V + \mu_N$ และเวลาหน่วง (retardation time) $\lambda_2 = \frac{\mu_N \lambda_1}{\mu}$

เมื่อปี 1980 Paddon และ Holstein [28] ใช้ตัวแบบออลดรอยด์ โดยทำการวิฤต (discretization) สำหรับระเบียบวิธีผลต่างอันตะ (finite difference method , FDM) ต่อมาอีก 2 ปี Crochet และ Keunings [29] ทำการวิฤต (discretization) สำหรับระเบียบวิธีขึ้นประกอบอันตะ ตามสมการ 2.27 ซึ่งอยู่ในรูป

$$\tilde{T} = \tilde{\tau} + 2\mu_N \overset{\nabla}{D} \quad (2.28a)$$

โดยที่

$$\tilde{\tau} + \lambda_1 \overset{\nabla}{\tilde{\tau}} = 2\mu_V \overset{\nabla}{D} \quad (2.28b)$$

ในปี 2000 Ngamaramvaranggul และ Webster [14, 23] ได้ใช้ตัวแบบออลดรอยด์แก้ปัญหาการไหลเคลือบเส้นลวดในเครื่องมือทั้ง 2 ชนิดคือ เพชรเซอร์ทูลิ่ง และทิวบ์ทูลิ่ง สำหรับการไหลเนียนอย่างง่าย (simple shear flow) ความหนืดเฉือน (shear viscosity) μ_s และความเค้นปกติ (normal stress) ซึ่งเป็นฟังก์ชันของอัตราเฉือน $\dot{\gamma}$ จะอยู่ในรูป

$$\mu_s(\dot{\gamma}) = \mu \quad (2.29)$$

และ

$$\psi_1(\dot{\gamma}) = 2\mu(\lambda_1 - \lambda_2)\dot{\gamma}^2 \quad (2.30)$$

และความหนืดขยาย (extensional viscosity) μ_e เป็นฟังก์ชันของอัตรายืดขยาย (extensional rate) $\dot{\epsilon}$ อยู่ในรูป

$$\mu_e(\dot{\epsilon}) = 2\mu \frac{1 - 2\lambda_2 \dot{\epsilon}}{1 - 2\lambda_1 \dot{\epsilon}} + \mu \frac{1 + \lambda_2 \dot{\epsilon}}{1 + \lambda_1 \dot{\epsilon}} \quad (2.31)$$

2.2.3 ตัวแบบเพนเทียนเทนเนอร์ (Phan-Thien/Tanner model)

ตัวแบบออลดรอยด์สามารถอธิบายพฤติกรรมของของไหลบางประเภทได้และมีข้อจำกัดในการใช้ต่อมา Phan-Thien และ Tanner ได้ทำการพัฒนาตัวแบบชนิดอื่นเพื่อให้สามารถอธิบายพฤติกรรมของของไหลวิสโคอีลาสติกได้ดีขึ้น ตั้งแต่ปี 1977 [30, 31] มีผู้ให้ความสนใจศึกษาตัวแบบเพนเทียนเทนเนอร์อย่างกว้างขวาง ปี 1984 Keunings และ Crochet [32, 33] อธิบายการไหลหดตัวแบบ 4:1 ด้วยตัวแบบ PTT และในปี 1987 Bird et al. [34] ใช้ตัวแบบเพนเทียนเทนเนอร์ในการอธิบายพลศาสตร์ของไหลของพอลิเมอร์หลอมเหลวจากนั้นอีกหนึ่งปี Phan-Thien [35] ได้ผลกระทบของการลื่นไหลบริเวณผนังตาย

ของการบวมตัว ในปี 1992 Phan-Thien [36] ได้ใช้ตัวแบบ PTT ในปัญหากระบวนการขึ้นรูป (forming processes) จากนั้นได้มีผู้นำตัวแบบ PTT ไปใช้อย่างแพร่หลาย ซึ่งในปี 1996 Gunter et al. [6] ได้ใช้ตัวแบบ PTT ในการจำลองปัญหาการไหลของของไหลประเภทวิสโคอีลาสติก แล้วแก้ปัญหาด้วยระเบียบวิธีขึ้นประกอบอันดับและอีกสองปีต่อมา Mutlu et al. [7, 37] ใช้ตัวแบบ PTT single mode กับปัญหาการไหลเคลื่อนเส้นสวด โดยอาศัยเทคนิคการหาผลเฉลยทั้งแบบคู่ควบ (coupled schemes) และไม่คู่ควบ (decoupled schemes) ในปีเดียวกัน Matallah et al. [11] ก็ได้ทำการศึกษาในลักษณะเดียวกันแต่ใช้เทคนิคการแยกหาค่าความเค้นก่อน จากนั้นอีกสองปี Matallah et al. [38, 39] ได้ใช้ตัวแบบ PTT ทั้งแบบ single mode และ multi mode กับปัญหาการไหลเคลื่อนเส้นสวด และในปีเดียวกัน Ngamaramvaranggul และ Webster [15] ได้ใช้ตัวแบบ PTT กับปัญหาการไหลเคลื่อนเส้นสวดสำหรับเครื่องมือแบบเพรชเซอร์ทูลิ่ง

สำหรับเวลาผ่อนคลายหนึ่งค่า (single relaxation time) λ_1 รูปแบบเทนเซอร์ความเค้นเอ็กซ์ตราของตัวแบบ PTT เป็นดังนี้

$$\tilde{T} = \tilde{\tau} + 2\mu_N \tilde{D} \quad (2.32a)$$

$$f\tilde{\tau} + \lambda_1 \overset{\diamond}{\tilde{\tau}} = 2\mu_V \tilde{D} \quad (2.32b)$$

โดยที่

$$\overset{\diamond}{\tilde{\tau}} = \left(1 - \frac{\xi}{2}\right) \overset{\nabla}{\tilde{\tau}} + \frac{\xi}{2} \overset{\Delta}{\tilde{\tau}} \quad (2.33)$$

จากสมการ 2.25b จัดรูปสมการ 2.33 ใหม่ได้เป็น

$$\overset{\diamond}{\tilde{\tau}} = \overset{\nabla}{\tilde{\tau}} + \xi(\tilde{D} \cdot \tilde{\tau} + \tilde{\tau} \cdot \tilde{D}) \quad (2.34)$$

สำหรับฟังก์ชัน f มี 3 รูปแบบดังนี้

1. รูปแบบสมการเชิงเส้น (linear model)

$$f = 1 + \frac{\varepsilon\lambda_1}{\mu_V} \text{trace}(\tilde{\tau}) \quad (2.35a)$$

2. รูปแบบสมการกำลังสอง (quadratic model)

$$f = 1 + \frac{\varepsilon\lambda_1}{\mu_V} \text{trace}(\tilde{\tau}) + \frac{1}{2} \left[\frac{\varepsilon\lambda_1}{\mu_V} \text{trace}(\tilde{\tau}) \right]^2 \quad (2.35b)$$

3. รูปแบบสมการเลขชี้กำลัง (exponential model)

$$f = \exp \left[\frac{\varepsilon\lambda_1}{\mu_V} \text{trace}(\tilde{\tau}) \right] \quad (2.35c)$$

เมื่อ $trace(\tilde{\tau}) = \sum_i \tau_{ii}$

แทนค่าสมการ 2.24b ในสมการ 2.34 จะได้

$$\diamond \tilde{\tau} = \frac{D\tilde{\tau}}{Dt} - \tilde{\tau} \cdot \tilde{L} - (\tilde{\tau} \cdot \tilde{L})^\dagger + \xi(\tilde{D} \cdot \tilde{\tau} + \tilde{\tau} \cdot \tilde{D}) \quad (2.36)$$

จากสมการ 2.10 และ $L = \nabla U$ จึงเขียนรูปสมการ 2.36 ใหม่ได้เป็น

$$\diamond \tilde{\tau} = \frac{\partial \tilde{\tau}}{\partial t} + \vec{U} \cdot \nabla \tilde{\tau} - \tilde{\tau} \cdot \nabla \vec{U} - (\tilde{\tau} \cdot \nabla \vec{U})^\dagger + \xi(\tilde{D} \cdot \tilde{\tau} + \tilde{\tau} \cdot \tilde{D}) \quad (2.37)$$

แทนค่าสมการ 2.37 ในสมการ 2.32b [7] และเขียนให้อยู่ในรูปสมการเชิงอนุพันธ์ย่อยได้เป็น

$$\lambda_1 \frac{\partial \tilde{\tau}}{\partial t} = 2\mu_V \tilde{D} - f\tilde{\tau} - \lambda_1 \left\{ \vec{U} \cdot \nabla \tilde{\tau} - \tilde{\tau} \cdot \nabla \vec{U} - (\tilde{\tau} \cdot \nabla \vec{U})^\dagger + \xi[(\tilde{D} \cdot \tilde{\tau}) + (\tilde{D} \cdot \tilde{\tau})^\dagger] \right\} \quad (2.38)$$

สำหรับงานวิจัยนี้ จะศึกษาการไหลของของไหลนอนนิวโตเนียน โดยอาศัยตัวแบบเพนเทียเนออร์ ฟังก์ชันเลขชี้กำลัง จึงได้ระบบสมการควบคุมและสมการองค์ประกอบ ซึ่งดูจากสมการ 2.5, 2.19, 2.20 และ 2.38 สรุปได้ดังนี้

$$\rho \frac{\partial \vec{U}}{\partial t} = \nabla \cdot \tilde{T} - \rho \vec{U} \cdot \nabla U - \nabla p$$

$$\nabla \cdot \vec{U} = 0$$

$$\tilde{T} = \tilde{\tau} + 2\mu_N \tilde{D}$$

$$\lambda_1 \frac{\partial \tilde{\tau}}{\partial t} = 2\mu_V \tilde{D} - f\tilde{\tau} - \lambda_1 \left\{ \vec{U} \cdot \nabla \tilde{\tau} - \tilde{\tau} \cdot \nabla \vec{U} - (\tilde{\tau} \cdot \nabla \vec{U})^\dagger + \xi[(\tilde{D} \cdot \tilde{\tau}) + (\tilde{D} \cdot \tilde{\tau})^\dagger] \right\}$$

เมื่อ f คือ

$$f = \exp \left[\frac{\varepsilon \lambda_1}{\mu_V} \text{trace}(\tilde{\tau}) \right]$$

ความหนืดเฉือน (μ_s) และความหนืดขยาย (μ_e) ของตัวแบบ PTT เป็นฟังก์ชันของ $\dot{\gamma}$ และ $\dot{\epsilon}$ ตามลำดับ [15] ซึ่งอยู่ในรูป

$$\mu_s(\dot{\gamma}) = \mu_N + \frac{\mu_V f}{f^2 + \xi(2 - \xi)\lambda_1^2 \dot{\gamma}^2} \quad (2.39)$$

และ

$$\mu_e(\dot{\epsilon}) = 3\mu_N + \frac{2\mu_V}{f - 2(1 - \xi)\lambda_1 \dot{\epsilon}} + \frac{\mu_V}{f + (1 - \xi)\lambda_1 \dot{\epsilon}} \quad (2.40)$$

ต่อไปจะทำการแปลงระบบสมการที่ได้ให้อยู่ในระบบไร้หน่วย เพื่อให้เปรียบเทียบผลได้ง่าย โดยพิจารณาจากหัวข้อต่อไปนี้

2.3 ระบบไร้หน่วย (Non-dimensional system)

สำหรับระบบสมการควบคุมและสมการองค์ประกอบโดยทั่วไปมักจะพิจารณาในระบบไร้หน่วย โดยกำหนดอัตราส่วนของค่าที่มีหน่วยเทียบกับตัวประกอบลักษณะเฉพาะ (characteristic factor) ของแต่ละตัวให้เป็นตัวแปรไร้หน่วย (non-dimensional variable) คือ r^* , z^* , \vec{U}^* , p^* , T^* , t^* , μ^* , $\frac{D}{Dt^*}$, λ^* ซึ่งมีการกำหนดดังนี้

- เวกเตอร์ระยะกระจัดในทิศทางของแกน R คือ $r^* = \frac{r}{L}$
- เวกเตอร์ระยะกระจัดในทิศทางของแกน Z คือ $z^* = \frac{z}{L}$
- เวกเตอร์ความเร็ว คือ $\vec{U}^* = \frac{\vec{U}}{V}$
- ความดัน คือ $p^* = \frac{L}{\mu V} p$
- เทนเซอร์ความเค้น คือ $\tilde{T}^* = \frac{L}{\mu V} \tilde{T}$ หรือ $\tilde{\tau}^* = \frac{L}{\mu_0 V} \tilde{\tau}$
- เวลา คือ $t^* = \frac{V}{L} t$
- ตัวดำเนินการเกรเดียนต์ คือ $\nabla^* = L \nabla$
- ตัวดำเนินการ คือ $\frac{D}{Dt^*} = \frac{L}{V} \frac{D}{Dt}$
- ค่าเวลาผ่อนคลาย คือ $\lambda^* = \frac{V}{L} \lambda$
- ค่าความหนืด คือ $\mu_i^* = \frac{1}{\mu} \mu_i, i = N, V$
- ค่าอัตราการเฉือน คือ $\dot{\gamma}^* = \frac{L}{V} \dot{\gamma}$

โดยที่

L คือ ความยาวลักษณะเฉพาะ (characteristic length) หน่วยเป็น m

V คือ ความเร็วลักษณะเฉพาะ (characteristic velocity) หน่วยเป็น m/s

μ คือ ความหนืดอ้างอิง (reference viscosity) หน่วยเป็น Pa.s หรือ N/m² และมีค่าเท่ากับผลรวมของความหนืดของตัวทำละลายกับความหนืดของพอลิเมอร์ ($\mu = \mu_N + \mu_V$)

เปลี่ยนระบบสมการควบคุมและสมการองค์ประกอบให้อยู่ในระบบไร้หน่วย โดยการแทนค่าตัวไร้หน่วยลงในสมการ 2.5, 2.19, 2.20 และ 2.38 ซึ่งได้สรุปให้ก่อนหน้านี้อแล้วจัดรูปสมการเหล่านี้ใหม่ โดยละเอียดเครื่องหมาย * จะได้ระบบสมการในระบบไร้หน่วย ดังนี้

$$Re \frac{\partial \vec{U}}{\partial t} = \nabla \cdot \tilde{T} - Re \vec{U} \cdot \nabla U - \nabla p \quad (2.41)$$

$$\nabla \cdot \vec{U} = 0 \quad (2.42)$$

$$\tilde{T} = \tilde{\tau} + 2\mu_N \tilde{D} \quad (2.43)$$

$$We \frac{\partial \tilde{\tau}}{\partial t} = 2\mu_V \tilde{D} - f\tilde{\tau} - We \left\{ \vec{U} \cdot \nabla \tilde{\tau} - \tilde{\tau} \cdot \nabla \vec{U} - (\tilde{\tau} \cdot \nabla \vec{U})^\dagger + \xi[(\tilde{D} \cdot \tilde{\tau}) + (\tilde{D} \cdot \tilde{\tau})^\dagger] \right\} \quad (2.44)$$

เมื่อ Re คือ ตัวเลขเรย์โนลด์ส (Reynolds number) และ We คือ ตัวเลขไวส์เบอร์ก (Weissenberg number) ซึ่งมีค่าเป็น

$$Re = \frac{\rho V L}{\mu} \text{ และ } We = \frac{\lambda_1 V}{L}$$

ตัวเลขทั้งสองมีความสำคัญต่อพฤติกรรมต่างๆของของไหล ตัวเลขเรย์โนลด์สซึ่งแปรผกผันกับความหนืดของพอลิเมอร์ ตัวเลขไวส์เซนเบอร์กหรือตัวเลขเดบอราห์ (Deborah number) ซึ่งแปรผันกับเวลาผ่อนคลาย (Relaxation time) ทั้งสองค่ามีความสำคัญกับพฤติกรรมการไหลของของไหลและขึ้นอยู่กับชนิดของของไหล หากพิจารณาค่าตัวเลขเรย์โนลด์ส (Re) จะได้ลักษณะการไหลของของไหลดังนี้ [40]

1. Re มีค่าน้อยๆ ของไหลมีการไหลแบบคืบคลาน (creeping flow)
2. Re มีค่าน้อยกว่า 2000 ของไหลจะมีการไหลแบบราบเรียบ
3. Re มีค่ามากกว่า 2000 ของไหลจะมีการไหลแบบอลวน (turbulent flow)

พบว่าค่าตัวเลขไวส์เซนเบอร์กจะบอกถึงความยืดหยุ่นของของไหล ซึ่งค่าต่างๆเหล่านี้จะมีผลต่อการคำนวณ ส่วนค่าตัวเลขไวส์เซนเบอร์กจะเป็นตัวบ่งบอกคุณภาพแสดงความยืดหยุ่นของของไหล เนื่องจากความสัมพันธ์ระหว่างอัตราความหนืดต่ออัตราความเค้นเฉือนของไหลนอนนิวโตเนียนเป็นแบบไม่เชิงเส้น (non-linear) ดังนั้นจึงพยายามสร้างตัวแบบของสมการองค์ประกอบ ซึ่งเป็นสมการในส่วนของความเค้นเพื่อให้เหมาะสมกับของไหลประเภทวิสโคอีลาสติกแต่ละชนิด

2.4 ความรู้ทางรีโอโลยี (Knowledge of rheology)

ปัญหาการไหลของของไหลนอนนิวโตเนียนสำหรับการไหลแบบเฉือน (shear flow) และการไหลแบบยืดขยาย (extensional flow) มีสิ่งสำคัญที่มาพิจารณาคือพฤติกรรมของความหนืด ซึ่งเป็นค่าลักษณะเฉพาะของของไหล โดยทั่วไปเขียนอยู่ในรูปฟังก์ชันวัสดุ (material function) หรือเรียกอีกอย่างว่า ความหนืดเชิงฟังก์ชัน (functional viscosity) ใช้บ่งบอกลักษณะของของไหลนอนนิวโตเนียน โดยพิจารณาลักษณะการไหลดังนี้

2.4.1 การไหลแบบเฉือนอย่างง่าย (simple shear flow)

การไหลแบบเฉือนอย่างง่ายเป็นการไหลในรูปแบบที่เกิดจากแรงเฉือน เนื่องจากผนังหรือพื้นผิวสัมผัสของการไหลเกิดการเคลื่อนที่ซึ่งเกิดความแตกต่างของความดัน [41] ดังนั้นลักษณะการไหลจึงมีความสำคัญ พิจารณาปัญหาในระบบพิกัดคาร์ทีเซียน (cartesian coordinate system) 3 มิติ ส่วนประกอบของความเร็วสำหรับการไหลแบบเฉือนอย่างง่ายสามารถเขียนได้ในรูป

$$u_x = \dot{\gamma}y \quad (2.45a)$$

$$v_y = v_z = 0 \quad (2.45b)$$

ซึ่ง

$$\dot{\gamma} = \frac{du_x}{dy} \quad (2.46)$$

และได้ผลต่างของความเค้นแนวฉากปฐมภูมิ (primary normal stress) N_1 และความเค้นแนวฉากทุติยภูมิ (secondary normal stress) N_2 ในรูปของความเค้นแนวฉากเป็น

$$N_1 = \tau_{xx} - \tau_{yy} = \dot{\gamma}^2 \psi_1(\dot{\gamma}) \quad (2.47a)$$

$$N_2 = \tau_{yy} - \tau_{zz} = \dot{\gamma}^2 \psi_2(\dot{\gamma}) \quad (2.47b)$$

เมื่อ

τ_{xx} เป็นความเค้นแนวฉากในทิศทางแกน X

τ_{yy} เป็นความเค้นแนวฉากในทิศทางแกน Y

τ_{zz} เป็นความเค้นแนวฉากในทิศทางแกน Z

ψ_1 เป็นสัมประสิทธิ์ของความเค้นแนวฉากปฐมภูมิ

ψ_2 เป็นสัมประสิทธิ์ของความเค้นแนวฉากทุกทิศทาง

ซึ่งทั้ง ψ_1 และ ψ_2 ต่างเป็นฟังก์ชันวัสดุ (material functions) ของค่าอัตราการเฉือน [42, 43] และผลต่างของความเค้นแนวฉากปฐมภูมิเป็นตัวบอกริมาณความยืดหยุ่น (elasticity) [16] ของของไหลได้

2.4.2 การไหลแบบยืด (elongational flow)

การไหลแบบยืด เป็นรูปแบบการไหลที่เกิดจากแรงยึดซึ่งรู้จักกันทั่วไปคือการไหลขยายแกนเดียว (uniaxial extensional flow) ซึ่งการไหลรูปแบบนี้ได้รับแรงจากการเปลี่ยนแปลงรูปร่างอาจไม่ได้มาจากผนังหรือพื้นผิวสัมผัสและบางครั้งอาจเรียกว่า การไหลของผิวอิสระ (free surface flow) พฤติกรรมการยืดออกของของไหลมีผลต่อลักษณะการไหลของของไหล สำหรับการไหลแบบยืดจำแนกได้เป็น 3 ชนิดตามลักษณะการเปลี่ยนแปลงของความหนืด [16] ดังนี้

1. การไหลชนิดเทร่าโตเนียน (Troutonian flow) คือการไหลที่ค่าความหนืดแบบยืดดึง (elongational viscosity) ไม่เปลี่ยนเมื่อเทียบกับอัตราการยืดดึง (elongational rate)
2. การไหลชนิดความแข็งแบบแรงดึง (tension stiffening flow) คือการไหลที่ค่าความหนืดแบบยืดดึงมีค่าเพิ่มขึ้นสูงอย่างมีขอบเขตเมื่ออัตราการยืดดึงเพิ่มขึ้น
3. การไหลชนิดความบางแบบแรงดึง (tension thinning flow) คือการไหลที่ค่าความหนืดแบบยืดดึงมีค่าลดลงอย่างมีขอบเขตเมื่ออัตราการยืดดึงเพิ่มขึ้น

การไหลที่มีลักษณะการไหลแบบยืดมี 3 ลักษณะดังนี้

การไหลแบบยืดขยายแกนเดียว (uniaxial extensional flow) เป็นการไหลที่เกิดขึ้นเพียงทิศทางเดียว พิจารณาอัตรายืดขยายในรูปความเร็วดังนี้

$$\dot{\epsilon} = \frac{u_x}{x} = -2\frac{v_y}{y} = -2\frac{v_z}{z} \quad (2.48)$$

เมื่อจัดใหม่จะได้ความเร็วอยู่ในรูปของอัตรายืดขยายเป็น

$$u_x = \dot{\epsilon}x, v_y = -\frac{\dot{\epsilon}}{2}y, v_z = -\frac{\dot{\epsilon}}{2}z \quad (2.49)$$

ได้ผลต่างความเค้นเป็น

$$\tau_{xx} - \tau_{yy} = \tau_{yy} - \tau_{zz} = \dot{\epsilon}\mu_e(\dot{\epsilon})$$

$$\tau_{xy} = \tau_{xz} = \tau_{yz} = 0 \quad (2.50)$$

เมื่อ μ_e คือ ความหนืดแบบยืดขยาย (extensional viscosity)

การไหลแบบยืดขยายแกนสองทาง (biaxial extensional flow) เป็นการไหลที่เกิดจากการยืดในสองทิศทางที่ตั้งฉากกัน ซึ่งอัตราการยืดขยาย (elongation rate) จะอยู่ในรูป

$$\dot{\epsilon} = \frac{u_x}{x} = \frac{v_y}{y} = -\frac{v_z}{2z} \quad (2.51)$$

ดังนั้นจึงได้ว่า

$$u_x = \dot{\epsilon}x, v_y = \dot{\epsilon}y, v_z = -2\dot{\epsilon}z \quad (2.52)$$

ได้ผลต่างความเค้นเป็น

$$\begin{aligned} \tau_{zz} - \tau_{xx} = \tau_{zz} - \tau_{yy} &= \dot{\epsilon}\mu_{eb}(\dot{\epsilon}) \\ \tau_{xy} = \tau_{xz} = \tau_{yz} &= 0 \end{aligned} \quad (2.53)$$

เมื่อ μ_{eb} คือ ความหนืดแบบยืดขยายแกนสองทาง (biaxial extensional viscosity) ความสัมพันธ์ระหว่างความหนืดแบบแกนเดียว (uniaxial viscosity) และความหนืดแบบแกนสองทาง (biaxial viscosity) ได้ถูกแสดงโดย Walter [44] ซึ่งมีความสัมพันธ์ดังนี้

$$\mu_{eb}(\dot{\epsilon}) = \mu_e(-2\dot{\epsilon}) \quad (2.54)$$

การไหลแบบยืดขยายเชิงระนาบ (planar extensional flow) เป็นการไหลที่มีการยืดทั้งระนาบในทิศทางเดียว สำหรับอัตราการยืดขยายมีความสัมพันธ์กับความเร็ว ดังนี้

$$\dot{\epsilon} = \frac{u_x}{x} = -\frac{v_z}{z}, v_y = 0 \quad (2.55)$$

จึงได้ว่า

$$u_x = \dot{\epsilon}x, v_y = 0, v_z = -\dot{\epsilon}z \quad (2.56)$$

ได้ผลต่างความเค้นเป็น

$$\tau_{xx} - \tau_{zz} = \dot{\epsilon}\mu_{ep}(\dot{\epsilon}) \quad (2.57)$$

เมื่อ μ_{ep} คือ ความหนืดแบบยืดขยายเชิงระนาบ (planar extensional viscosity)

2.4.3 อัตราเฉือนและอัตราการยืดขยาย (shear rate and elongation rate)

เมื่อพิจารณาพฤติกรรมของของไหลไอโซโทรปิกเอกพันธ์แบบไม่ยืดหยุ่น (inelastic homogeneous isotropic fluid) ภายใต้ระบบที่อุณหภูมิคงตัว (isothermal system) โดย Rivlin และ Eriksen [45] จากนั้น Reiner [46] อธิบายรูปแบบทั่วไปของเทนเซอร์ความเค้นเอ็กซ์ตริต้าที่เป็นฟังก์ชันของเทนเซอร์ของอัตราการผิดรูปภายใต้สภาวะไม่อัดตัวดังนี้

$$\tilde{T} = 2\mu(\dot{\gamma}, \dot{\epsilon}) \quad (2.58)$$

สำหรับการไหลเฉือนอย่างง่าย อัตราเฉือน $\dot{\gamma}$ คือ

$$\dot{\gamma} = 2\sqrt{II_d} \quad (2.59)$$

และการไหลแบบยืด อัตรายืดขยาย $\dot{\epsilon}$ คือ

$$\dot{\epsilon} = 3\frac{III_d}{II_d} \quad (2.60)$$

โดยที่ II_d และ III_d คือความไม่แปรเปลี่ยนอันดับที่สองและอันดับที่สาม (the second and third invariants) ของเทนเซอร์ของอัตราการผิดรูป (the rate of strain tensor) \tilde{D} ตามลำดับ ซึ่งในระบบพิกัดฉากหรือระบบคาร์ทีเซียน (cartesian coordinate system) ความไม่แปรเปลี่ยนอันดับที่สองและสาม คือ

$$\begin{aligned} II_d &= \frac{1}{2}\text{trace}(\tilde{D}^2) \\ &= \frac{1}{2}\left\{\left(\frac{\partial u_x}{\partial x}\right)^2 + \left(\frac{\partial v_y}{\partial y}\right)^2 + \frac{1}{2}\left(\frac{\partial u_x}{\partial y} + \frac{\partial v_y}{\partial x}\right)^2\right\} \end{aligned} \quad (2.61)$$

$$III_d = \det \tilde{D} = -II_d \quad (2.62)$$

ในระบบพิกัดทรงกระบอก (axisymmetric coordinate system หรือ cylindrical coordinate system)

II_d และ III_d จะอยู่ในรูป

$$\begin{aligned} II_d &= \frac{1}{2}\text{trace}(\tilde{D}^2) \\ &= \frac{1}{2}\left\{\left(\frac{\partial u_r}{\partial r}\right)^2 + \left(\frac{\partial v_z}{\partial z}\right)^2 + \left(\frac{u_r}{r}\right)^2 + \frac{1}{2}\left(\frac{\partial u_r}{\partial z} + \frac{\partial v_z}{\partial r}\right)^2\right\} \end{aligned} \quad (2.63)$$

$$III_d = \det \tilde{D} = \frac{u_r}{r}\left\{\frac{\partial u_r}{\partial r}\frac{\partial v_z}{\partial z} - \frac{1}{4}\left(\frac{\partial u_r}{\partial z} + \frac{\partial v_z}{\partial r}\right)^2\right\} \quad (2.64)$$

บทที่ 3

ระเบียบวิธีเชิงตัวเลข (Numerical Method)

การศึกษาและพัฒนาระเบียบวิธีเชิงตัวเลขเช่น ระเบียบวิธีสี่เหลี่ยมประกอบขอบ ระเบียบวิธีปริมาตรอันดับ ระเบียบวิธีผลต่างอันดับและระเบียบวิธีสี่เหลี่ยมประกอบอันดับ เพื่อใช้ในการแก้ปัญหาทางวิทยาศาสตร์และวิศวกรรมศาสตร์อย่างกว้างขวางโดยอาศัยความรู้ในการสร้างตัวแบบคณิตศาสตร์แทนลักษณะปัญหาต่างๆ ส่วนมากเขียนอยู่ในรูปสมการเชิงปริพันธ์ (integral equation) หรือสมการเชิงอนุพันธ์ (differential equation) และพบว่าตัวแบบคณิตศาสตร์ของหลายปัญหามักอยู่ในรูปแบบไม่เชิงเส้น (non-linear model) จึงเป็นการยากในการหาผลเฉลยของปัญหาที่อยู่ในรูปผลเฉลยเชิงวิเคราะห์ (analytical solution) หรืออาจหาไม่ได้เลย ดังนั้นระเบียบวิธีเชิงตัวเลขจึงได้นำมาใช้เพื่อหาผลเฉลยเชิงตัวเลข (numerical solution) สำหรับปัญหาการไหล ตัวแบบทางคณิตศาสตร์ที่สร้างขึ้นจะอยู่ในรูปสมการเชิงอนุพันธ์ย่อยไม่เชิงเส้น (non-linear partial differential equation) ของตัวแปรที่ไม่ทราบค่า เช่น ความดัน ความเร็ว ความเค้น เป็นต้น โดยอาศัยความรู้ทางระเบียบวิธีเชิงตัวเลขต่อไปนี้ ในการหาผลเฉลยของปัญหา

3.1 ระเบียบวิธีผลต่างอันดับ (Finite difference method)

ในการแก้ปัญหาด้วยระเบียบวิธีเชิงตัวเลข ระเบียบวิธีผลต่างอันดับ เป็นวิธีการแรกๆที่นำมาใช้ในการหาผลเฉลยปัญหาต่างๆ เช่น ปัญหาการนำความร้อนของวัสดุ ปัญหาการไหล เป็นต้น โดยระเบียบวิธีผลต่างอันดับ จะทำการแบ่งโดเมนที่ศึกษาออกเป็นโดเมนย่อยๆในลักษณะของสี่เหลี่ยมประกอบย่อยๆ ที่เรียกว่ากริดสม่ำเสมอ (uniform grid) ซึ่งประกอบไปด้วยโนดต่างๆที่มีการบอกพิกัด ดังรูปที่ 3.1

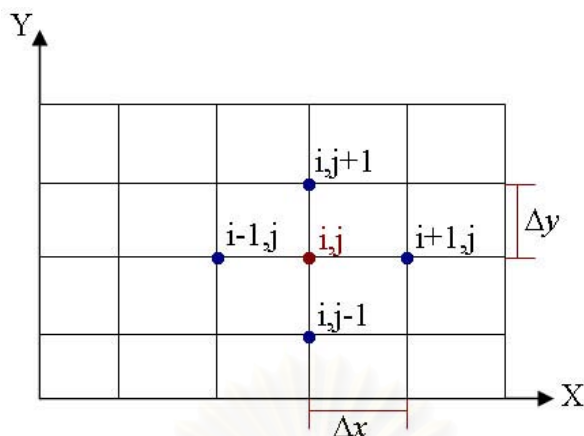
พิจารณาโนด $(i + 1, j)$ โดยการกระจายอนุกรมของเทย์เลอร์ (Taylor series expansion) จะได้

$$u_{i+1,j} = u_{i,j} + h \left. \frac{\partial u}{\partial x} \right|_{i,j} + \frac{h^2}{2} \left. \frac{\partial^2 u}{\partial x^2} \right|_{i,j} + O(h^3) \quad (3.1)$$

และพิจารณาโนด $(i - 1, j)$ โดยการกระจายอนุกรมของเทย์เลอร์จะได้

$$u_{i-1,j} = u_{i,j} - h \left. \frac{\partial u}{\partial x} \right|_{i,j} + \frac{h^2}{2} \left. \frac{\partial^2 u}{\partial x^2} \right|_{i,j} + O(h^3) \quad (3.2)$$

เมื่อ $u_{i,j}$ คือความเร็ว ณ โหนด n ที่มีพิกัดเป็น (i, j) มีการพิจารณาใน 3 ลักษณะดังนี้



รูปที่ 3.1: การแบ่งโดเมนย่อยสำหรับระเบียบวิธีผลต่างอันตะ

1. สูตรผลต่างข้างหน้า (the forward difference formula)

จากสมการ 3.1 จัดรูปสมการใหม่จะได้ อนุพันธ์อันดับที่ 1 (first-order derivative) ซึ่งมีความแม่นยำอันดับที่ 1 (first order accuracy) เป็น

$$\left. \frac{\partial u}{\partial x} \right|_{i,j} = \frac{u_{i+1,j} - u_{i,j}}{h} + O(h) \quad (3.3a)$$

เมื่อพิจารณาความเร็วของโนดที่ $(i+2, j)$ ในทำนองเดียวกันกับสมการ 3.1 นำไปบวกสมการ 3.1 ซึ่งคูณด้วยสอง จัดรูปใหม่จะได้อนุพันธ์อันดับที่ 2 (second-order derivative) ที่ความแม่นยำอันดับที่ 1 เป็น

$$\left. \frac{\partial^2 u}{\partial x^2} \right|_{i,j} = \frac{u_{i+2,j} - 2u_{i+1,j} + u_{i,j}}{h^2} + O(h) \quad (3.3b)$$

2. สูตรผลต่างย้อนหลัง (the backward difference formula)

จากสมการ 3.2 จัดรูปสมการใหม่จะได้ อนุพันธ์อันดับที่ 1 ซึ่งมีความแม่นยำอันดับที่ 1 เป็น

$$\left. \frac{\partial u}{\partial x} \right|_{i,j} = \frac{u_{i,j} - u_{i-1,j}}{h} + O(h) \quad (3.4a)$$

ในทำนองเดียวกันกับสูตรผลต่างข้างหน้าสำหรับอนุพันธ์อันดับที่ 2 ที่มีความแม่นยำอันดับที่ 1 จะอยู่ในรูป

$$\left. \frac{\partial^2 u}{\partial x^2} \right|_{i,j} = \frac{u_{i,j} - 2u_{i-1,j} + u_{i-2,j}}{h^2} + O(h) \quad (3.4b)$$

3. สูตรผลต่างตรงกลาง (the central difference formula)

เมื่อพิจารณาสมการ 3.1 ลบด้วยสมการ 3.2 จัดรูปสมการใหม่จะได้อนุพันธ์อันดับที่ 1 ที่มีความแม่นยำอันดับที่ 2 เป็น

$$\left. \frac{\partial u}{\partial x} \right|_{i,j} = \frac{u_{i+1,j} - u_{i-1,j}}{2h} + O(h^2) \quad (3.5a)$$

เมื่อพิจารณาสมการ 3.1 บวกกับสมการ 3.2 จัดรูปสมการใหม่จะได้อนุพันธ์อันดับที่ 2 ที่มีความแม่นยำอันดับที่ 2 เป็น

$$\left. \frac{\partial^2 u}{\partial x^2} \right|_{i,j} = \frac{u_{i+1,j} - 2u_{i,j} + u_{i-1,j}}{h^2} + O(h^2) \quad (3.5b)$$

สามารถศึกษาเพิ่มเติมได้จาก [47, 48]

3.2 ระเบียบวิธีขึ้นประกอบอันตะ (Finite element method)

ระเบียบวิธีขึ้นประกอบอันตะ เป็นระเบียบวิธีเชิงตัวเลขที่ใช้แก้ปัญหาของสมการเชิงอนุพันธ์ โดยการแปลงสมการเชิงอนุพันธ์ให้อยู่ในรูปของระบบสมการเชิงเส้น จากนั้นให้แก่ระบบสมการเชิงเส้นด้วยระเบียบวิธีเชิงตัวเลข ประมาณปี 1950 ได้มีผู้ใช้ระเบียบวิธีขึ้นประกอบอันตะในการวิเคราะห์ปัญหาโครงสร้าง และในปี 1965 Zienkiewicz และ Cheung [49] ได้นำระเบียบวิธีขึ้นประกอบอันตะมาประยุกต์ใช้กับปัญหาการไหล จากนั้นได้มีผู้ศึกษาอย่างแพร่หลายถึงปัจจุบันนี้เนื่องจาก สามารถหาผลเฉลยที่มีความแม่นยำสูง

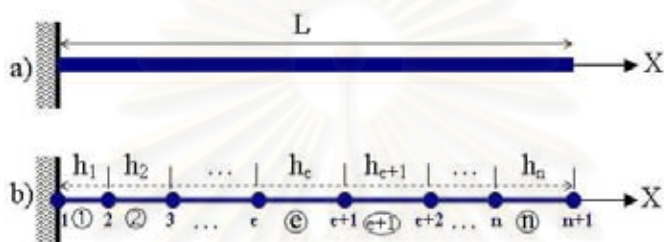
สำหรับขั้นตอนในการประมาณค่าผลเฉลยของระเบียบวิธีขึ้นประกอบอันตะ มีดังนี้

1. การสร้างขึ้นประกอบย่อย (mesh generation)
2. แทนค่าตัวแปรเริ่มต้นด้วยผลเฉลยลอง (trial solution) [50, 51] เพื่อใช้ประมาณค่าผลเฉลย
3. ใช้ระเบียบวิธีถ่วงน้ำหนักเศษตกค้าง (weighted residual method) เพื่อลดค่านอร์มความผิดพลาดที่ได้จากการประมาณค่า
4. หาผลเฉลยด้วยระเบียบวิธีเชิงตัวเลขกับปัญหาที่แปลงให้อยู่ในรูปเมทริกซ์ทั้งแบบเชิงเส้นและไม่เชิงเส้น

ในวิทยานิพนธ์นี้จะกล่าวเฉพาะระเบียบวิธีขึ้นประกอบอันตะใน 1 มิติ และ 2 มิติเท่านั้น สำหรับปัญหาใน 1 มิติ เช่น การแพร่ความร้อนของเส้นลวด การรับน้ำหนักของคาน เป็นต้น แต่ในบางปัญหาอธิบายใน 1 มิติได้ยากและผลเฉลยไม่ตจึ่งใช้เป็นปัญหาใน 2 มิติ เช่น การแพร่ความร้อนของแผ่นโลหะบาง การไหลในท่อ การถ่ายเทของอากาศ เป็นต้น

3.2.1 ระเบียบวิธีขึ้นประกอบอันตะสำหรับ 1 มิติ (finite element method for one dimension)

เริ่มจากการพิจารณาโดเมนของปัญหาที่อยู่ในรูป $\Omega = (0, L)$ ดังรูปที่ 3.2(a) จากนั้นแบ่งโดเมนให้เป็นเส้นขึ้นประกอบ (line element) โดยแต่ละเส้นขึ้นประกอบจะมีโนดเป็นตัวแบ่ง หากพิจารณาโดเมนทั้งหมดจะเรียกโนดเหล่านั้นว่าโนดวงกว้าง (global nodes) หรือโนดในโดเมน ซึ่งแสดงดังรูปที่ 3.2(b) แต่หากพิจารณาในแต่ละเส้นขึ้นประกอบจะเรียกแต่ละโนดว่าเป็น โนดเฉพาะที่ (local node) [52]



รูปที่ 3.2: การแบ่งโดเมนย่อยสำหรับระเบียบวิธีขึ้นประกอบอันตะใน 1 มิติ (a) ลักษณะโดเมนใน 1 มิติ (b) เส้นประกอบย่อยใน 1 มิติ

ศึกษาเพิ่มเติมได้จากเอกสารอ้างอิง [50, 52, 53, 54, 55] เมื่อทำการแบ่งเส้นขึ้นประกอบเรียบร้อยแล้ว จะสร้างความเชื่อมต่อขึ้นประกอบ (element connectivity) เพื่อให้ง่ายต่อการอ้างอิงและสะดวกต่อการคำนวณ หากพิจารณาในแบบเชิงเส้น (linear form) แต่ละเส้นขึ้นประกอบจะมีโนดเฉพาะที่ 2 โนด แต่ถ้าพิจารณาแบบกำลังสอง (quadratic form) ในแต่ละเส้นประกอบจะมีโนดเฉพาะที่ 3 โนด และถ้าเป็นแบบกำลังสาม (cubic form) ก็จะเพิ่มโนดเฉพาะที่อีกหนึ่งจุด ซึ่งสามารถเพิ่มโนดไปได้เรื่อยๆหากต้องการความละเอียดสูง

สมการรูปร่างเชิงเส้น สำหรับ 1 มิติ (linear shape function for one dimension)

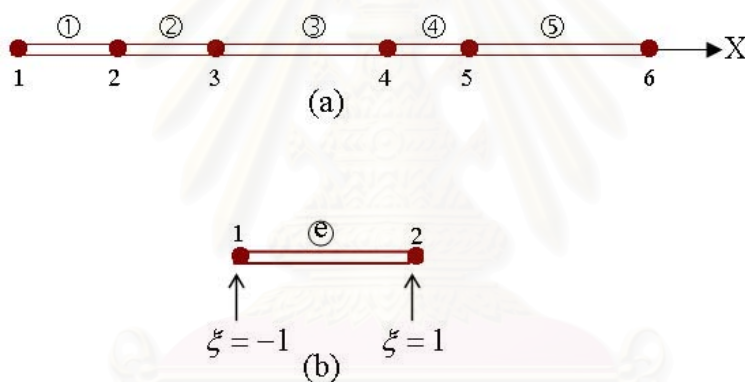
กำหนดความเชื่อมต่อขึ้นประกอบของแต่ละเส้นขึ้นประกอบ ด้วยการกำหนดชื่อโนดเฉพาะที่สองโนดให้เป็นโนดวงกว้าง ซึ่งแสดงดังตารางที่ 3.1 เมื่อพิจารณาในแต่ละเส้นประกอบจะกำหนดหมายเลขเฉพาะที่ให้กับโนดเฉพาะที่ดังรูป 3.3(a) โดยให้ x_1 และ x_2 เป็นพิกัดของโนดเฉพาะที่ 1 และ 2 ตามลำดับ แล้วแปลงพิกัดที่อยู่ในรูปของ x ให้เป็นพิกัดธรรมชาติ (natural coordinate system) ที่อยู่ในรูปของ ξ โดยความสัมพันธ์ที่ว่า

$$\xi = \frac{2}{x_2 - x_1}(x - x_1) - 1 \quad (3.6)$$

เลขเส้นชั้นประกอบ	โนดเฉพาะที่ 1	โนดเฉพาะที่ 2
①	1	2
②	2	3
③	3	4
④	4	5
⑤	5	6

ตารางที่ 3.1: แสดงความเชื่อมต่อชั้นประกอบแบบเชิงเส้นใน 1 มิติ

จากความสัมพันธ์ดังกล่าวจะเห็นว่าที่โนดเฉพาะที่ 1 ค่าของ $\xi = -1$ และที่โนดเฉพาะที่ 2 ค่าของ $\xi = 1$ ดังรูปที่ 3.3(b) ดังนั้นเมื่อทราบความยาวของเส้นชั้นประกอบ ให้แปลงความยาวของเส้นชั้นประกอบนั้นอยู่ในช่วง -1 ถึง 1 เพื่อกำหนดเป็นฟังก์ชันรูปร่าง (shape function) ต่อไป



รูปที่ 3.3: การกำหนดพิกัดให้โนดเฉพาะที่ใน 1 มิติ (a) ลักษณะโนดวงกว้างสำหรับชั้นประกอบย่อยใน 1 มิติ (b) โนดเฉพาะของแต่ชั้นประกอบย่อย

สำหรับฟังก์ชันรูปร่างเชิงเส้น (linear shape function) จะอยู่ในรูป

$$\begin{aligned}
 N_1(\xi) &= \frac{1 - \xi}{2} \\
 N_2(\xi) &= \frac{1 + \xi}{2}
 \end{aligned}
 \tag{3.7}$$

เมื่อพิจารณาในระบบธรรมชาติ กราฟของฟังก์ชันรูปร่าง N_1 และ N_2 ได้แสดงไว้ดังในรูปที่ 3.4(a) และ 3.4(b) ตามลำดับและจะพบว่า $N_1 = 1$ ที่ $\xi = -1$ แต่ $N_1 = 0$ ที่ $\xi = 1$ ทำให้ N_1 เป็นกราฟ

เส้นตรงที่เชื่อมจุดทั้งสอง และกราฟของ N_2 จะพิจารณาในทำนองเดียวกัน ทำให้ความสัมพันธ์ที่ว่า

$$\sum_{i=1}^n N_i(\xi) = 1 \quad (3.8)$$

เมื่อ n เป็นจำนวนโนดเฉพาะทีในแต่ละเส้นขึ้นประกอบ

ในการประมาณค่าตัวแปรที่ต้องการ จะได้ว่า

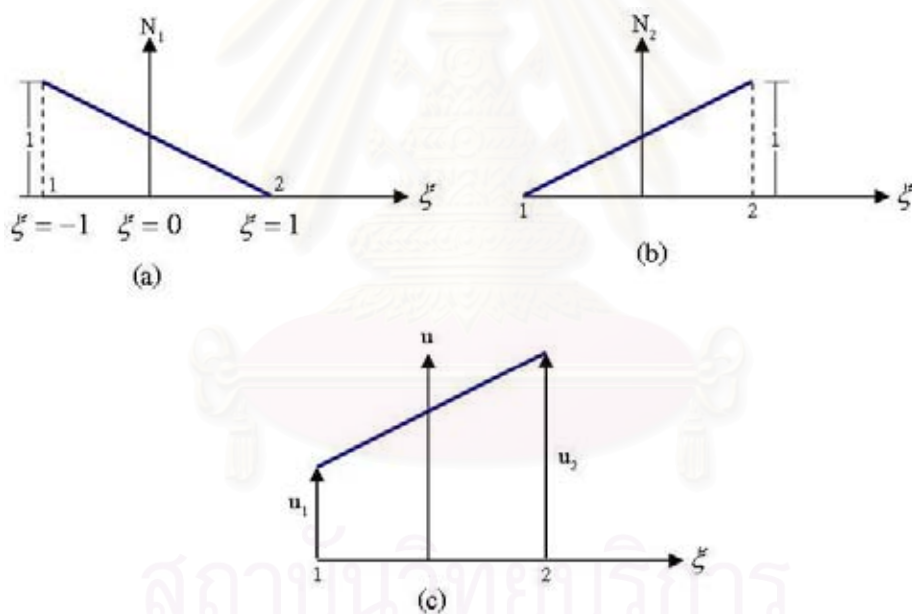
$$u = N_1(\xi)u_1 + N_2(\xi)u_2 \quad (3.9a)$$

เมื่อ u_1 และ u_2 เป็นค่าประจำโนดเฉพาะที่ 1 และ 2 ตามลำดับ

หรือเขียนอยู่ในรูปเมทริกซ์ได้เป็น

$$u = NU \quad (3.9b)$$

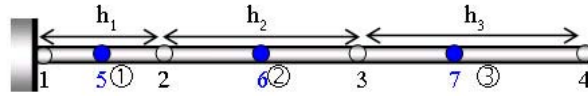
เมื่อ $N = [N_1(\xi), N_2(\xi)]$ และ $U^T = [u_1, u_2]$ โดยพิจารณารูปของค่า u ได้จากรูปที่ 3.4(c)



รูปที่ 3.4: ความสัมพันธ์ของฟังก์ชันรูปร่างเชิงเส้นใน 1 มิติ (a) กราฟความสัมพันธ์ของฟังก์ชันรูปร่าง N_1 (b) กราฟความสัมพันธ์ของฟังก์ชันรูปร่าง N_2 (c) กราฟความสัมพันธ์ของฟังก์ชันรูปร่าง u

สมการรูปร่างกำลังสอง สำหรับ 1 มิติ (quadratic shape function for one dimension)

ทำการแบ่งโดเมนออกเป็นเส้นขึ้นประกอบย่อย โดยให้แต่ละเส้นขึ้นประกอบมีโนดเฉพาะที่ 3 โนด ดังรูปที่ 3.5

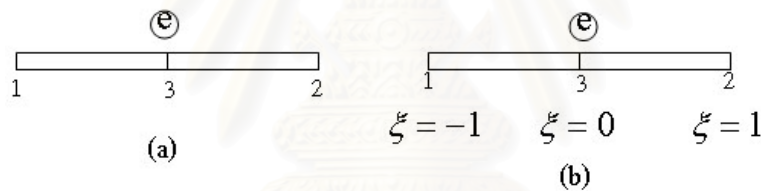


รูปที่ 3.5: เส้นขึ้นประกอบสำหรับฟังก์ชันรูปร่างแบบกำลังสอง

แปลงพิกัดของโดเมนให้อยู่ในระบบพิกัดธรรมชาติ ξ โดยกำหนด

$$\xi = \frac{2(x - x_3)}{x_2 - x_1} \quad (3.10)$$

โดยที่ x_3 เป็นโนดกึ่งกลางระหว่าง x_1 และ x_2 ซึ่งจะเห็นว่า $\xi = -1, 1$ และ 0 ที่โนดเฉพาะที่ 1, 2 และ 3 ตามลำดับ ดังรูปที่ 3.6(a) และ 3.6(b)



รูปที่ 3.6: ความสัมพันธ์ของฟังก์ชันรูปร่างแบบกำลังสองใน 1 มิติ (a) โนดเฉพาะในเส้นขึ้นประกอบย่อย (b) พิกัดมาตรฐานของเส้นขึ้นประกอบย่อย

แต่ถ้า x_3 ไม่ใช่โนดกึ่งกลางระหว่าง x_1 และ x_2 ให้แปลง x_3 ให้อยู่ในระบบพิกัดมาตรฐานโดยอาศัย สมการ 3.6 [56] จากทั้ง 2 กรณีจะได้ฟังก์ชันรูปร่างแบบกำลังสอง อยู่ในรูป

$$\begin{aligned} N_1(\xi) &= \frac{(\xi - \xi_3)(\xi - \xi_2)}{(\xi_1 - \xi_3)(\xi_1 - \xi_2)} = -\frac{1}{2}\xi(1 - \xi) \\ N_2(\xi) &= \frac{(\xi - \xi_1)(\xi - \xi_2)}{(\xi_3 - \xi_1)(\xi_3 - \xi_2)} = \frac{1}{2}\xi(1 + \xi) \\ N_3(\xi) &= \frac{(\xi - \xi_1)(\xi - \xi_3)}{(\xi_2 - \xi_1)(\xi_2 - \xi_3)} = (1 - \xi)(1 + \xi) \end{aligned} \quad (3.11)$$

เมื่อ ξ_1 เป็นพิกัดของโนด x_1 ในระบบพิกัดมาตรฐาน

ξ_2 เป็นพิกัดของโนด x_2 ในระบบพิกัดมาตรฐาน

ξ_3 เป็นฟังก์ชันของโนด x_3 ในระบบพิกัดมาตรฐาน
ในทำนองเดียวกันกับฟังก์ชันรูปร่างเชิงเส้น หากพิจารณาที่โนดเฉพาะที่ i

$$N_j(\xi) = \begin{cases} 0 & \text{เมื่อ } j \neq i \\ 1 & \text{เมื่อ } j = i \end{cases} \quad (3.12)$$

ซึ่งสอดคล้องกับคุณสมบัติที่สำคัญของฟังก์ชันรูปร่างคือสมการ 3.8 ที่ว่า $\sum_{i=1}^n N_i(\xi) = 1$ เมื่อ n เป็นจำนวนโนดเฉพาะที่ในแต่ละเส้นขึ้นประกอบและฟังก์ชันที่ใช้ประมาณค่าจะอยู่ในรูป

$$u = \sum_{i=1}^3 u_i N_i(\xi) \quad (3.13)$$

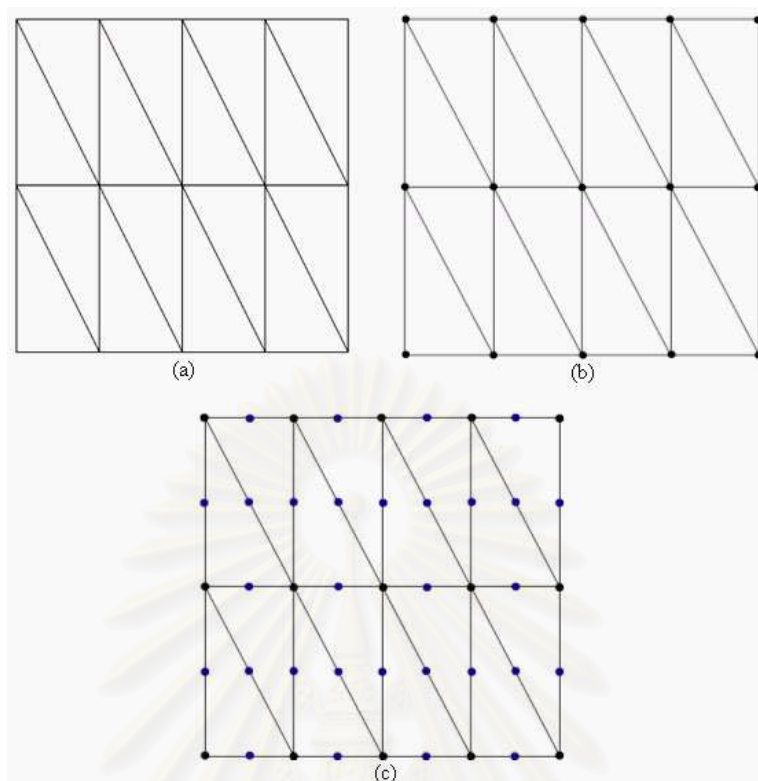
3.2.2 ระเบียบวิธีขึ้นประกอบอันตะสำหรับ 2 มิติ (finite element method for two dimensions)

สำหรับในวิทยานิพนธ์เล่มนี้ปัญหาที่พิจารณาจะเป็นปัญหาใน 2 มิติ ดังนั้นเพื่อให้เกิดความเข้าใจจะอธิบายแยกย่อยในแต่ละหัวข้อต่อไปนี้

1. การสร้างขึ้นประกอบย่อย
2. ระเบียบวิธีถ่วงน้ำหนักเศษตกค้าง
3. ฟังก์ชันรูปร่าง
4. การวิฤต
5. ระเบียบวิธีเทเลอร์-กาเลอร์คิน

3.2.3 การสร้างขึ้นประกอบย่อย (mesh generation)

โดยทั่วไปการแบ่งโดเมนปัญหาใน 2 มิติจะแบ่งโดเมนออกเป็นขึ้นประกอบย่อยรูปสามเหลี่ยมหรือรูปสี่เหลี่ยม แล้วแต่จะเลือกใช้สำหรับในวิทยานิพนธ์นี้จะแบ่งโดเมนออกเป็นขึ้นประกอบย่อยรูปสามเหลี่ยม ดังรูปที่ 3.7(a) ซึ่งมีอยู่หลายลักษณะเช่น ขึ้นประกอบย่อยรูปสามเหลี่ยมแบบเชิงเส้นคือขึ้นประกอบย่อยที่ประกอบด้วยโนดยอด (vertex node) เพียง 3 โหนดเท่านั้น ดังรูปที่ 3.7(b), ขึ้นประกอบย่อยรูปสามเหลี่ยมแบบกำลังสองคือขึ้นประกอบย่อยที่ประกอบด้วยโนดยอดและโนดกึ่งกลาง (midside node) รวมทั้งหมด 6 โหนดดังแสดงในรูปที่ 3.7(c)



รูปที่ 3.7: การแบ่งโดเมนย่อยสำหรับระเบียบวิธีขึ้นประกอบอันดับใน 2 มิติ (a) ขึ้นประกอบย่อยรูปสามเหลี่ยม (b) ขึ้นประกอบย่อยรูปสามเหลี่ยมชนิด 3 โหนด (c) ขึ้นประกอบย่อยรูปสามเหลี่ยมชนิด 6 โหนด

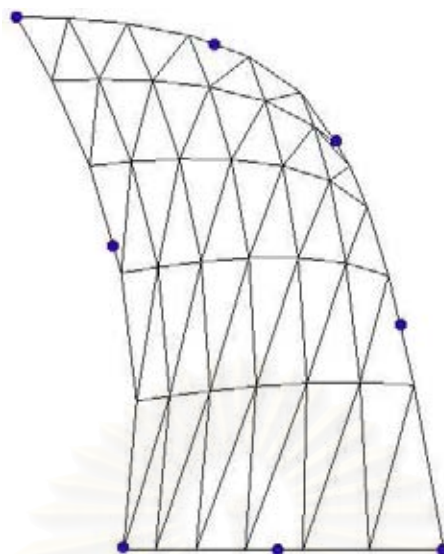
ในที่นี้จะใช้โปรแกรมสร้างขึ้นประกอบย่อยที่มีชื่อว่า GenGrid.cpp เพื่อหาพิกัดของโนดวงกว้างโดยอาศัยหลักการของฟังก์ชันรูปร่างที่อยู่ในรูป

$$x = \sum_{i=1}^n N_i(\xi, \eta) x_i \quad (3.14a)$$

และ

$$y = \sum_{i=1}^n N_i(\xi, \eta) y_i \quad (3.14b)$$

เมื่อ x_i และ y_i เป็นค่าของพิกัด x และ y ของโนดที่ขอบดังแสดงในรูปที่ 3.8, n เป็นจำนวนโนดที่ขอบ และ N_i เป็นฟังก์ชันรูปร่าง



รูปที่ 3.8: การกำหนดจุดเพื่อสร้างชิ้นประกอบย่อย

3.2.4 ระเบียบวิธีถ่วงน้ำหนักเศษตกค้าง (weighted residual method)

เป็นระเบียบวิธีเชิงตัวเลขสำหรับประมาณค่าผลเฉลยของสมการเชิงอนุพันธ์ (differential equation) หรือ สมการเชิงปริพันธ์ (integral equation) ที่อยู่ในรูป

$$\mathcal{F}(u) = P, x \in \Omega \quad (3.15)$$

โดยมีเงื่อนไขขอบ (boundary condition) เป็น

$$\mathcal{T}(u_0) = g, x \in \Gamma \quad (3.16)$$

เมื่อ u_0 เป็นผลเฉลยแท้จริง (exact solution)

กำหนด \vec{u} เป็นผลเฉลยประมาณค่า (approximate solution) อยู่ในรูป

$$\vec{u} = \sum_{k=1}^n u_k \phi_k(x) \quad (3.17)$$

เมื่อ u_k เป็นพารามิเตอร์ที่ทราบค่าประจำโนดที่ k

ϕ_k เป็นฟังก์ชันทดลอง (trial function)¹

แทนสมการ 3.17 ในสมการ 3.15 ทำให้พบว่าค่าทางซ้ายไม่เท่ากับค่าทางขวา เนื่องจากค่า \vec{u} เป็นค่าประมาณจึงมีเศษตกค้าง (residual) ε ดังนี้

$$\varepsilon = \mathcal{F}(\vec{u}) - P \quad (3.18)$$

¹บางครั้งอาจเรียกว่า ฟังก์ชันฐานหลัก (basis function) หรือ ฟังก์ชันรูปร่าง (shape function)

และ

$$\varepsilon \neq 0$$

ε จะมีค่าเป็นศูนย์ เมื่อแทนค่าผลเฉลยแท้จริงในสมการ 3.15 สำหรับระเบียบวิธีพิเศษตกค้างมีหลายระเบียบวิธี เช่น

1. ระเบียบวิธีการจัด (the collocation method)
2. ระเบียบวิธีกำลังสองน้อยสุด (the least-square method)
3. ระเบียบวิธีกาลเออร์คิน (Galerkin's method)

สามารถศึกษาเพิ่มเติมจาก [20, 23, 50, 52, 53, 54, 57]

ระเบียบวิธีการจัด (the collocation method) [54]

นิยามโดย

$$\int_{x_i-c}^{x_i+c} \Delta(x_i) d\Omega = 1 \quad (3.19)$$

เมื่อ c มีค่าน้อยๆ ($c \rightarrow 0$)

จากสมการ 3.18 กำหนดให้

$$\int_{\Omega} \Delta(x_i) (\mathcal{F}(\vec{u}) - P) d\Omega = 0 \quad (3.20)$$

ระเบียบวิธีกำลังน้อยที่สุด (the least-square method) จากสมการ 3.18 จะกำหนดได้

$$\int_{\Omega} (\mathcal{F}(\vec{u}) - P)^2 d\Omega = 0 \quad (3.21)$$

ระเบียบวิธีกาลเออร์คินถ่วงน้ำหนักเศษตกค้าง (weighted residual Galerkin method) จากสมการ 3.15 และ 3.17 โดยหลักการของระเบียบวิธีกาลเออร์คินถ่วงน้ำหนักเศษตกค้าง จะกำหนดให้

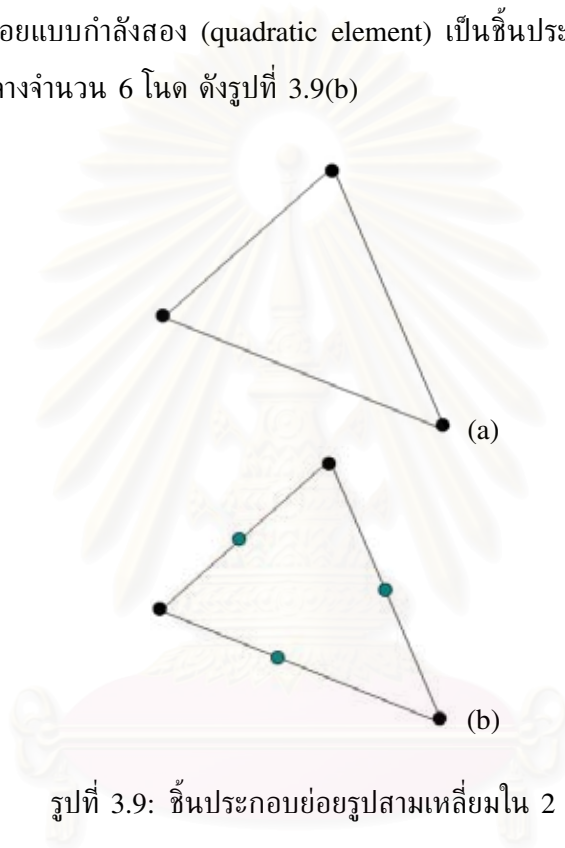
$$\int_{\Omega} \mathcal{W}(\mathcal{F}(\vec{u}) - P) d\Omega = 0 \quad (3.22)$$

เมื่อ $\mathcal{W} = \sum_{i=1}^n w_i \phi_i(x)$ โดยที่ w_i เป็นค่าสัมประสิทธิ์ประจำโนด และ n เป็นจำนวนโนดแต่ละชั้นประกอบย่อย

3.2.5 ฟังก์ชันรูปร่าง (shape function)

สำหรับในวิชานี้จะพิจารณาการแบ่งโดเมนออกเป็นชิ้นประกอบย่อยรูปสามเหลี่ยม ซึ่งจะพิจารณาใน 2 ลักษณะคือ

1. ชิ้นประกอบย่อยแบบเชิงเส้น (linear element) ซึ่งแต่ละชิ้นประกอบจะประกอบด้วยโนดยอด 3 โนด ดังรูปที่ 3.9(a)
2. ชิ้นประกอบย่อยแบบกำลังสอง (quadratic element) เป็นชิ้นประกอบที่ประกอบด้วยโนดยอดและโนดกึ่งกลางจำนวน 6 โนด ดังรูปที่ 3.9(b)



รูปที่ 3.9: ชิ้นประกอบย่อยรูปสามเหลี่ยมใน 2 มิติ

ฟังก์ชันรูปร่างเชิงเส้น (linear shape function) โดยทั่วไปการกำหนดฟังก์ชันประมาณค่าในช่วง (interpolation function) สำหรับชิ้นประกอบย่อยรูปสามเหลี่ยมมักจะแปลงระบบพิกัดทรงกระบอก (cylindrical coordinate system) (r, z) ให้อยู่ในระบบพิกัดมาตรฐาน (ξ, η) ดังรูปที่ 3.10 สำหรับความสัมพันธ์ระหว่างพิกัดคาร์ทีเซียนและพิกัดลาดเอียงจะกำหนดดังนี้

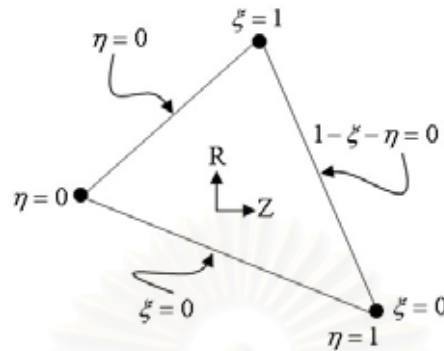
$$r = r_3 + (r_1 - r_3)\xi + (r_2 - r_3)\eta \quad (3.23a)$$

$$z = z_3 + (z_1 - z_3)\xi + (z_2 - z_3)\eta \quad (3.23b)$$

จัดรูปสมการ 3.23a และ 3.23b ใหม่จะได้

$$r = \xi r_1 + \eta r_2 + (1 - \xi - \eta)r_3 \quad (3.24a)$$

$$z = \xi z_1 + \eta z_2 + (1 - \xi - \eta) z_3 \quad (3.24b)$$



รูปที่ 3.10: พิกัดลาตเอียงสำหรับชิ้นประกอบย่อยรูปสามเหลี่ยมชนิด 3 โหนด

กำหนดให้ฟังก์ชันรูปร่างเชิงเส้น คือ

$$\begin{aligned} \psi_1(\xi, \eta) &= \xi \\ \psi_2(\xi, \eta) &= \eta \\ \psi_3(\xi, \eta) &= 1 - \xi - \eta \end{aligned} \quad (3.25)$$

ซึ่งจะเห็นว่า $\sum_{i=1}^3 \psi_i = 1$

พิจารณานอนุพันธ์ของฟังก์ชันรูปร่างเชิงเส้นเทียบกับ ξ และ η จะได้

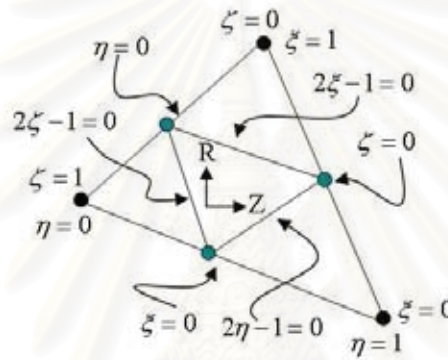
$$\begin{aligned} \frac{\partial \psi_1}{\partial \xi} &= 1 & \frac{\partial \psi_1}{\partial \eta} &= 0 \\ \frac{\partial \psi_2}{\partial \xi} &= 0 & \frac{\partial \psi_2}{\partial \eta} &= 1 \\ \frac{\partial \psi_3}{\partial \xi} &= -1 & \frac{\partial \psi_3}{\partial \eta} &= -1 \end{aligned} \quad (3.26)$$

ฟังก์ชันรูปร่างแบบกำลังสอง (quadratic shape function) ในบางปัญหาไม่สามารถที่จะประมาณค่าได้โดยฟังก์ชันรูปร่างเชิงเส้น จึงได้พัฒนาฟังก์ชันรูปร่างกำลังสองขึ้น โดยแปลงระบบพิกัดทรงกระบอก (r, z) ให้อยู่ในระบบพิกัดลาตเอียง (ξ, η) ดังรูปที่ 3.11 โดยมีความสัมพันธ์ดังนี้

$$\begin{aligned} r &= r_1 \phi_1(\xi, \eta) + r_2 \phi_2(\xi, \eta) + r_3 \phi_3(\xi, \eta) + r_4 \phi_4(\xi, \eta) + r_5 \phi_5(\xi, \eta) + r_6 \phi_6(\xi, \eta) \\ z &= z_1 \phi_1(\xi, \eta) + z_2 \phi_2(\xi, \eta) + z_3 \phi_3(\xi, \eta) + z_4 \phi_4(\xi, \eta) + z_5 \phi_5(\xi, \eta) + z_6 \phi_6(\xi, \eta) \end{aligned} \quad (3.27)$$

เมื่อฟังก์ชันรูปร่างแบบกำลังสองอยู่ในรูป

$$\begin{aligned}
 \phi_1(\xi, \eta) &= (1 - \xi - \eta)(1 - 2\xi - 2\eta) \\
 \phi_2(\xi, \eta) &= \xi(2\xi - 1) \\
 \phi_3(\xi, \eta) &= \eta(2\eta - 1) \\
 \phi_4(\xi, \eta) &= 4\xi(1 - \xi - \eta) \\
 \phi_5(\xi, \eta) &= 4\xi\eta \\
 \phi_6(\xi, \eta) &= 4\eta(1 - \xi - \eta)
 \end{aligned} \tag{3.28}$$



รูปที่ 3.11: พิกัดลาดเอียงสำหรับชิ้นประกอบย่อยรูปสามเหลี่ยมชนิด 6 โหนด

สำหรับในวิชานิพนธ์นี้จะใช้ฟังก์ชันรูปร่างเชิงเส้นในการประมาณค่าความดัน แต่ความเร็วและความเค้นจะใช้ฟังก์ชันรูปร่างแบบกำลังสองในการประมาณค่า

พิจารณาอนุพันธ์ย่อยของฟังก์ชันรูปร่างแบบกำลังสองเทียบกับ ξ และ η จะได้

$$\begin{aligned}
 \frac{\partial \phi_1}{\partial \xi} &= -3 + 4\xi + 4\eta & \frac{\partial \phi_1}{\partial \eta} &= -3 + 4\xi + 4\eta \\
 \frac{\partial \phi_2}{\partial \xi} &= -1 + 4\xi & \frac{\partial \phi_2}{\partial \eta} &= 0 \\
 \frac{\partial \phi_3}{\partial \xi} &= 0 & \frac{\partial \phi_3}{\partial \eta} &= -1 + 4\eta \\
 \frac{\partial \phi_4}{\partial \xi} &= 4(1 - 2\xi - \eta) & \frac{\partial \phi_4}{\partial \eta} &= -4\xi \\
 \frac{\partial \phi_5}{\partial \xi} &= 4\eta & \frac{\partial \phi_5}{\partial \eta} &= 4\xi \\
 \frac{\partial \phi_6}{\partial \xi} &= -4\eta & \frac{\partial \phi_6}{\partial \eta} &= 4(1 - \xi - 2\eta)
 \end{aligned} \tag{3.29}$$

กำหนดให้ N_i เป็นฟังก์ชันรูปร่าง ที่ขึ้นกับ $r(\xi, \eta)$, $z(\xi, \eta)$ โดยกฎลูกโซ่จะได้ว่า

$$\begin{aligned}\frac{\partial N_i}{\partial \xi} &= \frac{\partial N_i}{\partial r} \frac{\partial r}{\partial \xi} + \frac{\partial N_i}{\partial z} \frac{\partial z}{\partial \xi} \\ \frac{\partial N_i}{\partial \eta} &= \frac{\partial N_i}{\partial r} \frac{\partial r}{\partial \eta} + \frac{\partial N_i}{\partial z} \frac{\partial z}{\partial \eta}\end{aligned}\quad (3.30)$$

ระบบสมการ 3.30 สามารถเขียนอยู่ในรูปเมทริกซ์ได้เป็น

$$\begin{bmatrix} \frac{\partial N_i}{\partial \xi} \\ \frac{\partial N_i}{\partial \eta} \end{bmatrix} = \begin{bmatrix} \frac{\partial r}{\partial \xi} & \frac{\partial z}{\partial \xi} \\ \frac{\partial r}{\partial \eta} & \frac{\partial z}{\partial \eta} \end{bmatrix} \begin{bmatrix} \frac{\partial N_i}{\partial r} \\ \frac{\partial N_i}{\partial z} \end{bmatrix}\quad (3.31)$$

กำหนด เมทริกซ์จาโคเบียน (Jacobian matrix) J คือ

$$J = \begin{bmatrix} J_{11} & J_{12} \\ J_{21} & J_{22} \end{bmatrix} = \begin{bmatrix} \frac{\partial r}{\partial \xi} & \frac{\partial z}{\partial \xi} \\ \frac{\partial r}{\partial \eta} & \frac{\partial z}{\partial \eta} \end{bmatrix}$$

จึงได้

$$J = \begin{bmatrix} \sum_{i=1}^n r_i \frac{\partial N_i}{\partial \xi} & \sum_{i=1}^n z_i \frac{\partial N_i}{\partial \xi} \\ \sum_{i=1}^n r_i \frac{\partial N_i}{\partial \eta} & \sum_{i=1}^n z_i \frac{\partial N_i}{\partial \eta} \end{bmatrix}\quad (3.32)$$

เมื่อ n เป็นจำนวนโนดในชั้นประกอบย่อย และ N_i เป็นฟังก์ชันรูปร่างประจำโนดที่ i

จึงได้

$$\begin{bmatrix} \frac{\partial N_i}{\partial \xi} \\ \frac{\partial N_i}{\partial \eta} \end{bmatrix} = J \begin{bmatrix} \frac{\partial N_i}{\partial r} \\ \frac{\partial N_i}{\partial z} \end{bmatrix}$$

ดังนั้น

$$\begin{bmatrix} \frac{\partial N_i}{\partial r} \\ \frac{\partial N_i}{\partial z} \end{bmatrix} = J^{-1} \begin{bmatrix} \frac{\partial N_i}{\partial \xi} \\ \frac{\partial N_i}{\partial \eta} \end{bmatrix}\quad (3.33)$$

เนื่องจาก

$$J^{-1} = \frac{1}{\det J} \begin{bmatrix} J_{22} & -J_{12} \\ -J_{21} & J_{11} \end{bmatrix}$$

แทนค่า J^{-1} ในสมการ 3.33 จะได้ว่า

$$\begin{bmatrix} \frac{\partial N_i}{\partial r} \\ \frac{\partial N_i}{\partial z} \end{bmatrix} = \frac{1}{\det J} \begin{bmatrix} J_{22} & -J_{12} \\ -J_{21} & J_{11} \end{bmatrix} \begin{bmatrix} \frac{\partial N_i}{\partial \xi} \\ \frac{\partial N_i}{\partial \eta} \end{bmatrix}\quad (3.34)$$

3.2.6 ระเบียบวิธีเทย์เลอร์-กาลอร์คิน (Taylor-Galerkin method)

ระเบียบวิธีเทย์เลอร์กาลอร์คินอาศัยการกระจายอนุกรมเทย์เลอร์ (Taylor series expansion) ในเวลา และหลักการขึ้นประกอบอันตะกาลอร์คินในการกระจายระยะ (space) พิจารณานิพจน์ของความดัน ความเร็ว และความเค้นที่อยู่ในรูปของฟังก์ชันรูปร่าง

$$\text{จะได้ว่า } p = \sum_{i=1}^3 p_i \psi_i, \quad u = \sum_{i=1}^6 u_i \phi_i \quad \text{และ} \quad \tau = \sum_{i=1}^6 \tau_i \phi_i$$

ดังนั้น

$$\begin{aligned} \frac{\partial p}{\partial r} &= \sum_{i=1}^3 p_i \frac{\partial \psi_i}{\partial r} & \frac{\partial p}{\partial z} &= \sum_{i=1}^3 p_i \frac{\partial \psi_i}{\partial z} \\ \frac{\partial u}{\partial r} &= \sum_{i=1}^6 u_i \frac{\partial \phi_i}{\partial r} & \frac{\partial u}{\partial z} &= \sum_{i=1}^6 u_i \frac{\partial \phi_i}{\partial z} \\ \frac{\partial \tau}{\partial r} &= \sum_{i=1}^6 \tau_i \frac{\partial \phi_i}{\partial r} & \frac{\partial \tau}{\partial z} &= \sum_{i=1}^6 \tau_i \frac{\partial \phi_i}{\partial z} \end{aligned} \quad (3.35)$$

จากสมการ 3.34 และสมการ 3.35 จะได้

$$\begin{aligned} \frac{\partial p}{\partial r} &= \sum_{i=1}^3 p_i \frac{1}{\det J} (J_{22} \frac{\partial \psi_i}{\partial \xi} - J_{12} \frac{\partial \psi_i}{\partial \eta}) \\ \frac{\partial p}{\partial z} &= \sum_{i=1}^3 p_i \frac{1}{\det J} (-J_{21} \frac{\partial \psi_i}{\partial \xi} + J_{11} \frac{\partial \psi_i}{\partial \eta}) \\ \frac{\partial u}{\partial r} &= \sum_{i=1}^6 u_i \frac{1}{\det J} (J_{22} \frac{\partial \phi_i}{\partial \xi} - J_{12} \frac{\partial \phi_i}{\partial \eta}) \\ \frac{\partial u}{\partial z} &= \sum_{i=1}^6 u_i \frac{1}{\det J} (-J_{21} \frac{\partial \phi_i}{\partial \xi} + J_{11} \frac{\partial \phi_i}{\partial \eta}) \\ \frac{\partial \tau}{\partial r} &= \sum_{i=1}^6 \tau_i \frac{1}{\det J} (J_{22} \frac{\partial \phi_i}{\partial \xi} - J_{12} \frac{\partial \phi_i}{\partial \eta}) \\ \frac{\partial \tau}{\partial z} &= \sum_{i=1}^6 \tau_i \frac{1}{\det J} (-J_{21} \frac{\partial \phi_i}{\partial \xi} + J_{11} \frac{\partial \phi_i}{\partial \eta}) \end{aligned} \quad (3.36)$$

เนื่องจาก $d\Omega = r dr dz$ เมื่อย้ายพิกัดจะได้ว่า $d\Omega = r(\det J) d\xi d\eta = r(\det J) d\tilde{\Omega}$

ดังนั้น

$$\int_{\Omega} f(r, z) d\Omega = \int_{\tilde{\Omega}} f(\xi, \eta) r(\det J) d\tilde{\Omega} \quad (3.37)$$

สำหรับระเบียบวิธีเทย์เลอร์-กาลอร์คิน ที่แก้ระบบสมการตามหัวข้อที่ 2.3 จะอธิบายอย่างละเอียดในหัวข้อ 3.3.1 และหัวข้อ 3.3.2 อีกครั้งและศึกษาเพิ่มเติมได้จาก [5, 6, 7, 11, 12, 13, 14, 15, 37, 38, 39, 58, 59, 60]

3.3 ระเบียบวิธีเชิงตัวเลขสำหรับการเคลือบเส้นลวด (Numerical method for wire coating flow)

ปัญหาการไหลเคลือบเส้นลวดของพอลิเมอร์หลอมเหลว เป็นปัญหาที่อยู่ในรูปสมการเชิงอนุพันธ์ย่อยไม่เชิงเส้น จึงเป็นการยากต่อการหาผลเฉลยแม่นยำตรงดั่งนั้นระเบียบวิธีการเชิงตัวเลขขึ้นประกอบอันตะจึงนำมาใช้ในการทำนายผลเฉลยของปัญหานี้ โดยพิจารณาในระบบพิกัดทรงกระบอก 2 มิติและแยกพิจารณาดังนี้

3.3.1 ระเบียบวิธีเชิงตัวเลขกับสมการควบคุม

ใช้ระเบียบวิธี FEM โดยนำหลักการเซมิอิมพลีซิท เทย์เลอร์กาเลอร์คินเพรชเซอร์คอร์ดซ์เรคชั่นมาแก้ระบบสมการ 2.41 และ 2.42 ดังรายละเอียดต่อไปนี้

ระเบียบวิธีเทย์เลอร์-กาเลอร์คิน

กระจายเทอมความเร็วโดยใช้อนุกรมเทย์เลอร์

$$\vec{U}^{n+1} = \vec{U}^n + \Delta t \frac{\partial \vec{U}^n}{\partial t} + \frac{\Delta t^2}{2} \frac{\partial^2 \vec{U}^n}{\partial t^2} + \dots \quad (3.38)$$

จากหลักการเวลาครึ่งขั้น (half time step)

$$\vec{U}^{n+\frac{1}{2}} = \frac{1}{2} (\vec{U}^{n+1} + \vec{U}^n) \quad (3.39)$$

หรืออาจกล่าวได้ว่า

$$\vec{U}^{n+1} = 2\vec{U}^{n+\frac{1}{2}} - \vec{U}^n \quad (3.40)$$

แทนค่า \vec{U}^{n+1} ในสมการ 3.38 และพิจารณาการกระจายอนุกรมเทย์เลอร์เพียงอันดับที่ 1 จะได้

$$\frac{\partial \vec{U}^n}{\partial t} = \frac{2}{\Delta t} (\vec{U}^{n+\frac{1}{2}} - \vec{U}^n) \quad (3.41)$$

ใช้หลักการเซมิอิมพลีซิท (semi-implicit) เพื่อปรับนิพจน์การแพร่ (diffusion term) เป็น

$$\nabla \cdot \tilde{T} = \frac{1}{2} (\nabla \cdot \tilde{T}^{n+\frac{1}{2}} + \nabla \cdot \tilde{T}^n) \quad (3.42)$$

แทนค่าสมการ 3.41 และ 3.42 ในสมการ 2.41 จะได้

$$\frac{2Re}{\Delta t} (\vec{U}^{n+\frac{1}{2}} - \vec{U}^n) = \frac{1}{2} (\nabla \cdot \tilde{T}^{n+\frac{1}{2}} - \nabla \cdot \tilde{T}^n) + [\nabla \cdot \tilde{T} - Re\vec{U} \cdot \nabla U - \nabla p]^n \quad (3.43)$$

พิจารณาอนุพันธ์ย่อยเทียบกับเวลา t ของการกระจายเทย์เลอร์ในสมการ 3.38 เป็น

$$\frac{\partial \vec{U}^{n+1}}{\partial t} = \frac{\partial \vec{U}^n}{\partial t} + \Delta t \frac{\partial^2 \vec{U}^n}{\partial t^2} + \dots \quad (3.44)$$

โดยหลักการเวลาครึ่งขั้น

$$\frac{\partial \vec{U}^{n+\frac{1}{2}}}{\partial t} = \frac{1}{2} \left(\frac{\partial \vec{U}^{n+1}}{\partial t} + \frac{\partial \vec{U}^n}{\partial t} \right) \quad (3.45)$$

นำสมการ 3.44 ซึ่งประมาณค่าในอันดับ $O(\Delta t)$ และสมการ 3.41 แทนค่าในสมการ 3.45 จะได้

$$\frac{\partial \vec{U}^{n+\frac{1}{2}}}{\partial t} = \frac{1}{\Delta t} (\vec{U}^{n+1} - \vec{U}^n) \quad (3.46)$$

จากสมการ 2.41 พิจารณานิพจน์ความเร็วในครึ่งขั้นเวลา ได้เป็น

$$\frac{Re}{\Delta t} (\vec{U}^{n+1} - \vec{U}^n) = [\nabla \cdot \tilde{T} - Re\vec{U} \cdot \nabla U]^{n+\frac{1}{2}} - \nabla p^{n+1} \quad (3.47)$$

จากหลักการเครงนิโคลสัน (Crank-Nicolson) สำหรับประมาณค่าความดัน จะได้

$$p^{n+1} = (1 - \theta)p^n + \theta p^{n+1} \quad (3.48)$$

เมื่อ $0 \leq \theta \leq 1$

แทนค่าสมการ 3.48 ในสมการ 3.47 พร้อมทั้งจัดนิพจน์ความเร็วด้านซ้ายของสมการใหม่ ได้ว่า

$$\frac{Re}{\Delta t} (\vec{U}^{n+1} - \vec{U}^*) + \frac{Re}{\Delta t} (\vec{U}^* - \vec{U}^n) = [\nabla \cdot \tilde{T} - Re\vec{U} \cdot \nabla U]^{n+\frac{1}{2}} - \nabla p^n - \theta \nabla q^{n+1} \quad (3.49)$$

เมื่อ $q^{n+1} = p^{n+1} - p^n$

จากสมการ 3.49 ใช้ระเบียบวิธีการแบ่งแยก (split method) เพื่อหาผลเฉลยได้เป็น

$$\frac{Re}{\Delta t} (\vec{U}^* - \vec{U}^n) = [\nabla \cdot \tilde{T} - Re\vec{U} \cdot \nabla U]^{n+\frac{1}{2}} - \nabla p^n \quad (3.50)$$

และ

$$\frac{Re}{\Delta t} (\vec{U}^{n+1} - \vec{U}^*) = -\theta \nabla q^{n+1} \quad (3.51)$$

เมื่อพิจารณาพจน์การแพร่ในสมการ 3.50 ในลักษณะเดียวกับสมการ 3.42

$$\frac{Re}{\Delta t} (\vec{U}^* - \vec{U}^n) = \frac{1}{2} (\nabla \cdot \tilde{T}^* - \nabla \cdot \tilde{T}^n) + \nabla \cdot \tilde{T}^n - [Re\vec{U} \cdot \nabla U]^{n+\frac{1}{2}} - \nabla p^n \quad (3.52)$$

พิจารณาไดเวอร์เจนต์ (divergence) ของสมการ 3.51 และจากสมการ 2.42 จะได้

$$\theta \nabla^2 q^{n+1} = \frac{Re}{\Delta t} \nabla \cdot \vec{U}^* \quad (3.53)$$

3.3.2 ระเบียบวิธีเชิงตัวเลขกับตัวแบบองค์ประกอบ

จากระบบสมการตัวแบบแผนเทียบเทนเนอร์ (PTT model) ที่ได้แปลงให้อยู่ในระบบไร้หน่วย ในหัวข้อ 2.3 (หน้า 17) ได้สมการ 2.44 ในทำนองเดียวกันกับหัวข้อที่ 3.3.1 เมื่อกระจายความเค้นด้วยอนุกรมเทย์เลอร์ร่วมกับหลักการเวลาครึ่งขั้น ณ ครึ่งขั้นเวลา $n + \frac{1}{2}$ จะได้ สมการ 2.44 อยู่ในรูป

$$\begin{aligned} \frac{2We}{\Delta t} (\tilde{\tau}^{n+\frac{1}{2}} - \tilde{\tau}^n) &= [2\mu_V \tilde{D} - f\tilde{\tau}]^n \\ &- We \left\{ \vec{U} \cdot \nabla \tilde{\tau} - \tilde{\tau} \cdot \nabla \vec{U} - (\tilde{\tau} \cdot \nabla \vec{U})^\dagger + \xi[(\tilde{D} \cdot \tilde{\tau}) + (\tilde{D} \cdot \tilde{\tau})^\dagger] \right\}^n \end{aligned} \quad (3.54)$$

และเมื่อพิจารณา ณ เวลา $n + 1$ จะได้ว่า

$$\begin{aligned} \frac{We}{\Delta t} (\tilde{\tau}^{n+1} - \tilde{\tau}^n) &= [2\mu_V \tilde{D} - f\tilde{\tau}]^{n+\frac{1}{2}} \\ &- We \left\{ \vec{U} \cdot \nabla \tilde{\tau} - \tilde{\tau} \cdot \nabla \vec{U} - (\tilde{\tau} \cdot \nabla \vec{U})^\dagger + \xi[(\tilde{D} \cdot \tilde{\tau}) + (\tilde{D} \cdot \tilde{\tau})^\dagger] \right\}^{n+\frac{1}{2}} \end{aligned} \quad (3.55)$$

3.3.3 ระเบียบวิธีกาลอ์คิน (Galerkin method)

จากหัวข้อ 3.3.1 และ 3.3.2 สรุปลำดับขั้นในการคำนวณได้ดังจะกล่าวต่อไป เมื่อแทนนิพจน์ของความเค้น $\tilde{T} = \tilde{\tau} + 2\mu_N \tilde{D}$ ลงในสมการต่างๆ พร้อมทั้งจัดรูปใหม่จะได้ขั้นตอนตามลำดับขั้นต่อไปนี้ และเรียกกระบวนการนี้ว่า เซมิอิมพลิตเพรสเชอร์คอร์เรกชัน (semi-implicit pressure correction)

ลำดับขั้นที่ 1a คำนวณเพื่อทำนายหาความเร็วและความเค้น

$$\frac{2Re}{\Delta t} (\vec{U}^{n+\frac{1}{2}} - \vec{U}^n) = \left[\nabla \cdot (\tilde{\tau} + 2\mu_N \tilde{D}) - Re\vec{U} \cdot \nabla U - \nabla p \right]^n + \mu_N \nabla \cdot (\tilde{D}^{n+\frac{1}{2}} - \tilde{D}^n) \quad (3.56a)$$

$$\begin{aligned} \frac{2We}{\Delta t} (\tilde{\tau}^{n+\frac{1}{2}} - \tilde{\tau}^n) &= [2\mu_V \tilde{D} - f\tilde{\tau}]^n \\ &- We \left\{ \vec{U} \cdot \nabla \tilde{\tau} - \tilde{\tau} \cdot \nabla \vec{U} - (\tilde{\tau} \cdot \nabla \vec{U})^\dagger + \xi[(\tilde{D} \cdot \tilde{\tau}) + (\tilde{D} \cdot \tilde{\tau})^\dagger] \right\}^n \end{aligned} \quad (3.56b)$$

ลำดับขั้นที่ 1b คำนวณเพื่อทำนายหาความเร็วและความเค้น

$$\frac{Re}{\Delta t} (\vec{U}^* - \vec{U}^n) = \left[\nabla \cdot \tilde{\tau} - Re\vec{U} \cdot \nabla U \right]^{n+\frac{1}{2}} + \left[\nabla \cdot (2\mu_N \tilde{D}) - \nabla p \right]^n + \nabla \cdot (\tilde{D}^* - \tilde{D}^n) \quad (3.57a)$$

$$\begin{aligned} \frac{We}{\Delta t} (\tilde{\tau}^{n+1} - \tilde{\tau}^n) &= [2\mu_V \tilde{D} - f\tilde{\tau}]^{n+\frac{1}{2}} \\ &- We \left\{ \vec{U} \cdot \nabla \tilde{\tau} - \tilde{\tau} \cdot \nabla \vec{U} - (\tilde{\tau} \cdot \nabla \vec{U})^\dagger + \xi[(\tilde{D} \cdot \tilde{\tau}) + (\tilde{D} \cdot \tilde{\tau})^\dagger] \right\}^{n+\frac{1}{2}} \end{aligned} \quad (3.57b)$$

ลำดับขั้นที่ 2 คำนวณเพื่อหาความดัน

$$\theta \nabla^2 q^{n+1} = \frac{Re}{\Delta t} \nabla \cdot \vec{U}^* \quad (3.58)$$

ลำดับขั้นที่ 3 คำนวณเพื่อปรับความเร็วให้ถูกต้อง

$$\frac{Re}{\Delta t} (\vec{U}^{n+1} - \vec{U}^*) = -\theta \nabla q^{n+1} \quad (3.59)$$

เมื่อ $q^{n+1} = p^{n+1} - p^n$

ในวิชยานิพนธ์นี้จะพิจารณาปัญหาการไหลเคลือบเส้นลวดในสองมิติ พิจารณาเฉพาะในทิศทาง (r,z)

นิพจน์ต่างในสมการควบคุม

พิจารณาส่วนประกอบแนวรัศมี (r-component) ในแต่ละนิพจน์จะได้

$$(\nabla \cdot \tilde{\tau})_r = \frac{\partial \tau_{rr}}{\partial r} + \frac{1}{r}(\tau_{rr} - \tau_{\theta\theta}) + \frac{\partial \tau_{rz}}{\partial z} \quad (3.60a)$$

$$(\vec{U} \cdot \nabla U)_r = u_r \frac{\partial u_r}{\partial r} + v_z \frac{\partial u_r}{\partial z} \quad (3.60b)$$

$$(\nabla \cdot \tilde{D})_r = \frac{1}{2} \left\{ 2 \frac{\partial^2 u_r}{\partial r^2} + \frac{1}{r} \left(2 \frac{\partial u_r}{\partial r} - 2 \frac{u_r}{r} \right) + \left(\frac{\partial^2 u_r}{\partial z^2} + \frac{\partial^2 v_z}{\partial z \partial r} \right) \right\} \quad (3.60c)$$

พิจารณาส่วนประกอบตามความยาว z (z-component) ในแต่ละนิพจน์จะได้

$$(\nabla \cdot \tilde{\tau})_z = \frac{\partial \tau_{rz}}{\partial r} + \frac{1}{r} \tau_{rz} + \frac{\partial \tau_{zz}}{\partial z} \quad (3.61a)$$

$$(\vec{U} \cdot \nabla U)_z = u_r \frac{\partial v_z}{\partial r} + v_z \frac{\partial v_z}{\partial z} \quad (3.61b)$$

$$(\nabla \cdot \tilde{D})_z = \frac{1}{2} \left\{ \left(\frac{\partial^2 v_z}{\partial r^2} + \frac{\partial^2 u_r}{\partial r \partial z} \right) + \frac{1}{r} \left(\frac{\partial v_z}{\partial r} + \frac{\partial u_r}{\partial z} \right) + 2 \frac{\partial^2 v_z}{\partial z^2} \right\} \quad (3.61c)$$

นิพจน์ต่างในสมการตัวแบบองค์ประกอบ

พิจารณาส่วนประกอบในทิศ rr (rr-component) ในแต่ละนิพจน์จะได้

$$(\vec{U} \cdot \nabla \tilde{\tau})_{rr} = u_r \frac{\partial \tau_{rr}}{\partial r} + v_z \frac{\partial \tau_{rr}}{\partial z} \quad (3.62a)$$

$$(\tilde{\tau} \cdot \nabla \vec{U})_{rr} = \tau_{rr} \frac{\partial u_r}{\partial r} + \tau_{rz} \frac{\partial u_r}{\partial z} \quad (3.62b)$$

$$(\nabla \vec{U}^\dagger \cdot \tilde{\tau})_{rr} = \tau_{rr} \frac{\partial u_r}{\partial r} + \tau_{rz} \frac{\partial u_r}{\partial z} \quad (3.62c)$$

$$(\tilde{D} \cdot \tilde{\tau} + (\tilde{D} \cdot \tilde{\tau})^\dagger)_{rr} = 2\tau_{rr} \frac{\partial u_r}{\partial r} \quad (3.62d)$$

พิจารณาส่วนประกอบในทิศ rz (rz -component) ในแต่ละนิพจน์จะได้

$$\left(\vec{U} \cdot \nabla \vec{\tau}\right)_{rz} = u_r \frac{\partial \tau_{rz}}{\partial r} + v_z \frac{\partial \tau_{rz}}{\partial z} \quad (3.63a)$$

$$\left(\vec{\tau} \cdot \nabla \vec{U}\right)_{rz} = \tau_{rr} \frac{\partial v_z}{\partial r} + \tau_{rz} \frac{\partial v_z}{\partial z} \quad (3.63b)$$

$$\left(\nabla \vec{U}^\dagger \cdot \vec{\tau}\right)_{rz} = \tau_{rz} \frac{\partial u_r}{\partial r} + \tau_{zz} \frac{\partial u_r}{\partial z} \quad (3.63c)$$

$$\left(\tilde{D} \cdot \vec{\tau} + (\tilde{D} \cdot \vec{\tau})^\dagger\right)_{rz} = \tau_{rz} \left(\frac{\partial u_r}{\partial z} + \frac{\partial v_z}{\partial r}\right) \quad (3.63d)$$

พิจารณาส่วนประกอบในทิศ zz (zz -component) ในแต่ละนิพจน์จะได้

$$\left(\vec{U} \cdot \nabla \vec{\tau}\right)_{zz} = u_r \frac{\partial \tau_{zz}}{\partial r} + v_z \frac{\partial \tau_{zz}}{\partial z} \quad (3.64a)$$

$$\left(\vec{\tau} \cdot \nabla \vec{U}\right)_{zz} = \tau_{rz} \frac{\partial v_z}{\partial r} + \tau_{zz} \frac{\partial v_z}{\partial z} \quad (3.64b)$$

$$\left(\nabla \vec{U}^\dagger \cdot \vec{\tau}\right)_{zz} = \tau_{rz} \frac{\partial u_r}{\partial r} + \tau_{zz} \frac{\partial u_r}{\partial z} \quad (3.64c)$$

$$\left(\tilde{D} \cdot \vec{\tau} + (\tilde{D} \cdot \vec{\tau})^\dagger\right)_{zz} = 2\tau_{zz} \frac{\partial v_z}{\partial z} \quad (3.64d)$$

พิจารณาส่วนประกอบในทิศ $\theta\theta$ ($\theta\theta$ -component) ในแต่ละนิพจน์จะได้

$$\left(\vec{U} \cdot \nabla \vec{\tau}\right)_{\theta\theta} = u_r \frac{\partial \tau_{\theta\theta}}{\partial r} + v_z \frac{\partial \tau_{\theta\theta}}{\partial z} \quad (3.65a)$$

$$\left(\vec{\tau} \cdot \nabla \vec{U}\right)_{\theta\theta} = \tau_{\theta\theta} \frac{u_r}{r} \quad (3.65b)$$

$$\left(\nabla \vec{U}^\dagger \cdot \vec{\tau}\right)_{\theta\theta} = \tau_{\theta\theta} \frac{u_r}{r} \quad (3.65c)$$

$$\left(\tilde{D} \cdot \vec{\tau} + (\tilde{D} \cdot \vec{\tau})^\dagger\right)_{\theta\theta} = 2\tau_{\theta\theta} \frac{u_r}{r} \quad (3.65d)$$

ใช้ระเบียบวิธีกัลเลอร์คินกับทุกลำดับชั้น โดยสำหรับความเร็วและความเค้นจะใช้ฟังก์ชันรูปร่างกำลังสองซึ่งขึ้นประกอบย่อยเป็นรูปสามเหลี่ยมชนิด 6 โหนด ส่วนความดันจะใช้ฟังก์ชันรูปร่างเชิงเส้นซึ่งขึ้นประกอบย่อยเป็นรูปสามเหลี่ยมชนิด 3 โหนด

พิจารณา ลำดับชั้นที่ 1 ใช้สูตรกัลเลอร์คินอย่างอ่อนในส่วน r -component จากสมการ 3.56a จะได้

$$\begin{aligned} \frac{2Re}{\Delta t} \int_{\Omega} \phi \hat{U}_r d\Omega = & \left[\int_{\Omega} \phi \left((\nabla \cdot \vec{\tau})_r + 2\mu_N (\nabla \cdot \tilde{D})_r - Re(\vec{U} \cdot \nabla U)_r - (\nabla p)_r \right) d\Omega \right]^n \\ & + \mu_N \int_{\Omega} \phi \left((\nabla \cdot \tilde{D})_r^{n+\frac{1}{2}} - (\nabla \cdot \tilde{D})_r^n \right) d\Omega \quad (3.66) \end{aligned}$$

เมื่อ $\hat{U}_r = (\vec{U}^{n+\frac{1}{2}} - \vec{U}^n)_r$ และ $d\Omega = r dr dz$

พิจารณา $\int_{\Omega} \phi(\nabla \cdot \tilde{\tau})_r d\Omega$ จากสมการ 3.60a จะได้

$$\int_{\Omega} \phi(\nabla \cdot \tilde{\tau})_r d\Omega = \int_{\Omega} \phi \left(\frac{\partial \tau_{rr}}{\partial r} + \frac{1}{r}(\tau_{rr} - \tau_{\theta\theta}) + \frac{\partial \tau_{rz}}{\partial z} \right) d\Omega \quad (3.67)$$

จากทฤษฎีไดเวอร์เจนซ์ (divergence theorem) จะได้

$$\int_{\Omega} \phi \frac{\partial \tau_{rr}}{\partial r} d\Omega = - \int_{\Omega} \tau_{rr} \frac{\partial \phi}{\partial r} d\Omega + \int_{\Gamma} \phi \tau_{rr} \cdot n_r d\Gamma \quad (3.68)$$

$$\int_{\Omega} \phi \frac{\partial \tau_{rz}}{\partial z} d\Omega = - \int_{\Omega} \tau_{rz} \frac{\partial \phi}{\partial z} d\Omega + \int_{\Gamma} \phi \tau_{rz} \cdot n_r d\Gamma \quad (3.69)$$

แทนสมการ 3.68 และ 3.69 ลงในสมการ 3.67 ได้

$$\int_{\Omega} \phi(\nabla \cdot \tilde{\tau})_r d\Omega = - \int_{\Omega} \tau_{rr} \frac{\partial \phi}{\partial r} d\Omega + \int_{\Omega} \frac{1}{r}(\tau_{rr} - \tau_{\theta\theta}) \phi d\Omega - \int_{\Omega} \tau_{rz} \frac{\partial \phi}{\partial z} d\Omega + \text{boundary terms} \quad (3.70)$$

แทนค่า $\phi = \sum_{i=1}^6 \phi_i \varphi_i$, $\tau_k = \sum_{i=1}^6 \phi_i \tau_{ki}$ เมื่อ $k = rr, rz, zz, \theta\theta$ จะได้

$$\begin{aligned} \int_{\Omega} \phi(\nabla \cdot \tilde{\tau})_r d\Omega = & - \sum_{i=1}^6 \sum_{j=1}^6 \varphi_j \int_{\Omega} \phi_i \frac{\partial \phi_j}{\partial r} - \frac{1}{r} \phi_i \phi_j d\Omega \tau_{rri} - \sum_{i=1}^6 \sum_{j=1}^6 \varphi_j \int_{\Omega} \frac{1}{r} \phi_i \phi_j d\Omega \tau_{\theta\theta i} \\ & - \sum_{i=1}^6 \sum_{j=1}^6 \varphi_j \int_{\Omega} \phi_i \frac{\partial \phi_j}{\partial z} d\Omega \tau_{rzi} + \text{boundary terms} \quad (3.71) \end{aligned}$$

พิจารณา $\int_{\Omega} \phi(\nabla \cdot \tilde{D})_r d\Omega$ และจากสมการ 3.60c จะได้

$$\int_{\Omega} \phi(\nabla \cdot \tilde{D})_r d\Omega = \frac{1}{2} \int_{\Omega} \phi \left\{ 2 \frac{\partial^2 u_r}{\partial r^2} + \frac{1}{r} \left(2 \frac{\partial u_r}{\partial r} - 2 \frac{u_r}{r} \right) + \left(\frac{\partial^2 u_r}{\partial z^2} + \frac{\partial^2 v_z}{\partial z \partial r} \right) \right\} d\Omega \quad (3.72)$$

โดยทฤษฎีไดเวอร์เจนซ์ (divergence theorem) จะได้

$$\int_{\Omega} \phi \frac{\partial^2 u_r}{\partial r^2} d\Omega = - \int_{\Omega} \frac{\partial u_r}{\partial r} \frac{\partial \phi}{\partial r} d\Omega - \int_{\Omega} \frac{1}{r} \phi \frac{\partial u_r}{\partial r} d\Omega + \int_{\Gamma} \phi \frac{\partial u_r}{\partial r} \cdot n_r d\Gamma \quad (3.73a)$$

$$\int_{\Omega} \phi \frac{\partial^2 u_r}{\partial z^2} d\Omega = - \int_{\Omega} \frac{\partial u_r}{\partial z} \frac{\partial \phi}{\partial z} d\Omega + \int_{\Gamma} \phi \frac{\partial u_r}{\partial z} \cdot n_r d\Gamma \quad (3.73b)$$

$$\int_{\Omega} \phi \frac{\partial^2 v_z}{\partial z \partial r} d\Omega = - \int_{\Omega} \frac{\partial v_z}{\partial r} \frac{\partial \phi}{\partial z} d\Omega + \int_{\Gamma} \phi \frac{\partial v_z}{\partial r} \cdot n_r d\Gamma \quad (3.73c)$$

แทนค่าสมการ 3.73a - 3.73c ในสมการ 3.72 จะได้

$$\int_{\Omega} \phi (\nabla \cdot \tilde{D})_r d\Omega = -\frac{1}{2} \int_{\Omega} 2 \frac{\partial u_r}{\partial r} \frac{\partial \phi}{\partial r} + \frac{2}{r^2} \phi u_r + \frac{\partial u_r}{\partial z} \frac{\partial \phi}{\partial z} d\Omega - \frac{1}{2} \int_{\Omega} \frac{\partial v_z}{\partial r} \frac{\partial \phi}{\partial z} d\Omega$$

+ **boundary terms** (3.74)

แทนค่า $\phi = \sum_{i=1}^6 \phi_i \varphi_i$, $u_t = \sum_{i=1}^6 \phi_i u_{t_i}$ เมื่อ $t = r, z$ ในสมการ 3.74 จะได้

$$\int_{\Omega} \phi (\nabla \cdot \tilde{D})_r d\Omega = -\frac{1}{2} \sum_{i=1}^6 \sum_{j=1}^6 \varphi_j \int_{\Omega} 2 \frac{\partial \phi_i}{\partial r} \frac{\partial \phi_j}{\partial r} + \frac{2}{r^2} \phi_i \phi_j + \frac{\partial \phi_i}{\partial z} \frac{\partial \phi_j}{\partial z} d\Omega u_{r_i}$$

$$- \frac{1}{2} \sum_{i=1}^6 \sum_{j=1}^6 \varphi_j \int_{\Omega} \frac{\partial \phi_i}{\partial r} \frac{\partial \phi_j}{\partial z} d\Omega u_{z_i} + \text{boundary terms} \quad (3.75)$$

พิจารณา $\int_{\Omega} \phi (\vec{U} \cdot \nabla U)_r d\Omega$ จากสมการ 3.60b จะได้

$$\int_{\Omega} \phi (\vec{U} \cdot \nabla U)_r d\Omega = \int_{\Omega} \phi \left(u_r \frac{\partial u_r}{\partial r} + v_z \frac{\partial u_r}{\partial z} \right) d\Omega \quad (3.76)$$

แทนค่า $\phi = \sum_{i=1}^6 \phi_i \varphi_i$, $u_t = \sum_{i=1}^6 \phi_i u_{t_i}$ เมื่อ $t = r, z$ ในสมการ 3.76 จะได้

$$\int_{\Omega} \phi (\vec{U} \cdot \nabla U)_r d\Omega = \sum_{k=1}^6 \sum_{i=1}^6 \sum_{j=1}^6 \varphi_j \left(\int_{\Omega} \phi_i \phi_j \frac{\partial \phi_k}{\partial r} d\Omega u_{r_i} + \int_{\Omega} \phi_i \phi_j \frac{\partial \phi_k}{\partial z} d\Omega u_{z_i} \right) u_{r_k} \quad (3.77)$$

พิจารณา $\int_{\Omega} \phi (\nabla p)_r d\Omega$ โดยแทนค่า $\phi = \sum_{i=1}^6 \phi_i \varphi_i$ และ $p = \sum_{i=1}^3 \psi_i p_i$ จะได้

$$\int_{\Omega} \phi (\nabla p)_r d\Omega = \sum_{i=1}^6 \sum_{j=1}^3 \varphi_i \int_{\Omega} \phi_i \frac{\partial \psi_j}{\partial r} d\Omega p_j \quad (3.78)$$

พิจารณานิพจน์ทางซ้ายมือของสมการ 3.66 โดยแทนค่า $\phi = \sum_{i=1}^6 \phi_i \varphi_i$ และ $\hat{u}_r = \sum_{i=1}^6 \psi_i \hat{u}_{r_i}$ จะได้

$$\int_{\Omega} \phi \hat{U}_r d\Omega = \sum_{i=1}^6 \sum_{j=1}^6 \varphi_i \int_{\Omega} \phi_i \phi_j d\Omega \hat{u}_{r_j} \quad (3.79)$$

ดังนั้นจึงได้สมการ 3.66 เป็น

$$\begin{aligned} \frac{2Re}{\Delta t} \phi M \hat{U}_r &= [-\phi(D_r - D)\tau_{rr} - \phi D\tau_{\theta\theta} - \phi D_z\tau_{rz}]^n \\ &\quad - [\mu_N \phi (S_{11}U_r + S_{12}V_z) - Re\phi (N_rU_r + N_zV_z) U_r - \phi L_r p]^n \\ &\quad - \frac{\mu_N}{2} \phi (S_{11}\hat{U}_r + S_{12}\hat{V}_z) + \mathbf{boundary\ terms} \end{aligned} \quad (3.80)$$

พิจารณา ลำดับขั้นที่ 1 ในส่วนประกอบตามความยาว z จากสมการ 3.56a โดยสูตรกาลิเลโออย่างอ่อนจะได้

$$\begin{aligned} \frac{2Re}{\Delta t} \int_{\Omega} \phi \hat{V}_z d\Omega &= \left[\int_{\Omega} \phi \left((\nabla \cdot \tilde{\tau})_z + 2\mu_N (\nabla \cdot \tilde{D})_z - Re(\vec{U} \cdot \nabla U)_z - (\nabla p)_z \right) d\Omega \right]^n \\ &\quad + \mu_N \int_{\Omega} \phi \left((\nabla \cdot \tilde{D})_z^{n+\frac{1}{2}} - (\nabla \cdot \tilde{D})_z^n \right) d\Omega \end{aligned} \quad (3.81)$$

จากสมการ 3.61a จะได้

$$\begin{aligned} \int_{\Omega} \phi (\nabla \cdot \tilde{\tau})_z d\Omega &= - \sum_{i=1}^6 \sum_{j=1}^6 \varphi_j \int_{\Omega} \phi_i \frac{\partial \phi_j}{\partial r} - \frac{1}{r} \phi_i \phi_j d\Omega \tau_{rz_i} - \sum_{i=1}^6 \sum_{j=1}^6 \varphi_j \int_{\Omega} \phi_i \frac{\partial \phi_j}{\partial z} d\Omega \tau_{zz_i} \\ &\quad + \mathbf{boundary\ terms} \end{aligned} \quad (3.82)$$

จากสมการ 3.61b จะได้

$$\begin{aligned} \int_{\Omega} \phi (\nabla \cdot \tilde{D})_z d\Omega &= -\frac{1}{2} \sum_{i=1}^6 \sum_{j=1}^6 \varphi_j \int_{\Omega} \frac{\partial \phi_i}{\partial r} \frac{\partial \phi_j}{\partial r} + 2 \frac{\partial \phi_i}{\partial z} \frac{\partial \phi_j}{\partial z} d\Omega u_{z_i} \\ &\quad - \frac{1}{2} \sum_{i=1}^6 \sum_{j=1}^6 \varphi_j \int_{\Omega} \frac{\partial \phi_i}{\partial r} \frac{\partial \phi_j}{\partial z} d\Omega u_{r_i} + \mathbf{boundary\ terms} \end{aligned} \quad (3.83)$$

จากสมการ 3.61c จะได้

$$\int_{\Omega} \phi (\vec{U} \cdot \nabla U)_z d\Omega = \sum_{k=1}^6 \sum_{i=1}^6 \sum_{j=1}^6 \varphi_j \left(\int_{\Omega} \phi_i \phi_j \frac{\partial \phi_k}{\partial r} d\Omega u_{r_i} + \int_{\Omega} \phi_i \phi_j \frac{\partial \phi_k}{\partial r} d\Omega u_{z_i} \right) u_{z_k} \quad (3.84)$$

และ

$$\int_{\Omega} \phi (\nabla p)_z d\Omega = \sum_{i=1}^6 \sum_{j=1}^3 \varphi_i \int_{\Omega} \phi_i \frac{\partial \psi_j}{\partial z} d\Omega p_j \quad (3.85)$$

ดังนั้นจึงได้สมการ 3.82 เป็น

$$\begin{aligned} \frac{2Re}{\Delta t} \varphi M \hat{V}_z &= [-\varphi(D_r - D)\tau_{rz} - \varphi D_z \tau_{zz}]^n \\ &\quad - [\mu_N \varphi (S_{12}U_r + S_{22}V_z) - Re\varphi (N_r U_r + N_z V_z) V_z - \varphi L_z p]^n \\ &\quad - \frac{\mu_N}{2} \varphi (S_{12}\hat{U}_r + S_{22}\hat{V}_z) + \text{boundary terms} \end{aligned} \quad (3.86)$$

พิจารณานิพจน์ต่างๆในสมการองค์ประกอบ

พิจารณานิพจน์ที่ส่วนประกอบ rr (rr-component)

จากสมการ 3.56b โดยสูตรกาลิเลโอที่อ่อนแอจะได้

$$\begin{aligned} \frac{2We}{\Delta t} \int_{\Omega} \phi \hat{\tau}_{rr} d\Omega &= \int_{\Omega} \phi [2\mu_V \tilde{D} - f\tilde{\tau}]_{rr}^n d\Omega \\ &\quad - We \int_{\Omega} \phi \left\{ \vec{U} \cdot \nabla \tilde{\tau} - \tilde{\tau} \cdot \nabla \vec{U} - (\tilde{\tau} \cdot \nabla \vec{U})^\dagger + \xi [(\tilde{D} \cdot \tilde{\tau}) + (\tilde{D} \cdot \tilde{\tau})^\dagger] \right\}_{rr}^n d\Omega \end{aligned} \quad (3.87)$$

$$\text{เมื่อ } \hat{\tau}_{rr} = (\tilde{\tau}^{n+\frac{1}{2}} - \tilde{\tau}^n)_{rr}$$

จะเห็นว่า

$$\int_{\Omega} \phi D_{rr} d\Omega = \sum_{i=1}^6 \sum_{j=1}^6 \varphi_j \int_{\Omega} \phi_i \frac{\partial \phi_j}{\partial r} d\Omega u_{r_i} \quad (3.88)$$

และ

$$\int_{\Omega} \phi \tau_{rr} d\Omega = \sum_{i=1}^6 \sum_{j=1}^6 \varphi_j \int_{\Omega} \phi_i \phi_j d\Omega \tau_{rr_i} \quad (3.89)$$

พิจารณา $\int_{\Omega} \phi (\vec{U} \cdot \nabla \tilde{\tau})_{rr} d\Omega$ จากสมการ 3.62a

$$\int_{\Omega} \phi (\vec{U} \cdot \nabla \tilde{\tau})_{rr} d\Omega = \sum_{k=1}^6 \sum_{i=1}^6 \sum_{j=1}^6 \varphi_j \left(\int_{\Omega} \phi_i \phi_j \frac{\partial \phi_k}{\partial r} d\Omega u_{r_i} + \int_{\Omega} \phi_i \phi_j \frac{\partial \phi_k}{\partial z} d\Omega u_{z_i} \right) \tau_{rr_k} \quad (3.90)$$

จากสมการ 3.62b และ จากสมการ 3.62c จะได้

$$\begin{aligned} &\int_{\Omega} \phi (\tilde{\tau} \cdot \nabla \vec{U} + (\tilde{\tau} \cdot \nabla \vec{U})^\dagger)_{rr} d\Omega \\ &= 2 \sum_{k=1}^6 \sum_{i=1}^6 \sum_{j=1}^6 \varphi_j \left(\int_{\Omega} \phi_i \phi_j \frac{\partial \phi_k}{\partial r} d\Omega \tau_{rr_i} + \int_{\Omega} \phi_i \phi_j \frac{\partial \phi_k}{\partial z} d\Omega \tau_{rz_i} \right) u_{r_k} \end{aligned} \quad (3.91)$$

และจากสมการ 3.62d จะได้

$$\int_{\Omega} \phi \left((\tilde{D} \cdot \tilde{\tau}) + (\tilde{D} \cdot \tilde{\tau})^\dagger \right)_{rr} d\Omega = 2 \sum_{k=1}^6 \sum_{i=1}^6 \sum_{j=1}^6 \varphi_j \int_{\Omega} \phi_i \phi_j \frac{\partial \phi_k}{\partial r} d\Omega u_{r_i} \tau_{rr_k} \quad (3.92)$$

ดังนั้นจึงสามารถเขียนสมการ 3.87 ได้เป็น

$$\begin{aligned} \frac{2We}{\Delta t} \varphi M \hat{T}_{rr} = & \{2\mu_V \varphi D_r U_r - \varphi (fM - We[(1 + 2\xi)N_r U_r + N_z V_z])T_{rr} \\ & + We\varphi [N_r T_{rr} + N_z T_{rz}]U_r\}^n \quad (3.93) \end{aligned}$$

พิจารณาส่วนประกอบในทิศ rz (rz-component)

จากสมการ 3.63a - 3.63d เมื่อใช้สูตรกาลิเลโออย่างอ่อนและแทนค่าฟังก์ชันรูปในสมการ 3.56b จะได้

$$\begin{aligned} \frac{2We}{\Delta t} \varphi M \hat{T}_{rz} = & \varphi \{ \mu_V (D_r V_z + D_z U_r) - (fM + We[N_r U_r + N_z V_z + \xi(N_r V_z + N_z U_r)])T_{rz} \\ & + We[(N_r T_{rr} + N_z T_{rz})V_z + (N_r T_{rz} + N_z T_{zz})U_r] \}^n \quad (3.94) \end{aligned}$$

พิจารณาส่วนประกอบในทิศ zz (zz-component)

จากสมการ 3.64a - 3.64d เมื่อใช้สูตรกาลิเลโออย่างอ่อนและแทนค่าฟังก์ชันรูปในสมการ 3.56b จะได้

$$\begin{aligned} \frac{2We}{\Delta t} \varphi M \hat{T}_{zz} = & \varphi \{ 2\mu_V D_z V_z - (fM + We[N_r U_r + N_z V_z])T_{zz} \\ & + We[(N_r T_{rz} + (1 - 2\xi)N_z T_{zz})V_z + (N_r T_{rz} + N_z T_{zz})U_r] \}^n \quad (3.95) \end{aligned}$$

พิจารณาส่วนประกอบในทิศ $\theta\theta$ ($\theta\theta$ -component)

จากสมการ 3.65a - 3.65d เมื่อใช้สูตรกาลิเลโออย่างอ่อนและแทนค่าฟังก์ชันรูปในสมการ 3.56b จะได้

$$\begin{aligned} \frac{2We}{\Delta t} \varphi M \hat{T}_{\theta\theta} = & \varphi \{ 2\mu_V D V_z - (fM + We[N_r U_r + N_z V_z - (2 - 2\xi)F U_r])T_{\theta\theta} \\ & + We[(N_r T_{rz} + (1 - 2\xi)N_z T_{zz})V_z + (N_r T_{rz} + N_z T_{zz})U_r] \}^n \quad (3.96) \end{aligned}$$

เมื่อ $F = \int_{\Omega} \frac{1}{r} \phi_i \phi_j \phi_k d\Omega$

เนื่องจาก $\nabla^2 q = \frac{\partial^2 q}{\partial r^2} + \frac{1}{r} \frac{\partial q}{\partial r} + \frac{\partial^2 q}{\partial z^2}$

และ $\nabla \cdot \vec{U} = \frac{\partial u_r}{\partial r} + \frac{u_r}{r} + \frac{\partial v_z}{\partial z}$ เมื่อใช้ระเบียบวิธีเทย์เลอร์กาลิเลโอกับทุกลำดับชั้นตอนจากสมการ 3.56a - 3.59 แล้วจัดให้ระบบสมการให้อยู่ให้รูปเมทริกซ์จะได้ดังนี้

ขั้นตอนที่ 1a

สมการใน r-component

$$\begin{aligned} \left(\frac{2Re}{\Delta t} M + \frac{\mu_N}{2} S_{11} \right) \hat{U}_r + \frac{\mu_N}{2} S_{12} \hat{V}_z = & - [(D_r - D)\tau_{rr} + D\tau_{\theta\theta} + D_z\tau_{rz}]^n \\ & - [\mu_N (S_{11}U_r + S_{12}V_z) - Re (N_rU_r + N_zV_z) U_r - L_r p]^n \end{aligned} \quad (3.97a)$$

สมการใน z-component

$$\begin{aligned} \left(\frac{2Re}{\Delta t} M + \frac{\mu_N}{2} S_{22} \right) \hat{V}_z + \frac{\mu_N}{2} S_{12} \hat{U}_r = & - [(D_r - D)\tau_{rz} + D_z\tau_{zz}]^n \\ & - [\mu_N (S_{12}U_r + S_{22}V_z) - Re (N_rU_r + N_zV_z) V_z - L_z p]^n \end{aligned} \quad (3.97b)$$

สมการใน rr-component

$$\begin{aligned} \frac{2We}{\Delta t} M \hat{T}_{rr} = & \{2\mu_V D_r U_r - (fM - We[(1 + 2\xi)N_r U_r + N_z V_z])T_{rr} \\ & + We[N_r T_{rr} + N_z T_{rz}]U_r\}^n \end{aligned} \quad (3.97c)$$

สมการใน rz-component

$$\begin{aligned} \frac{2We}{\Delta t} M \hat{T}_{rz} = & \{\mu_V (D_r V_z + D_z U_r) - (fM + We[N_r U_r + N_z V_z + \xi(N_r V_z + N_z U_r)])T_{rz} \\ & + We[(N_r T_{rr} + N_z T_{rz})V_z + (N_r T_{rz} + N_z T_{zz})U_r]\}^n \end{aligned} \quad (3.97d)$$

สมการใน zz-component

$$\begin{aligned} \frac{2We}{\Delta t} M \hat{T}_{zz} = & \{2\mu_V D_z V_z - (fM + We[N_r U_r + N_z V_z])T_{zz} \\ & + We[(N_r T_{rz} + (1 - 2\xi)N_z T_{zz})V_z + (N_r T_{rz} + N_z T_{zz})U_r]\}^n \end{aligned} \quad (3.97e)$$

สมการใน $\theta\theta$ -component

$$\begin{aligned} \frac{2We}{\Delta t} M \hat{T}_{\theta\theta} = & \{2\mu_V D V_z - (fM + We[N_r U_r + N_z V_z - (2 - 2\xi)F U_r])T_{\theta\theta} \\ & + We[(N_r T_{rz} + (1 - 2\xi)N_z T_{zz})V_z + (N_r T_{rz} + N_z T_{zz})U_r]\}^n \end{aligned} \quad (3.97f)$$

ขั้นตอนที่ 1b

สมการใน r-component

$$\begin{aligned} \left(\frac{Re}{\Delta t} M + \frac{\mu_N}{2} S_{11} \right) \hat{U}_r + \frac{\mu_N}{2} S_{12} \hat{V}_z = & -[(D_r - D)\tau_{rr} + D\tau_{\theta\theta} + D_z\tau_{rz}] \\ & - Re (N_r U_r + N_z V_z) U_r]^{n+\frac{1}{2}} - [\mu_N (S_{11} U_r + S_{12} V_z) - L_r p]^n \end{aligned} \quad (3.98a)$$

สมการใน z-component

$$\begin{aligned} \left(\frac{Re}{\Delta t} M + \frac{\mu_N}{2} S_{22} \right) \hat{V}_z + \frac{\mu_N}{2} S_{12} \hat{U}_r = & -[(D_r - D)\tau_{rz} + D_z\tau_{zz}] \\ & - Re (N_r U_r + N_z V_z) V_z]^{n+\frac{1}{2}} - [\mu_N (S_{12} U_r + S_{22} V_z) - L_z p]^n \end{aligned} \quad (3.98b)$$

สมการใน rr-component

$$\begin{aligned} \frac{We}{\Delta t} M \hat{T}_{rr} = & \{2\mu_V D_r U_r - (fM - We[(1 + 2\xi)N_r U_r + N_z V_z])T_{rr} \\ & + We[N_r T_{rr} + N_z T_{rz}]U_r\}^{n+\frac{1}{2}} \end{aligned} \quad (3.98c)$$

สมการใน rz-component

$$\begin{aligned} \frac{We}{\Delta t} M \hat{T}_{rz} = & \{\mu_V (D_r V_z + D_z U_r) - (fM + We[N_r U_r + N_z V_z + \xi(N_r V_z + N_z U_r)])T_{rz} \\ & + We[(N_r T_{rr} + N_z T_{rz})V_z + (N_r T_{rz} + N_z T_{zz})U_r]\}^{n+\frac{1}{2}} \end{aligned} \quad (3.98d)$$

สมการใน zz-component

$$\begin{aligned} \frac{We}{\Delta t} M \hat{T}_{zz} = & \{2\mu_V D_z V_z - (fM + We[N_r U_r + N_z V_z])T_{zz} \\ & + We[(N_r T_{rz} + (1 - 2\xi)N_z T_{zz})V_z + (N_r T_{rz} + N_z T_{zz})U_r]\}^{n+\frac{1}{2}} \end{aligned} \quad (3.98e)$$

สมการใน $\theta\theta$ -component

$$\begin{aligned} \frac{We}{\Delta t} M \hat{T}_{\theta\theta} = & \{2\mu_V D V_z - (fM + We[N_r U_r + N_z V_z - (2 - 2\xi)F U_r])T_{\theta\theta} \\ & + We[(N_r T_{rz} + (1 - 2\xi)N_z T_{zz})V_z + (N_r T_{rz} + N_z T_{zz})U_r]\}^{n+\frac{1}{2}} \end{aligned} \quad (3.98f)$$

ขั้นตอนที่ 2

$$\theta K Q^{n+1} = -\frac{Re}{\Delta t} (L_r U_r + L_z V_z)^* \quad (3.99)$$

ขั้นตอนที่ 3

สมการใน r-component

$$\frac{Re}{\Delta t} M \hat{U}_r = L_r Q^{n+1} \quad (3.100a)$$

สมการใน z-component

$$\frac{Re}{\Delta t} M \hat{V}_z = L_z Q^{n+1} \quad (3.100b)$$

เมื่อ

$$M_{ij} = \int_{\Omega} \phi_i \phi_j d\Omega$$

$$(S_{11})_{ij} = \int_{\Omega} 2 \frac{\partial \phi_i}{\partial r} \frac{\partial \phi_j}{\partial r} + \frac{2}{r^2} \phi_i \phi_j + \frac{\partial \phi_i}{\partial z} \frac{\partial \phi_j}{\partial z} d\Omega$$

$$(S_{12})_{ij} = \int_{\Omega} \frac{\partial \phi_i}{\partial r} \frac{\partial \phi_j}{\partial z} d\Omega$$

$$(S_{22})_{ij} = \int_{\Omega} \frac{\partial \phi_i}{\partial r} \frac{\partial \phi_j}{\partial r} + 2 \frac{\partial \phi_i}{\partial z} \frac{\partial \phi_j}{\partial z} d\Omega$$

$$(N_r)_{ij}^k = \int_{\Omega} \phi_i \phi_j \frac{\partial \phi_k}{\partial r} d\Omega$$

$$(N_z)_{ij}^k = \int_{\Omega} \phi_i \phi_j \frac{\partial \phi_k}{\partial z} d\Omega$$

$$(D_r)_{ij} = \int_{\Omega} \phi_i \frac{\partial \phi_j}{\partial r} d\Omega$$

$$(D_z)_{ij} = \int_{\Omega} \phi_i \frac{\partial \phi_j}{\partial z} d\Omega$$

$$D_{ij} = \int_{\Omega} \frac{1}{r} \phi_i \phi_j d\Omega$$

$$(L_r)_{ij} = \int_{\Omega} \phi_i \frac{\partial \psi_j}{\partial r} d\Omega$$

$$(L_z)_{ij} = \int_{\Omega} \phi_i \frac{\partial \psi_j}{\partial z} d\Omega$$

$$K_{ij} = \int_{\Omega} \frac{\partial \phi_i}{\partial r} \frac{\partial \phi_j}{\partial r} + \frac{\partial \phi_i}{\partial z} \frac{\partial \phi_j}{\partial z} d\Omega$$

3.4 การหาปริพันธ์เชิงตัวเลข (Numerical integration)

การหาค่านิพจน์ที่อยู่ในรูปปริพันธ์ ในวิทยานิพนธ์นี้จะใช้ระเบียบวิธีเชิงตัวเลขเชิงปริพันธ์เพื่อหาค่าปริพันธ์นั้นๆ ซึ่งจะใช้อย่างวิธีการดังต่อไปนี้

3.4.1 หลักการประมาณค่าพื้นที่เกาส์เซียน สำหรับ 1 มิติ (Gaussian quadrature approach for one dimension)

หากพิจารณาปัญหาเชิงปริพันธ์ที่อยู่ในรูป

$$I = \int_{-1}^1 f(\xi) d\xi \quad (3.101)$$

สามารถที่จะประมาณค่าปริพันธ์ดังกล่าวด้วยวิธีการประมาณค่าพื้นที่เกาส์เซียนโดย

$$I = \int_{-1}^1 f(\xi) d\xi \approx \sum_{i=1}^n w_i f(\xi_i) \quad (3.102)$$

เมื่อ n เป็นจำนวนโนดของเกาส์

w_i เป็นน้ำหนักประจำโนดที่ i

ξ_i เป็นจุดของเกาส์ (Gauss point)

ซึ่งค่าจุดของเกาส์และน้ำหนัก สามารถพิจารณาได้จากตาราง 3.2 (ศึกษาเพิ่มเติมได้จาก [52, 53, 55])

3.4.2 หลักการประมาณค่าพื้นที่เกาส์เซียน สำหรับ 2 มิติ (Gaussian quadrature approach for two dimension)

สำหรับชั้นประกอบย่อยรูปสี่เหลี่ยมจะเป็นการประมาณค่าปริพันธ์ที่อยู่ในรูป

$$I = \int_{-1}^1 \int_{-1}^1 f(\xi, \eta) d\xi d\eta \quad (3.103)$$

จำนวนโนด (n)	ตำแหน่ง (ξ_i)	น้ำหนัก (w_i)
1	0.0	2.0
2	$\pm \frac{1}{\sqrt{3}}$	1
3	± 0.7745966692	0.5555555555
	0.0	0.8888888889
4	± 0.8611363116	0.3478548451
	± 0.3399810436	0.6521451549
5	± 0.9061798459	0.2369268851
	± 0.5384693101	0.4786286705
	0.0	0.5688888889
6	± 0.9324695142	0.1713244924
	± 0.6612093865	0.3607625730
	± 0.2386191861	0.4679139346

ตารางที่ 3.2: จุดของเกาส์และน้ำหนัก สำหรับการประมาณพื้นที่ของเกาส์ ใน 1 มิติ

สามารถกระจายสมการ 3.103 เพื่อประมาณค่า โดย Gaussian quadrature ได้ดังนี้

$$I \approx \int_{-1}^1 \left[\sum_{i=1}^n w_i f(\xi_i, \eta) \right] d\eta$$

$$\approx \sum_{j=1}^n w_j \left[\sum_{i=1}^n w_i f(\xi_i, \eta_j) \right]$$

ดังนั้น

$$I \approx \sum_{j=1}^n \sum_{i=1}^n w_j w_i f(\xi_i, \eta_j) \quad (3.104)$$

สำหรับชั้นประกอบย่อยรูปสามเหลี่ยม ในการประมาณค่าปริพันธ์ที่อยู่ในรูป

$$I = \int_0^1 \int_0^{1-\eta} f(\xi, \eta) d\xi d\eta \quad (3.105)$$

ซึ่งจะประมาณค่าปริพันธ์ในสมการ 3.105 ได้ดังนี้

$$I = \int_0^1 \int_0^{1-\eta} f(\xi, \eta) d\xi d\eta \approx \frac{1}{2} \sum_{i=1}^n w_i f(\xi_i, \eta_i) \quad (3.106)$$

ตั้งค่าจุดของเกาส์และน้ำหนักที่แสดงในตาราง 3.3 [52]

จำนวนโนด (n)	ตำแหน่ง			น้ำหนัก (w_i)
	ξ_i	η_i	ζ_i	
1	$\frac{1}{3}$	$\frac{1}{3}$	$\frac{1}{3}$	1
	$\frac{1}{2}$	0	$\frac{1}{2}$	$\frac{1}{3}$
3	$\frac{1}{2}$	$\frac{1}{2}$	0	$\frac{1}{3}$
	0	$\frac{1}{2}$	$\frac{1}{2}$	$\frac{1}{3}$
	$\frac{1}{3}$	$\frac{1}{3}$	$\frac{1}{3}$	$\frac{27}{48}$
4	$\frac{2}{15}$	$\frac{2}{15}$	$\frac{11}{15}$	$\frac{25}{48}$
	$\frac{11}{15}$	$\frac{2}{15}$	$\frac{2}{15}$	$\frac{25}{48}$
	$\frac{2}{15}$	$\frac{11}{15}$	$\frac{2}{15}$	$\frac{25}{48}$
	$\frac{11}{15}$	$\frac{11}{15}$	$\frac{2}{15}$	$\frac{25}{48}$

ตารางที่ 3.3: จุดของเกาส์และน้ำหนัก สำหรับชั้นประกอบรูปสามเหลี่ยม

เมื่อ $\zeta = 1 - \xi - \eta$

3.4.3 การประมาณค่าโดยวิธีการอื่น

สำหรับ 1 มิติ

$$\int_{\Omega} \xi^i \eta^j d\Gamma \approx \frac{i!j!}{(i+j+1)!} L \quad (3.107)$$

เมื่อ L เป็นความยาวของเส้นชั้นประกอบ และ i, j คือเลขชี้กำลังของ ξ และ η ตามลำดับ โดยที่ i, j คือเลขจำนวนเต็มบวกหรือศูนย์

สำหรับ 2 มิติ

$$\int_{\Omega} \xi^i \eta^j \zeta^k d\Omega \approx \frac{i!j!k!}{(i+j+k+2)!} 2A \quad (3.108)$$

เมื่อ A เป็นพื้นที่ของชั้นประกอบ และ i, j, k คือเลขชี้กำลังของ ζ และ η ตามลำดับ โดยที่ i, j, k คือเลขจำนวนเต็มบวกหรือศูนย์

3.5 นอร์มความผิดพลาด (Error norm)

ในการพิจารณาการลู่เข้าสู่ผลเฉลย โดยระเบียบวิธีเชิงตัวเลขจะขึ้นอยู่กับค่านอร์มความผิดพลาดที่ได้จากการคำนวณซึ่งเป็นตัวกำหนดความเชื่อมั่นในผลเฉลยที่ได้ว่ามีความแม่นยำมากน้อยเพียงใดจึงขึ้นกับปัญหาที่ทำและความต้องการของผู้ใช้ ในวิทยานิพนธ์นี้ สำหรับค่านอร์มความผิดพลาดจะพิจารณาในหลักการของ l_∞ norm ซึ่งมีความสัมพันธ์ดังนี้

$$\|E(x)\|_\infty = \frac{\|x^{(k)} - x^{(k-1)}\|_\infty}{\|x^{(k)}\|_\infty} \quad (3.109)$$

เมื่อค่านอร์มความผิดพลาดที่คำนวณได้มีค่าน้อยกว่าค่านอร์มความผิดพลาดที่กำหนด (tolerance, TOL)

$$\|E(x)\|_\infty \leq TOL$$

จะกล่าวว่าค่าที่คำนวณได้เป็นผลเฉลยที่ได้จากการประมาณค่านั้นได้เป็น $x^{(k)}$ ในวิทยานิพนธ์นี้ได้กำหนดค่าความคาดเคลื่อนของนิพจน์ต่างๆ เป็นดังนี้สำหรับความเร็ว ความดัน และความเค้น ใช้ความคาดเคลื่อนเป็น 10^{-5} ส่วนการคำนวณเพื่อหาพิกัดของพื้นผิวอิสระใช้ค่านอร์มความผิดพลาดเป็น 5×10^{-4} ซึ่งเพียงพอสำหรับปัญหาในวิทยานิพนธ์นี้

3.6 ระเบียบวิธีเชิงตัวเลขสำหรับระบบสมการเชิงเส้น (Numerical method for linear equation system)

จากบทนำที่กล่าวมาเมื่อใช้ระเบียบวิธีชั้นประกอบอันตะกับปัญหาต่างๆ พบว่าท้ายสุดจะได้ระบบสมการเชิงเส้นที่อยู่ในรูปแบบเมทริกซ์

$$\tilde{A}\vec{x} = \vec{b} \quad (3.110)$$

เมื่อ \tilde{A} เป็นเมทริกซ์สัมประสิทธิ์ (coefficient matrix)

\vec{x} เป็นเวกเตอร์ตัวแปร (variable vector)

\vec{b} เป็นเวกเตอร์ค่าคงตัว (constant vector)

โดยที่

$$\tilde{A} = \begin{bmatrix} a_{11} & a_{12} & a_{13} & \cdots & a_{1n} \\ a_{12} & a_{22} & a_{23} & \cdots & a_{2n} \\ a_{13} & a_{23} & a_{33} & \cdots & a_{3n} \\ \vdots & \vdots & \vdots & \ddots & \vdots \\ a_{1n} & a_{2n} & a_{3n} & \cdots & a_{nn} \end{bmatrix}$$

$$\vec{x}^\dagger = \begin{bmatrix} x_1 & x_2 & x_3 & x_4 & \cdots & x_n \end{bmatrix}$$

และ

$$\vec{b}^\dagger = \begin{bmatrix} b_1 & b_2 & b_3 & b_4 & \cdots & b_n \end{bmatrix}$$

ซึ่ง \vec{x}^\dagger เป็นเมทริกซ์สลับเปลี่ยนของเวกเตอร์ \vec{x} และ \vec{b}^\dagger เป็นเมทริกซ์สลับเปลี่ยนของเวกเตอร์ \vec{b} ในการแก้ระบบสมการ 3.110 ด้วยระเบียบวิธีเชิงตัวเลขสามารถทำได้ทั้ง ระเบียบวิธีโดยตรง (direct method) และ ระเบียบวิธีโดยอ้อม (indirect method) สำหรับระบบวิธีโดยตรง ได้แก่ การกำจัดของเกาส์ (Guass elimination) ระเบียบวิธีการแยกแบบแอลยู (LU decomposition method) และระเบียบวิธีโชเลสกี้ (choleski's method) เป็นต้น วิธีการนี้มักใช้กับปัญหาที่มีขนาดเล็กและมีตัวแปรไม่ทราบค่าไม่มาก แต่หากเป็นปัญหาที่มีขนาดใหญ่มักใช้ระเบียบวิธีการโดยอ้อมช่วยในการหาผลเฉลยซึ่งระเบียบวิธีโดยอ้อมคือการคำนวณซ้ำจนกระทั่งได้ผลเฉลย เริ่มจากการกำหนดค่าเริ่มต้น $\{x_i\}^0$ แล้วคำนวณหาค่า $\{x_i\}^1$ ที่สอดคล้องกับระบบสมการ 3.110 โดยทำการคำนวณ $\{x_i\}^k$ ซ้ำไปเรื่อยๆจนกระทั่งค่านอร์มความผิดพลาด ($|\{x_i\}^{k+1} - \{x_i\}^k|$) มีค่าน้อยกว่าค่าที่กำหนดไว้ จะถือว่าค่าที่คำนวณได้เข้าสู่ผลเฉลย ดังนั้นจะกล่าวว่า $\{x_i\}^{k+1}$ เป็นผลเฉลยของระบบสมการ 3.110 สำหรับระเบียบวิธีโดยตรงและโดยอ้อมจะกล่าวถึงบางวิธีมีดังนี้

3.6.1 ระเบียบวิธีโชเลสกี้ (Choleski's method)

ในวิทยานิพนธ์นี้มีการแก้ระบบสมการเชิงเส้นซึ่งเขียนอยู่ในรูปของสมการเมทริกซ์ดังสมการ 3.110 ด้วยระเบียบวิธีเชิงตัวเลขหลายวิธี วิธีหนึ่งที่น่าสนใจคือระเบียบวิธีโชเลสกี้ และพบว่าในการแก้ระบบสมการเชิงเส้นด้วยวิธีการนี้ เมทริกซ์ \tilde{A} ต้องเป็นเมทริกซ์สมมาตรโดยแยก เมทริกซ์ \tilde{A} เป็นสองเมทริกซ์ย่อยคู่กันดังนี้ $\tilde{A} = \tilde{L}\tilde{L}^\dagger$

เมื่อ

$$\tilde{L} = \begin{bmatrix} l_{11} & 0 & 0 & 0 & \cdots & 0 & 0 \\ l_{12} & l_{22} & 0 & 0 & \cdots & 0 & 0 \\ l_{13} & l_{23} & l_{33} & 0 & \cdots & 0 & 0 \\ \vdots & \vdots & \vdots & \vdots & \ddots & \vdots & \vdots \\ l_{1(n-1)} & l_{2(n-1)} & l_{3(n-1)} & l_{4(n-1)} & \cdots & l_{(n-1)(n-1)} & 0 \\ l_{1n} & l_{2n} & l_{3n} & l_{4n} & \cdots & l_{(n-1)n} & l_{nn} \end{bmatrix}$$

และ \tilde{L}^\dagger เป็นเมทริกซ์สลับเปลี่ยนของเมทริกซ์ \tilde{L} แทนค่า $\tilde{A} = \tilde{L}\tilde{L}^\dagger$ ในระบบสมการ 3.110 จะได้สมการใหม่ในรูป

$$\tilde{L}\vec{y} = \vec{b} \quad (3.111)$$

โดยที่

$$\tilde{L}^\dagger \vec{x} = \vec{y} \quad (3.112)$$

ในการแก้ระบบสมการ 3.110 สามารถที่จะแก้ระบบสมการ 3.111 ก่อน ด้วยการแทนค่าไปข้างหน้า (forward substitution) เพื่อหาค่า \vec{y} และหลังจากนั้นจึงแก้ระบบสมการ 3.112 ด้วยการแทนค่าย้อนกลับ (backward substitution) เพื่อหาผลลัพธ์ \vec{x} ซึ่งเป็นผลเฉลยที่ต้องการ ลำดับขั้นตอนในการหาค่าสัมประสิทธิ์ต่างๆในเมทริกซ์ \tilde{L} สามารถหาได้จากความสัมพันธ์ที่ว่า $\tilde{A} = \tilde{L}\tilde{L}^\dagger$ ได้ดังนี้

สมาชิกในแถวแรกของเมทริกซ์ \tilde{L} คือ

$$l_{11} = \sqrt{a_{11}} \quad (3.113)$$

สำหรับสมาชิกในแถวที่ k โดยที่ $k = 2, 3, \dots, n$

$$l_{ki} = \frac{a_{ki} - \sum_{j=1}^{i-1} l_{ij}l_{kj}}{l_{ii}} \quad (3.114)$$

และ

$$l_{kk} = \sqrt{a_{kk} - \sum_{j=1}^{k-1} l_{kj}^2} \quad (3.115)$$

จากระบบสมการ 3.111 โดยการแทนค่าไปข้างหน้าจะได้เวกเตอร์ \vec{y} เป็น

$$y_1 = \frac{b_1}{l_{11}}$$

$$y_i = \frac{b_i - \sum_{j=1}^{i-1} l_{ij}y_j}{l_{ii}} \quad (3.116)$$

เมื่อ $i = 2, 3, \dots, n$

แทนค่าเวกเตอร์ \vec{y} ที่ได้ในระบบสมการ 3.112 โดยการแทนค่าย้อนหลังจะได้ค่าของเวกเตอร์ \vec{x} เป็น

$$x_n = \frac{y_n}{l_{nn}}$$

$$x_i = \frac{y_i - \sum_{j=i+1}^n l_{ji}x_j}{l_{ii}} \quad (3.117)$$

เมื่อ $i = n-1, n-2, \dots, 1$

3.6.2 ระเบียบวิธีการทำซ้ำจาโคบี (Jacobi iterative method)

กำหนดให้ $\tilde{A} = \tilde{D} - \tilde{L} - \tilde{U}$

เมื่อ \tilde{D} คือเมทริกซ์ทแยงของเมทริกซ์ \tilde{A} ($\tilde{D} = [a_{ij}], i = j$) (diagonal matrix part of \tilde{A})

$-\tilde{L}$ คือเมทริกซ์สามเหลี่ยมล่างของเมทริกซ์ \tilde{A} ($-\tilde{L} = [a_{ij}], i < j$) (lower-triangular matrix part of \tilde{A})

$-\tilde{U}$ คือเมทริกซ์สามเหลี่ยมบนของเมทริกซ์ \tilde{A} ($-\tilde{U} = [a_{ij}], i > j$) (upper-triangular matrix part of \tilde{A})

สมการ 3.110 จึงสามารถเขียนให้อยู่ในรูปใหม่เป็น

$$\tilde{D}\vec{x} = (\tilde{U} + \tilde{L})\vec{x} + \vec{b} \quad (3.118)$$

พิจารณาให้ $a_{ii} \neq 0$ ดังนั้น $\tilde{D}^{-1} = \begin{bmatrix} 1 \\ a_{ii} \end{bmatrix}$ จากสมการ 3.118 จะได้

$$\vec{x} = \tilde{D}^{-1}(\tilde{U} + \tilde{L})\vec{x} + \tilde{D}^{-1}\vec{b} \quad (3.119)$$

โดยวิธีการกระทำซ้ำจาโคบี จะได้

$$\vec{x}^{(k)} = \tilde{D}^{-1}(\tilde{U} + \tilde{L})\vec{x}^{(k-1)} + \tilde{D}^{-1}\vec{b}, \text{ เมื่อ } k = 1, 2, 3, \dots \quad (3.120)$$

นั่นคือ

$$x_i^{(k)} = \frac{-\sum_{\substack{j=1 \\ j \neq i}}^n (a_{ij}x_j^{(k-1)}) + b_i}{a_{ii}} \quad (3.121)$$

3.6.3 ระเบียบวิธีการทำซ้ำเกาส์ไชเดล (Gauss-Seidel iterative method)

สำหรับระเบียบวิธีการนี้ได้พัฒนาปรับปรุงจากระเบียบวิธีการทำซ้ำจาโคบี โดยจัดสมการ 3.110 ให้อยู่ในรูป

$$(\tilde{D} - \tilde{L}) \vec{x}^{(k)} = \tilde{U} \vec{x}^{(k-1)} + \vec{b} \quad (3.122)$$

ดังนั้น

$$\vec{x}^{(k)} = (\tilde{D} - \tilde{L})^{-1} \tilde{U} \vec{x}^{(k-1)} + (\tilde{D} - \tilde{L})^{-1} \vec{b} \quad (3.123)$$

นั่นคือ

$$x_i^{(k)} = \frac{-\sum_{j=1}^{i-1} (a_{ij} x_j^{(k)}) - \sum_{j=i+1}^n (a_{ij} x_j^{(k-1)}) + b_i}{a_{ii}} \quad (3.124)$$

3.6.4 ระเบียบวิธีการทำซ้ำเอสโออาร์ (successive over-relaxation iterative method, SOR)

ระเบียบวิธีนี้ปรับปรุงจาก 2 ระเบียบวิธีข้างต้น เป็นหนึ่งวิธีในระเบียบวิธีที่เรียกว่า ระเบียบวิธีการผ่อนคลาย (relaxation method) โดยเพิ่มนิพจน์ถ่วงน้ำหนัก (ω) เพื่อเป็นการเร่งการเข้าสู่ผลเฉลย โดยการจัดสมการ 3.110 ให้อยู่ในรูป

$$(\tilde{D} - \omega \tilde{L}) \vec{x}^{(k)} = [(1 - \omega) \tilde{D} + \omega \tilde{U}] \vec{x}^{(k-1)} + \omega \vec{b} \quad (3.125)$$

ระเบียบวิธีภายใต้การผ่อนคลาย (under-relaxation method) จะใช้สำหรับบางระบบสมการที่ผลเฉลยไม่เข้าสู่โดยระเบียบวิธีการทำซ้ำเกาส์ไชเดล จะเลือกตัวถ่วงน้ำหนัก ω ในช่วง $(0, 1)$

ระเบียบวิธีเหนือการผ่อนคลาย (over-relaxation method) จะใช้สำหรับเร่งการเข้าสู่ผลเฉลยหากใช้ระเบียบวิธีการทำซ้ำเกาส์ไชเดลแล้วเข้าสู่ โดยเลือกตัวถ่วงน้ำหนัก $\omega > 1$

ซึ่งหากมี $(\tilde{D} - \omega \tilde{L})^{-1}$ จากสมการ 3.125 จะได้

$$\vec{x}^{(k)} = (\tilde{D} - \omega \tilde{L})^{-1} [(1 - \omega) \tilde{D} + \omega \tilde{U}] \vec{x}^{(k-1)} + \omega (\tilde{D} - \omega \tilde{L})^{-1} \vec{b} \quad (3.126)$$

นั่นคือ

$$a_{ii} x_i^{(k)} + \omega \sum_{j=1}^{i-1} (a_{ij} x_j^{(k)}) = (1 - \omega) a_{ii} x_i^{(k-1)} - \omega \sum_{j=i+1}^n (a_{ij} x_j^{(k-1)}) + \omega b \quad (3.127)$$

ดังนั้น

$$x_i^{(k)} = (1 - \omega) x_i^{(k-1)} + \frac{\omega}{a_{ii}} \left[b - \sum_{j=i+1}^n (a_{ij} x_j^{(k-1)}) - \sum_{j=1}^{i-1} (a_{ij} x_j^{(k)}) \right] \quad (3.128)$$

3.7 ระเบียบวิธีเชิงตัวเลขสำหรับระบบสมการไม่เชิงเส้น (Numerical method for non-linear equation system)

พิจารณาระบบสมการไม่เชิงเส้นที่ประกอบด้วยสมการ n สมการ ซึ่งมีตัวแปรอิสระทั้งหมด n ตัว ดังนี้

$$\begin{aligned} f_1(x_1, x_2, x_3, \dots, x_n) &= 0 \\ f_2(x_1, x_2, x_3, \dots, x_n) &= 0 \\ f_3(x_1, x_2, x_3, \dots, x_n) &= 0 \\ &\vdots \\ f_n(x_1, x_2, x_3, \dots, x_n) &= 0 \end{aligned} \quad (3.129)$$

สามารถหาผลเฉลยของระบบสมการไม่เชิงเส้นจากสมการ 3.129 โดยระเบียบวิธีเชิงตัวเลขได้หลายวิธี ในวิทยานิพนธ์นี้จะพิจารณาบางวิธีดังนี้

3.7.1 ระเบียบวิธีการทำซ้ำนิวตัน-ราฟสัน (Newton - Rhapsion iterative method)

สำหรับระเบียบวิธีการวนซ้ำนี้จะกำหนดลำดับเพื่อประมาณค่าผลเฉลยของระบบสมการ 3.129 ดังนี้

$$\Delta x_i = -\frac{f(x_i^{(k-1)})}{f'(x_i^{(k-1)})} \quad (3.130)$$

เมื่อ $\Delta x_i = x_i^{(k)} - x_i^{(k-1)}$

นั่นคือ

$$f'(x_i^{(k-1)}) \Delta x_i = -f(x_i^{(k-1)}) \quad (3.131)$$

พิจารณาทั้งระบบสมการและจัดให้อยู่ในรูปเมทริกซ์จะได้

$$\tilde{J} \vec{\Delta x} = f(\vec{x}^{(k-1)}) \quad (3.132)$$

เมื่อ \tilde{J} เป็นจาโคเบียนเมทริกซ์

$\vec{\Delta x}$ เป็นเวกเตอร์ของผลต่าง

$f(\vec{x}^{(k-1)})$ เป็นเวกเตอร์ค่าฟังก์ชัน ณ เวลา $k - 1$

โดยที่จาโคเบียนเมทริกซ์

$$\tilde{J} = \begin{bmatrix} \frac{\partial f_1(x)}{\partial x_1} & \frac{\partial f_1(x)}{\partial x_2} & \cdots & \frac{\partial f_1(x)}{\partial x_n} \\ \frac{\partial f_2(x)}{\partial x_1} & \frac{\partial f_2(x)}{\partial x_2} & \cdots & \frac{\partial f_2(x)}{\partial x_n} \\ \vdots & \vdots & & \vdots \\ \frac{\partial f_n(x)}{\partial x_1} & \frac{\partial f_n(x)}{\partial x_2} & \cdots & \frac{\partial f_n(x)}{\partial x_n} \end{bmatrix}$$

หาค่าผลต่างจากระบบสมการ 3.132 จากนั้นปรับให้ได้อำตอบ ณ เวลา k ได้ดังนี้

$$\vec{x}^{(k)} = \vec{x}^{(k-1)} + \Delta \vec{x} \quad (3.133)$$

3.7.2 ระเบียบวิธีปรับปรุงการทำซ้ำนิวตัน-ราฟสัน (modify Newton - Rhapson iterative method)

เป็นการปรับปรุงระเบียบวิธีการทำซ้ำนิวตัน-ราฟสัน โดยนำค่าผลเฉลย ณ เวลา k จากระบบสมการ 3.129 ซึ่งแสดงได้ดังนี้

$$x_1^{(k)} = x_1^{(k-1)} - \frac{f_1 \left(x_1^{(k-1)}, x_2^{(k-1)}, \dots, x_n^{(k-1)} \right)}{\frac{\partial}{\partial x_1} f_1 \left(x_1^{(k-1)}, x_2^{(k-1)}, \dots, x_n^{(k-1)} \right)} \quad (3.134a)$$

แทนค่า $x_1^{(k)}$ เพื่อหาค่า $x_2^{(k)}$ ดังนี้

$$x_2^{(k)} = x_2^{(k-1)} - \frac{f_1 \left(x_1^{(k)}, x_2^{(k-1)}, \dots, x_n^{(k-1)} \right)}{\frac{\partial}{\partial x_1} f_1 \left(x_1^{(k)}, x_2^{(k-1)}, \dots, x_n^{(k-1)} \right)} \quad (3.134b)$$

จากนั้นแทนค่า $x_1^{(k)}$ และ $x_2^{(k)}$ เพื่อหาค่า $x_3^{(k)}$

$$x_3^{(k)} = x_3^{(k-1)} - \frac{f_1 \left(x_1^{(k)}, x_2^{(k)}, \dots, x_n^{(k-1)} \right)}{\frac{\partial}{\partial x_1} f_1 \left(x_1^{(k)}, x_2^{(k)}, \dots, x_n^{(k-1)} \right)} \quad (3.134c)$$

จนกระทั่งถึง

$$x_n^{(k)} = x_n^{(k-1)} - \frac{f_1 \left(x_1^{(k)}, x_2^{(k)}, \dots, x_{n-1}^{(k)}, x_n^{(k-1)} \right)}{\frac{\partial}{\partial x_1} f_1 \left(x_1^{(k)}, x_2^{(k)}, \dots, x_{n-1}^{(k)}, x_n^{(k-1)} \right)} \quad (3.134d)$$

3.8 หลักการเพนัลตี (Penalty approach)

สำหรับระบบสมการ $\tilde{A}\vec{x} = \vec{b}$ ที่มีเงื่อนไขค่าขอบนั้นมักเกิดปัญหาที่ว่าค่าขอบที่คำนวณได้ไม่ตรงกับเงื่อนไขค่าขอบเพื่อแก้ปัญหาดังกล่าว จึงใช้หลักการเพนัลตีเพื่อให้ค่าขอบที่ได้จากการคำนวณมีค่าเท่ากับค่าเงื่อนไขค่าขอบหรือมีค่าใกล้เคียงมากที่สุด โดยหลักการเพนัลตี เริ่มต้นให้หาค่าสัมบูรณ์ที่มีค่าสูงสุดในเมทริกซ์ \tilde{A} ($|a_{ij}|$) จากนั้นคูณด้วยค่าคงตัวที่มีค่ามากๆ โดยอาจมีค่ามากกว่า 10^{10} กำหนดให้เป็น

$$\gamma = |a_{ij}| \times 10^{10} \quad (3.135)$$

แล้วปรับค่าเมทริกซ์ \tilde{A} ในตำแหน่งเงื่อนไขค่าขอบ a_{kk} โดย

$$a_{kk} = a_{kk} + \gamma$$

เมื่อ k เป็นตำแหน่งเงื่อนไขค่าขอบของปัญหา

3.9 หลักการสายกระแสอัฟวิน/เพโทรฟ-กาเลอร์คิน (Streamline-upwind/Petrov-Galerkin scheme, SUPG)

สำหรับปัญหาการไหลที่มีค่า Re สูงๆ มักเกิดปัญหาที่ว่าผลเฉลยที่ได้จะมีความไม่ราบเรียบ โดยผลเฉลยมีลักษณะเป็นฟันปลา ดังนั้นเพื่อเป็นการแก้ปัญหาดังกล่าวอาจทำได้โดยการสร้างชั้นประกอบย่อยให้มีขนาดเล็กลงแต่ก็มักเกิดปัญหาเกี่ยวกับหน่วยความจำและเวลาที่ใช้ในการคำนวณ เพื่อเป็นการแก้ปัญหาดังกล่าวสามารถใช้หลักการ SUPG ซึ่งปรับฟังก์ชันถ่วงน้ำหนักกาเลอร์คินมาตรฐาน เพื่อปรับค่าผลเฉลยที่ได้ให้มีความราบเรียบยิ่งขึ้น ศึกษาเพิ่มเติมจาก [23, 61, 62, 63] โดยทำการปรับปรุงฟังก์ชันถ่วงน้ำหนักให้อยู่ในรูป

$$\phi_i^{SUPG} = \phi_i + \phi_i^{petrov} \quad (3.136)$$

เมื่อ ϕ_i เป็นฟังก์ชันถ่วงน้ำหนักกาเลอร์คินมาตรฐาน (standard Galerkin weighting function)

ϕ_i^{petrov} เป็นฟังก์ชันถ่วงน้ำหนักเพโทรฟ (Petrov weighting function) ซึ่ง $\phi_i^{petrov} = \frac{\alpha^k \hat{u}_j \phi_{i,j}}{\|u\|}$

โดยที่ α^k เป็นสเกลาร์พารามิเตอร์มีค่าอยู่ในช่วง $(0, 1)$

3.10 เกรเดียนต์รีคัฟเวอรี (Gradient recovery)

เป็นเทคนิควิธีที่ใช้ร่วมกับระเบียบวิธี SUPG ศึกษาได้จากงานวิจัยของ Mattallah et al. [59] ในการใช้ระเบียบวิธีขึ้นประกอบอันตะ จะมีการใช้โดเมนร่วมกันทำให้ผลเฉลยที่ได้ขาดความต่อเนื่องจากขึ้นประกอบหนึ่งไปยังอีกขึ้นประกอบหนึ่ง ดังนั้นจึงใช้เทคนิควิธีเกรเดียนต์รีคัฟเวอรีเพื่อปรับค่าผลเฉลยในแต่ละโนดในโดเมนให้มีความถูกต้องและแม่นยำขึ้นเพื่อให้ผลเฉลยที่ได้จากการคำนวณลู่เข้าสู่ผลเฉลยที่ถูกต้องโดยทำการปรับค่าเกรเดียนต์ความเร็ว สำหรับเทคนิควิธีเกรเดียนต์รีคัฟเวอรีจะมี 3 ลักษณะคือ

1. ระเบียบวิธีตรงเฉพาะที่ (local direct method)
2. ระเบียบวิธีกาลเลอร์คินวงกว้าง (global Galerkin method)
3. ระเบียบวิธีกาลเลอร์คินเฉพาะที่ (local Galerkin method)

สำหรับในวิทยานิพนธ์นี้ใช้ระเบียบวิธีตรงเฉพาะที่ซึ่งจะมีการสร้างเมทริกซ์ขนาดไม่ใหญ่ ทำให้ไม่สิ้นเปลืองหน่วยความจำในการคำนวณ ส่วนการคำนวณหาความเร็ว จะพิจารณาจากขึ้นประกอบรูปสามเหลี่ยมชนิด 6 โนด โดยใช้หลักการของกาลเลอร์คินจึงให้ $u(x(\xi, \eta), t) = \sum_{i=1}^6 \phi_i(\xi, \eta)u_i(t)$ ดังนั้นเกรเดียนต์ความเร็วจึงอยู่ในรูป

$$G_k^e(x, t) = \frac{\partial u}{\partial x_k}(x, t) \quad (3.137)$$

เมื่อ $k = 1, 2$ และ e เป็นขึ้นประกอบย่อยที่พิจารณา

จากสมการ 3.137 เมื่อแทนค่า u จะได้เกรเดียนต์ความเร็วในแต่ละขึ้นประกอบย่อยในรูป

$$G_k^e(x(\xi_j, \eta_j), t) = \sum_{i=1}^6 \frac{\partial \phi_i(\xi_j, \eta_j)}{\partial x_k} u_i(t) \quad (3.138)$$

เมื่อ ϕ_i เป็นฟังก์ชันรูปร่างแบบกำลังสอง ณ โนดที่ i และ $j = 1, 2, 3, \dots, 6$

เมื่อหาเกรเดียนต์ความเร็วในแต่ละขึ้นประกอบย่อยแล้วจะนำมาหาค่าเฉลี่ยเกรเดียนต์ความเร็วของทุกขึ้นประกอบย่อยที่มีการใช้โนดร่วมกัน

3.11 ตำแหน่งผิวอิสระ (Free surface location)

ปรากฏการณ์การบวมตัวเกิดจากการที่ช่องไหลไหลออกนอกตาย แล้วทำให้รัศมีภายนอกตายมีค่าสูงกว่ารัศมีภายในตาย ค่าที่นำมาพิจารณาคืออัตราการบวมตัว (swelling ratio) $\chi = \frac{R_j}{R}$ เมื่อ R_j เป็นรัศมี

ของของไหลที่ออกนอกตาย และ R เป็นรัศมีของปลายตาย ในการคำนวณหาตำแหน่งพื้นผิวอิสระจึงเป็นการหาค่าขอบของการบวมตัว ซึ่งสามารถพิจารณาหาตำแหน่งพื้นผิวอิสระได้ใน 3 ลักษณะคือ

3.11.1 ระเบียบวิธีการทำนายสายกระแส (streamline prediction method)

การทำนายพื้นผิวอิสระที่เกิดจากการบวมตัวของของไหลที่ไหลออกจากตาย ศึกษาได้จากงานของ Crochet et al. [32] และเป็นไปตามค่าเงื่อนไขขอบที่ว่า

$$u_r n_r + v_z n_z = 0 \quad (3.139a)$$

$$t_r n_r + t_z n_z = S \left(\frac{1}{\rho_1} + \frac{1}{\rho_2} \right) \quad (3.139b)$$

$$t_r n_z - t_z n_r = 0 \quad (3.139c)$$

เมื่อ u_r, v_z เป็นความเร็วในทิศทางรัศมี และความเร็วในทิศทางแนวแกน z ตามลำดับ

n_r, n_z เป็นส่วนประกอบของแนวฉาก (unit normal component) ที่ตำแหน่งพื้นผิวอิสระ

t_r, t_z เป็นแรงแนวฉากที่ผิว (surface force normal)

ρ_1, ρ_2 เป็นรัศมีความโค้ง (principal radii of curvature to surface) ของผิวอิสระ

S เป็นสัมประสิทธิ์แรงตึงผิว (surface tension coefficient)

เมื่อพิจารณาสมการเงื่อนไขขอบ 3.139a จะได้ระยะห่างพื้นผิวจากแกนสมมาตรเป็น

$$r(z) = R + \int_{z=0}^{\infty} \frac{u_r(z)}{v_z(z)} dz \quad (3.140)$$

เมื่อ R เป็นรัศมีของปลายตาย

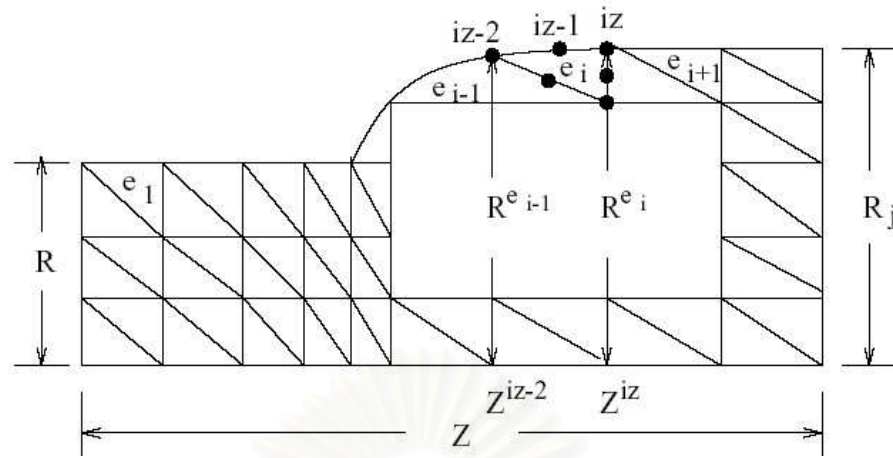
เมื่อพิจารณาโดเมนในระเบียบวิธีการขึ้นประกอบอันตะจากการคำนวณ ตามสมการ 3.140 แสดงเป็นภาพประกอบได้ดังรูปที่ 3.12 จะได้ตำแหน่งพื้นผิวอิสระในแต่ละโนดเป็น

$$R^{e_i}(z) = R^{e_{i-1}} + \int_{z=0}^{\infty} \frac{u_r^{e_i}(z)}{v_z^{e_i}(z)} dz \quad (3.141)$$

3.11.2 ระเบียบวิธีการทำนายขึ้นกับเวลา (time dependent prediction method)

กำหนดให้ความสูงของพื้นผิวอิสระที่ตำแหน่ง z ณ เวลา t อยู่ในรูป $h = h(z, t)$ โดยมีอัตราการเปลี่ยนแปลงเป็น

$$\frac{\partial h}{\partial t} = u_r - v_z \left(\frac{\partial h}{\partial z} \right) \quad (3.142)$$



รูปที่ 3.12: รูปทรงเรขาคณิตของการบวมตัว (Die swell geometry)

โดยระเบียบวิธีเทย์เลอร์-กาลอร์คิน เริ่มด้วยการกระจายอนุกรมเทย์เลอร์ สามารถจัดรูปสมการ 3.142 ได้เป็น

$$\frac{\hat{h}}{\Delta t} = u_r - v_z \left(\frac{\partial h}{\partial z} \right) \quad (3.143)$$

เมื่อ $\hat{h} = h^{k+1} - h^k$

ใช้หลักการฟังก์ชันถ่วงน้ำหนักกาลอร์คิน ในสมการ 3.143 จะได้

$$\frac{1}{\Delta t} \int_{\Omega} \Psi \hat{h} d\Omega = \int_{\Omega} \Psi \left(u_r - v_z \left(\frac{\partial h}{\partial z} \right) \right) d\Omega \quad (3.144)$$

พิจารณาปัญหาพื้นผิวอิสระเป็นปัญหาใน 1 มิติ เมื่อพิจารณาแต่ละชั้นประกอบย่อยและแทนฟังก์ชันรูปร่างแบบกำลังสอง 3.11 ลงในสมการ 3.144 และจัดให้อยู่ในรูปเมทริกซ์จะได้

$$\frac{1}{\Delta t} M \hat{h} = M \vec{u}_r - N \vec{v}_z \quad (3.145)$$

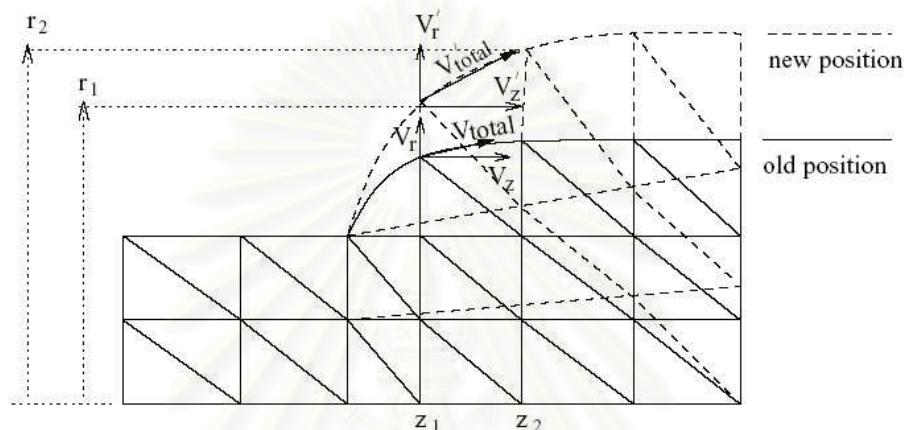
เมื่อ $M_{ij} = \int_{\Omega_e} \psi_i \psi_j d\Omega_e$

$N_{ij} = N_{ij}^* \vec{h}$

โดยที่ $N_{ij}^* = \int_{\Omega_e} \psi_i \psi_j \frac{\partial \psi_k}{\partial z} d\Omega_e$

3.12 การแสดงเวกเตอร์ภาพฉายของผิวผลเฉลย (Surface solution reprojection)

เมื่อกำหนดและปรับพื้นผิวอิสระเรียบร้อยแล้ว จะทำให้พิกัดของแต่ละโนดในโดเมนมีการเปลี่ยนแปลงไปจึงทำให้ค่าความเร็วที่คำนวณไว้แต่เดิมเป็นของพิกัดเดิม เพื่อเป็นการปรับค่าความเร็วให้ถูกต้องในตำแหน่งที่เปลี่ยนไป ให้ใช้หลักการเวกเตอร์ภาพฉายที่ผิวอิสระ



รูปที่ 3.13: การปรับปรุงค่าความเร็วสำหรับพื้นผิวอิสระ

พิจารณาจากรูป 3.13 จะได้ความสัมพันธ์ของความเร็วรวมเป็น

$$v_{total} = \sqrt{u_r^2 + v_z^2} \quad (3.146)$$

และค่ามุม θ ซึ่งเป็นมุมระหว่างแนวรัศมีและแนวแกน Z มีความสัมพันธ์เป็น

$$\theta = \arctan \left(\frac{r_2 - r_1}{z_2 - z_1} \right) \quad (3.147)$$

ดังนั้นจะได้ความเร็วบนผิวอิสระที่ปรับปรุงแล้วเป็น

$$v'_r = v_{total} \sin(\theta) \quad (3.148a)$$

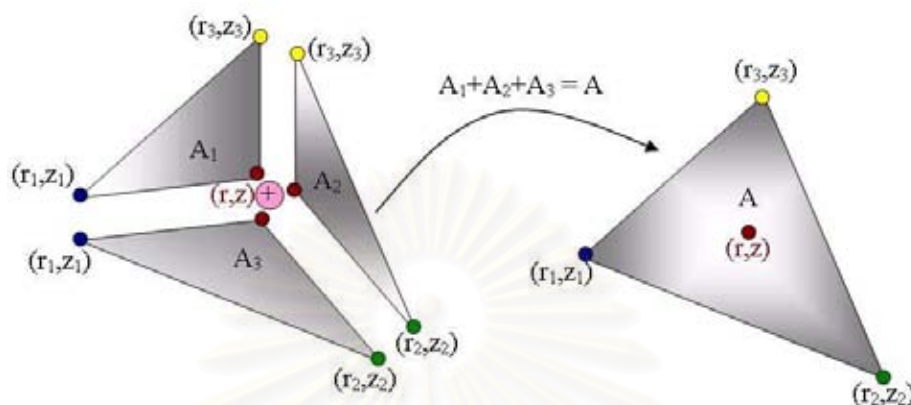
$$v'_z = v_{total} \cos(\theta) \quad (3.148b)$$

3.13 การประมาณภายในช่วง (Interpolation)

สำหรับการประมาณค่าต่างๆที่ต้องการในตำแหน่งที่มีใช้ตำแหน่งของโนดบนโดเมนให้ใช้ระเบียบวิธีขึ้นประกอบอันดับ เพื่อประมาณค่าในช่วง สำหรับ ความเร็ว ความดัน หรือความเค้น โดยมีขั้นตอนวิธีดังนี้

1. ตรวจสอบจุดในชั้นประกอบย่อย (check a point in element)

ในการตรวจสอบว่าจุดที่ต้องการทราบค่าอยู่ในชั้นประกอบย่อยใดในโดเมน ให้พิจารณาจากผลรวมของพื้นที่ย่อยในชั้นประกอบตามรูปที่ 3.14 มีค่าเท่ากับพื้นที่ของชั้นประกอบนั้น



รูปที่ 3.14: การแบ่งพื้นที่ย่อยของชั้นประกอบย่อยรูปสามเหลี่ยม

สมมติให้ $p(r, z)$ เป็นจุดในชั้นประกอบย่อย e_i ให้ A เป็นพื้นที่ของชั้นประกอบย่อย e_i ดังนั้น $A = \frac{1}{2} |(r_1 - r_3)(z_2 - z_3) - (z_1 - z_3)(r_2 - r_3)|$ จากรูปจะได้ว่า

$$A = \sum_{i=1}^3 A_i \quad (3.149)$$

2. การแปลงสู่พิกัดมาตรฐาน (ξ, η)

เมื่อทราบพิกัด $p(r, z)$ อยู่ในชั้นประกอบย่อยใดแล้ว จะแปลงพิกัด $p(r, z)$ ให้เป็นจุดในพิกัดมาตรฐาน $p'(\xi, \eta)$ ให้ทำการแปลงโดยใช้ฟังก์ชันรูปร่างในสองมิติแบบเชิงเส้นจะได้

$$\begin{aligned} r &= \sum_{i=1}^3 \psi_i(\xi, \eta) r_i \\ z &= \sum_{i=1}^3 \psi_i(\xi, \eta) z_i \end{aligned} \quad (3.150)$$

เมื่อ ψ_i คือฟังก์ชันรูปร่างสำหรับชั้นประกอบเชิงเส้นรูปสามเหลี่ยม

เนื่องจาก (r, z) เป็นค่าที่ทราบแต่ต้องการแปลงให้อยู่ในรูป (ξ, η) จากสมการ 3.150 จึงสร้าง

ระบบสมการใหม่ได้เป็น

$$\begin{aligned} f_1(\xi, \eta) &= r - \sum_{i=1}^3 \psi_i(\xi, \eta) r_i = 0 \\ f_2(\xi, \eta) &= z - \sum_{i=1}^3 \psi_i(\xi, \eta) z_i = 0 \end{aligned} \quad (3.151)$$

จากระบบสมการ 3.151 สามารถหาค่า (ξ, η) โดยอาศัยหลักการการทำซ้ำนิวตัน-ราฟสัน หรือหลักการปรับปรุงการทำซ้ำนิวตัน-ราฟสัน ศึกษาได้จากหัวข้อ 3.7.1 และ หัวข้อ 3.7.2

3. การประมาณค่า

เมื่อทราบค่า (ξ, η) จากขั้นตอนที่ 2 แล้วสามารถประมาณค่าตัวแปรที่ต้องการทราบดังนี้

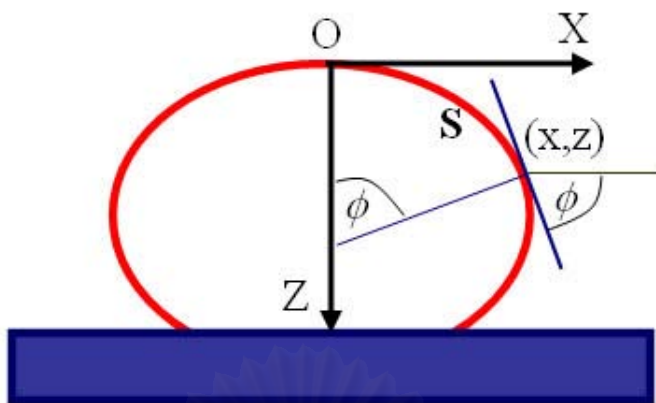
$$\begin{aligned} u_r &= \sum_{i=1}^6 \phi_i(\xi, \eta) v_{r_i} \\ v_z &= \sum_{i=1}^6 \phi_i(\xi, \eta) v_{z_i} \\ \tau &= \sum_{i=1}^6 \phi_i(\xi, \eta) \tau_i \\ p &= \sum_{i=1}^3 \phi_i(\xi, \eta) p_i \end{aligned} \quad (3.152)$$

เมื่อ ϕ_i คือ ฟังก์ชันรูปร่างของชิ้นประกอบกำลังสองรูปสามเหลี่ยม

3.14 แรงตึงผิว (Surface tension)

สำหรับพอลิเมอร์ชนิด HDPE และ LDPE แรงตึงผิวเป็นอีกหนึ่งปัจจัยที่มีผลต่อผิวอิสระของพอลิเมอร์ ซึ่งสามารถศึกษาเพิ่มเติมที่ [64] ในปี 1998 Anastasiadis et al. [65] ได้ศึกษาผลกระทบของแรงตึงผิวระหว่างพอลิเมอร์ชนิด HDPE รวมทั้ง LDPE และผิวสัมผัสหลายๆชนิดที่มีต่อผิวอิสระของพอลิเมอร์ พิจารณาความสัมพันธ์ผิวอิสระของพอลิเมอร์กับผิวสัมผัสตามรูปที่ 3.15 รูปร่างของผิวอิสระจะมีความสัมพันธ์ตามระบบสมการนี้

$$\begin{aligned} \frac{d\phi}{dS} &= \frac{2}{B} + Z - \frac{\sin \phi}{X} \\ \frac{dX}{dS} &= \cos \phi \\ \frac{dZ}{dS} &= \sin \phi \\ X(0) &= Z(0) = \phi(0) = 0 \end{aligned} \quad (3.153)$$



รูปที่ 3.15: แผนภาพผิวอิสระของพอลิเมอร์กับผิวสัมผัส

$$\text{เมื่อ } B = a \sqrt{\frac{g \delta \rho}{\gamma_{LV}}}$$

ϕ เป็นมุมระหว่างแนวตั้งฉากกับแนวของพิกัด (x, z)

S เป็นความยาวส่วนโค้งของผิวอิสระ

a เป็นรัศมีของหยดพอลิเมอร์

g เป็นค่าคงที่เนื่องจากความโน้มถ่วงของโลก (gravitational constant)

ρ เป็นความหนาแน่นของพอลิเมอร์ (polymer density)

γ_{LV} เป็นสัมประสิทธิ์แรงตึงผิวของพอลิเมอร์

Anastasiadis et al. [65] คำนวณหาค่าผิวอิสระ โดยการเปลี่ยนค่าพารามิเตอร์ B เป็นดังนี้ -2.429, -1.5539, -0.989, -0.779, -0.680, -0.649, -0.570 และ -0.440 แต่พบว่าค่าของพารามิเตอร์ B ที่เหมาะสมกับการคำนวณหาผิวอิสระของพอลิเมอร์ชนิด HDPE เป็น -0.680 ดังนั้นในวิทยานิพนธ์นี้จึงใช้ค่าพารามิเตอร์ B เป็นค่าดังกล่าวในการคำนวณหาผิวอิสระ

สถาบันวิทยบริการ
จุฬาลงกรณ์มหาวิทยาลัย

บทที่ 4

การประยุกต์ระเบียบวิธีขึ้นประกอบอันตะกับการไหลเคลือบลวด (Application of FEM for Wire Coating Flow)

4.1 ปัญหาและขอบเขต (Problem specification)

ในบทนี้จะศึกษาการใช้ระเบียบวิธีการเชิงตัวเลขในการจำลองปัญหาการไหลเคลือบเส้นลวดของพอลิเมอร์หลอมเหลวซึ่งเป็นของไหลที่มีความหนืดหยุ่นสูง ในวิทยานิพนธ์เล่มนี้ใช้พอลิเมอร์ชนิด HDPE เป็นตัวศึกษาเปรียบเทียบสำหรับด้ายประเภททิว์บูลิ่ง ตามรูปที่ 1.1(b) พบว่ารูปเรขาคณิตของหัวด้ายแบบทิว์บูลิ่งมีลักษณะที่สมมาตร ดังนั้นเพื่อเป็นการสะดวกจึงพิจารณาโดเมนของด้ายเพียงครึ่งบนดังรูปที่ 4.1



รูปที่ 4.1: โดเมนของหัวด้ายแบบทิว์บูลิ่งที่พิจารณา

กระบวนการไหลเคลือบเส้นลวดแบบทิว์บูลิ่ง พิจารณาการไหลอยู่ 2 แบบคือการไหลแบบเฉือน (shear flow) เป็นรูปแบบการไหลที่เกิดขึ้นภายในด้ายรูปวงแหวน (annular die) และการไหลแบบยืดขยาย (extension flow) เป็นรูปแบบการไหลที่เกิดขึ้นเมื่อพอลิเมอร์ไหลพ้นจากด้าย ในการฉีดพอลิเมอร์หลอมเหลวเข้าไปในเครื่องมือจะอาศัยความดันเป็นตัวขับเคลื่อนให้พอลิเมอร์เคลื่อนที่ ซึ่งพิจารณาในระบบพิกัดทรงกระบอก (RZ coordinate system) รูปแบบการไหลในแนวแกน Z ตรงทางเข้าด้ายมีลักษณะเป็นการไหลแบบวงแหวน (annular flow) ภายใต้เงื่อนไขที่ให้ความเร็วของ

พอลิเมอร์ที่ผนังตายตามแนวแกน Z มีค่าเท่ากับศูนย์หรือพอลิเมอร์ไม่มีการลื่นไหลที่ขอบตาย ซึ่งเรียกว่า no slip condition และการไหลในระบบที่กำลังพิจารณาเป็นการไหลแบบราบเรียบ (laminar flow) ดังนั้นความเร็วตามแนวแกน R ที่ขอบผนังตายทุกด้านมีค่าเท่ากับศูนย์ นอกจากนี้ยังมีเงื่อนไขความเร็วของพอลิเมอร์ที่ไหลมาปะทะเส้นลวดแล้วพอลิเมอร์ที่ผิวสัมผัสเส้นลวดต้องมีความเร็วในแนวแกน Z เท่ากับความเร็วของเส้นลวด ในปัญหาที่ศึกษานี้เป็นปัญหาถูกแปลงให้อยู่ในระบบไร้หน่วย โดยให้ความเร็วลักษณะเฉพาะคือความเร็วของเส้นลวด ดังนั้นความเร็วของพอลิเมอร์ที่ไหลมาปะทะเส้นลวดจึงมีค่าเท่ากับ 1 หน่วย พิจารณาค่าความเค้นที่ขอบทางเข้าตายสำหรับความเค้นในแนว RZ และ ZZ เป็นฟังก์ชันที่ขึ้นกับรัศมี R ส่วนความเค้นในแนว RR และ $\theta\theta$ มีค่าเท่ากับศูนย์ และค่าเงื่อนไขขอบที่สำคัญอีกอย่างคือความดันในขอบด้านผิวอิสระบนและผิวอิสระล่างเมื่อพอลิเมอร์ไหลออกจากตาย มีค่าเท่ากับศูนย์ ส่วนขอบด้านทางออกของพอลิเมอร์ไหลออกหมด ของไหลได้พัฒนารูปแบบการไหลจนกระทั่งความเร็วในแนวแกน Z เป็นการไหลแบบพ्लัก (plug flow) และมีค่าเท่ากับ 1 หน่วย และมีความเค้นในแนว RR และ ZZ รวมทั้งความดันที่ขอบด้านนี้มีค่าเท่ากับศูนย์ เรขาคณิตของโดเมนในปัญหานี้เมื่อพิจารณาในพิกัด (r,z) ณ โหนดต่างๆจะมีพิกัดเป็นดังนี้

$$\begin{aligned} A' & (1, -3), & A & (0.5, -3) \\ B' & (1, -1.95), & B & (0.5, -1.95) \\ B^{*'} & (0.7, -1.43), & B^* & (0.5, -1.43) \\ C^{*'} & (0.37, -0.85), & C^* & (0.17, -0.85) \\ C' & (0.25, -0.65), & C & (0.17, -0.65) \\ D' & (0.25, 0), & D & (0.17, 0) \\ E' & (0.21, 1), & E & (0.09, 1) \\ F' & (0.21, 2), & F & (0.09, 2) \end{aligned}$$

แสดงดังรูปที่ 4.2

สรุปค่าเงื่อนไขขอบของปัญหาการไหลเคลือบเส้นลวดที่ศึกษา ได้ดังนี้

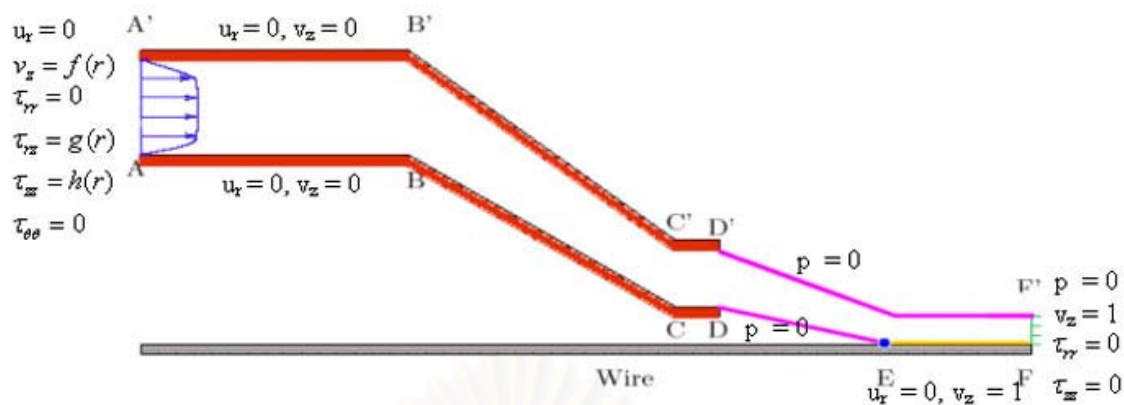
ขอบทางเข้าของพอลิเมอร์ $A'A$

$$u_r = 0, v_z = f(r), \tau_{rr} = 0, \tau_{rz} = g(r), \tau_{zz} = h(r), \tau_{\theta\theta} = 0 \quad (4.1a)$$

เมื่อ

$$f(r) = \frac{Pb^2}{4\mu L} \left\{ 1 - \left(\frac{r}{b}\right)^2 + \frac{1}{\ln\left(\frac{a}{b}\right)} \left[\left(\frac{a}{b}\right)^2 - 1 + \frac{4\mu LV_{wire}}{Pb^2} \right] \ln\left(\frac{r}{b}\right) \right\} \quad (4.1b)$$

$$\frac{\partial \tau_{rz}}{\partial t} = \frac{\mu_1}{We} \frac{\partial v_z}{\partial r} - \frac{f}{We} \tau_{rz} \quad (4.1c)$$



รูปที่ 4.2: ค่าเงื่อนไขขอบในเครื่องมือแบบทวิวัสดุ

$$\frac{\partial \tau_{zz}}{\partial t} = 2\tau_{rz} \frac{\partial v_z}{\partial r} - \frac{f}{We} \tau_{zz} \quad (4.1d)$$

ขอบผนังตายด้านบน $A'D'$ และขอบผนังตายด้านล่าง AD

$$u_r = 0, v_z = 0 \quad (4.1e)$$

ขอบอิสระด้านบน $D'F'$ และขอบอิสระด้านล่าง DE

$$p = 0 \quad (4.1f)$$

ขอบที่พอลิเมอร์ประทะเส้นลวด EF

$$u_r = 0, v_z = 1 \quad (4.1g)$$

ขอบทางออกของพอลิเมอร์ $F'F$

$$p = 0, u_r = 0, v_z = 1, \tau_{rr} = 0, \tau_{zz} = 0 \quad (4.1h)$$

ในวิทยานิพนธ์นี้แบ่งโดเมนของทวิวัสดุออกเป็นสี่ประกอบย่อยรูปสามเหลี่ยมสองลักษณะดังตารางที่ 4.1 และรูปที่ 4.3

สำหรับการการคำนวณหาความเร็วและความเค้นจะใช้โนดทั้งหมดในการคำนวณ แต่สำหรับความดันจะใช้เพียงโนดจุดยอดเท่านั้น ในส่วนของการคำนวณเพื่อหาผิวอิสระเมื่อพอลิเมอร์หลอมเหลวไหลมาจากตายจะใช้เพียงโนดที่ขอบด้านผิวอิสระบนและผิวอิสระล่าง

ชนิดชิ้นประกอบ	จำนวนชิ้นประกอบ	จำนวนโนด	ดีกรีความอิสระ (degrees of freedom, DOF)
รูปสามเหลี่ยม	4714	9755	61051

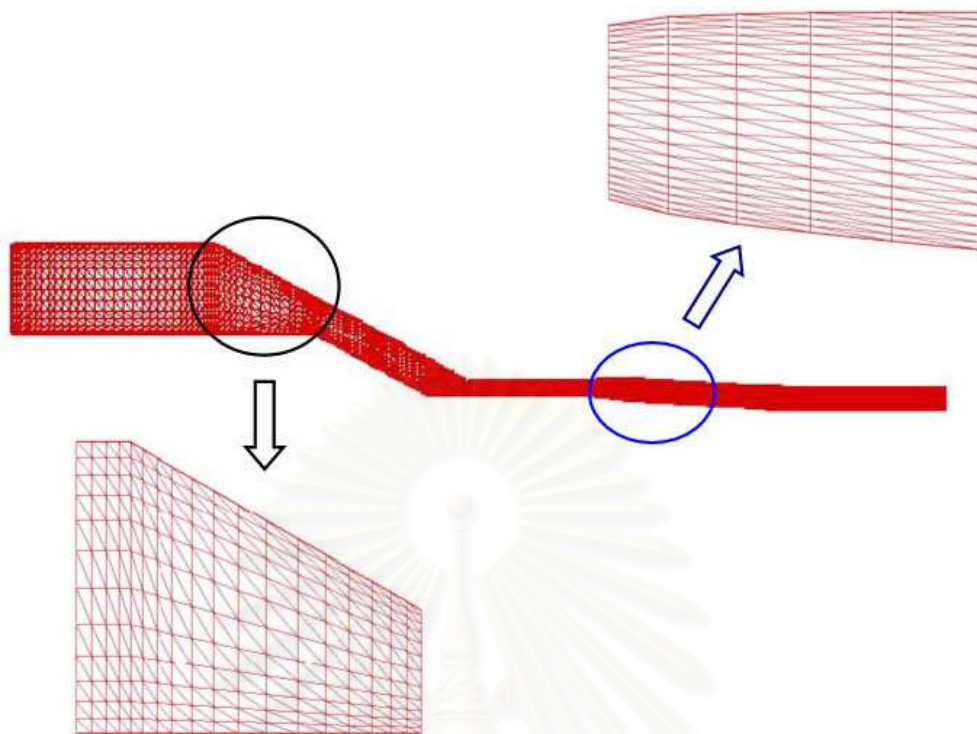
ตารางที่ 4.1: ชิ้นประกอบย่อยรูปสามเหลี่ยมของดาดแบบทิวบูลิ่ง

4.2 ขั้นตอนวิธี (Algorithm)

4.2.1 ขั้นตอนวิธีสำหรับการสร้างชิ้นประกอบย่อย (algorithm for mesh generation)

ในการสร้างชิ้นประกอบย่อยจะอาศัยฟังก์ชันรูปร่างสำหรับ 2 มิติที่ได้กล่าวไว้ในบทที่ 3 ซึ่งใช้ฟังก์ชันรูปร่างสำหรับชิ้นประกอบรูปสี่เหลี่ยมชนิด 8 โหนด [50, 51, 52, 53, 54, 55, 57] ในการประมาณค่าหาพิกัดต่างๆ ในโดเมน โดยสามารถแบ่งโดเมนออกเป็นโดเมนย่อยๆ ได้ ดังนั้นในการระบุโนดที่เป็นตัวอ้างอิงทั้ง 8 โหนดจึงมีความสำคัญ เพื่อให้รูปร่างของโดเมนที่ต้องการดังรูปที่ 3.8 โดยมีขั้นตอนในการสร้างชิ้นประกอบย่อยดังต่อไปนี้

1. นำเข้าข้อมูลที่ใช้ในการสร้างชิ้นประกอบย่อย ซึ่งมีรายละเอียดดังรูปที่ 4.4
2. เทียบอัตราส่วนเพื่อหาพิกัดของโนดจุดยอดในระบบพิกัดมาตรฐานที่อยู่ในรูปของ (ξ, η)
3. แปลงโนดจุดยอดจากระบบพิกัดมาตรฐานให้อยู่ในระบบพิกัดทรงกระบอก 2 มิติโดยใช้หลักการของฟังก์ชันรูปร่างของรูปสี่เหลี่ยมชนิด 8 โหนด
4. หาพิกัดของโนดกึ่งกลาง (midside node) ซึ่งได้จากการหาค่าเฉลี่ยระหว่างโนดจุดยอด
5. สร้างความเชื่อมต่อระหว่างโนดในแต่ละชิ้นประกอบย่อย
6. กำหนดค่าเงื่อนไขเริ่มต้นให้ทุกโนดบนโดเมน
7. ค้นหาโนดที่ขอบต่างๆ พร้อมกำหนดค่าขอบ
8. บันทึกผลในไฟล์ข้อมูล
9. จบการทำงาน



รูปที่ 4.3: ชั้นประกอบย่อยในโดเมนของหัวตายแบบทิว์บูลิ่ง

4.2.2 ขั้นตอนวิธีสำหรับระเบียบวิธีชั้นประกอบอันดับ (algorithm for FEM)

สรุปได้เป็นขั้นตอนดังต่อไปนี้

1. วิเคราะห์ปัญหาเกี่ยวกับสมการควบคุมและสมการองค์ประกอบ
2. ใช้ระเบียบวิธีเทเลอร์-กาลูร์คินกับสมการควบคุมและสมการองค์ประกอบ
3. แก่ระบบสมการในขั้นตอนที่ 1a เพื่อหาค่า $(u_r, v_z, T_{rr}, T_{rz}, T_{zz}, T_{\theta\theta})^{n+\frac{1}{2}}$ ซึ่งเป็นค่าความเร็วและความเค้นในเวลา $n + \frac{1}{2}$ ตามลำดับ
4. แก่ระบบสมการในขั้นตอนที่ 1b เพื่อหาค่า $(u_r, v_z)^*$ เป็นความเร็ว ณ เวลา * และ $(T_{rr}, T_{rz}, T_{zz}, T_{\theta\theta})^{n+1}$ เป็นความเค้นในเวลา $n + 1$
5. แก่ระบบสมการในขั้นตอนที่ 2 เพื่อคำนวณหาค่าความดัน ณ เวลา $n + 1$, p^{n+1}
6. แก่ระบบสมการในขั้นตอนที่ 3 เพื่อคำนวณหาความเร็ว $(u_r, v_z)^{n+1}$ ณ เวลา $n + 1$
7. คำนวณหาผิวอิสระ

```

number_of_line_comment|
7
#*****By_Saitharn_Thenissara*****
#acbiashor_1_top-bottom_or_2_bottom-top_same_v
#acbiasver_1_left-right_or_2_right-left
#order_of_node_vertexnode_b1-br-tr-t1_midnode_
#numshape_3and6_be_triangular_or4and8_be_Quadr
#kind_of_triangle_1_down-up_or_2_up-down(typet
#*****
numsec
7
numhor
15
acbhor  biash
2 0.5
section1
Numshape
6
typetri_only_triangular_elements
2
numver
15
acbver  biasv
2 0.5
coordinate
-3 0.5
-1.95 0.5
-1.95 1
-3 1
-2.475 0.5
-1.95 0.75
-2.475 1
-3 0.75

```

รูปที่ 4.4: ตัวอย่างไฟล์ข้อมูลสำหรับการสร้างชิ้นประกอบย่อย

8. คำนวณหาค่าความคาดเคลื่อน หากยังไม่ได้ค่าที่ต้องการกลับไปทำขั้นตอนที่ 3
9. แสดงผล

4.3 ผลที่ได้รับและวิเคราะห์ผล (Results and discussion)

จากการคำนวณค่าต่างๆที่มีผลต่อการไหลของพอลิเมอร์หลอมเหลวสำหรับปัญหาการไหลเคลือบลาดแบบทิว์บูลิ่ง เป็นการจำลองปัญหาสำหรับของไหลชนิดอนนิวโตเนียนและใช้ตัวแบบเพนเทียน-เทนเนอร์ รูปแบบสมการเลขชี้กำลัง (exponential Phan-Thien/Tanner model, EPTT) โดยใช้ค่า $\epsilon = 0.02$, $\xi = 0.0$, $\mu_V = 0.99$ และ $\mu_N = 0.01$ เนื่องจากเป็นค่าที่แสดงให้เห็นถึงความแตกต่างของพฤติกรรมการยืดและการเนียนของของไหล พิจารณาเหตุผลประกอบได้จาก [7, 15, 38] ในที่นี้จะทำการเปรียบเทียบค่าตัวเลข We จำนวน 4 ค่าคือ 50, 100, 150, 200 มีรายละเอียดดังตารางที่ 4.2

ผลเฉลย	$We = 50$	$We = 100$	$We = 150$	$We = 200$
u_{rmin}	-0.3980	-0.3725	-0.3601	-0.3562
u_{rmax}	0.5937	0.4627	0.4128	0.3896
v_{zmin}	0	0	0	0
v_{zmax}	1.7526	1.6570	1.6281	1.6188
$\dot{\gamma}_{min}$	0.006	0.002	0.001	0.000
$\dot{\gamma}_{max}$	579.515	413.894	362.888	313.361
$\dot{\epsilon}_{min}$	0	0	0	0
$\dot{\epsilon}_{max}$	3.9113	4.2901	4.4941	4.5779
Δp	21.0919	18.5176	17.6413	17.2002
τ_{rzmin}	-2.8630	-1.5420	-1.0786	-0.8421
τ_{rzmax}	7.7824	4.0724	2.8070	2.2948
τ_{zzmin}	-239.452	-102.541	-63.321	-46.060
τ_{zzmax}	13.6905	6.0634	5.1391	3.7095
χ_{max}	1.5518	1.5516	1.5513	1.5511

ตารางที่ 4.2: เปรียบเทียบค่าสูงสุดที่ได้จากการคำนวณ

จุฬาลงกรณ์มหาวิทยาลัย

สำหรับของไหลชนิด PTT ที่มีค่า $We = 200$ จากการคำนวณพบว่าพอลิเมอร์มีทิศทางการไหลดังรูปที่ 4.5 ความเร็วที่ไหลเข้ามาในด้ายแบบทวิขั้วทูลิ่งมีลักษณะการไหลแบบวงแหวน และค่อยๆพัฒนารูปแบบการไหลไปเป็นการไหลแบบพาราโบลา (Poiseuille flow) ตรงบริเวณที่แคบที่สุดของด้าย และเมื่อช่องไหลไหลออกจากด้ายพบว่ารูปแบบการไหลได้พัฒนาจนกระทั่งกลายเป็นการไหลแบบสม้าเสมอ (plug flow) ที่ปลายสุดของโดเมนจะมีค่าเท่ากับความเร็วของเส้นลวด ดังรูปที่ 4.6(a) แต่สำหรับความเร็วในแนวรัศมีหรือความเร็วในแนว R จะมีค่าน้อยมากจนเกือบเป็นศูนย์ ยกเว้นบริเวณใกล้ทางออกจากด้าย u_r จะมีค่าสูงกว่าตำแหน่งอื่น เนื่องจากของไหลเกิดการบวมตัวเมื่อไหลออกจากด้าย ดังรูปที่ 4.6(b) พิจารณาความดันจะเห็นว่าบริเวณทางเข้าด้ายจะมีค่าความดันสูงสุด และมีค่าลดลงเรื่อยๆแบบสม้าเสมอ จนกระทั่งเป็นศูนย์ เมื่อช่องไหลไหลออกจากด้าย ดังรูปที่ 4.6(c) ที่มีลักษณะอย่างนี้เนื่องจากความดันเป็นส่วนผลักดันให้ของไหลเกิดการเคลื่อนที่ออกจากด้าย แต่เนื่องจากของไหลมีแรงเสียดทานต้าน จึงทำให้ความดันค่อยๆลดลงจนมีค่าเป็นศูนย์ในที่สุด สำหรับค่าความเค้นจะแยกพิจารณาในแต่ละทิศทางดังนี้ ความเค้นเฉือนในแนว RZ จะมีค่าน้อยมาก (มีค่าเข้าใกล้ศูนย์) แต่จะมีค่าเพิ่มขึ้นเมื่อของไหลไหลชนผนังด้ายที่ทำให้ของไหลเริ่มเปลี่ยนทิศทางการไหลลงไปสู่ส่วนที่แคบที่สุดของด้าย ดังรูปที่ 4.6(d) ความเค้นในแนว ZZ จะมีค่าน้อยมาก (มีค่าเข้าใกล้ศูนย์) แต่มีค่าสูงบริเวณขอบด้ายบริเวณที่แคบที่สุด ดังรูปที่ 4.6(e) สำหรับอัตราเฉือน $\dot{\gamma}$ เป็นค่าที่บ่งบอกถึงลักษณะการเปลี่ยนแปลงรูปร่างของของไหล จะพบว่าบริเวณที่แคบที่สุดของด้ายและทางออกของด้ายเป็นตำแหน่งที่ของไหลมีการเปลี่ยนแปลงมากซึ่งเกิดจากการเปลี่ยนทิศทางการไหลและการบวมตัวจึงทำให้ $\dot{\gamma}$ มีค่าสูง ดังรูปที่ 4.6(f) ส่วนรูปที่ 4.6(g) เป็นการแสดงค่าของอัตราการยืดขยายของของไหล พบว่าบริเวณที่ของไหลมีการเปลี่ยนทิศทางในแนวยืดขยายออกจะทำให้ $\dot{\epsilon}$ มีค่าสูง

เนื่องจากปัญหาการไหลเคลือบเส้นลวดที่กำลังศึกษาอยู่ภายใต้สมมติฐานที่ว่า ของไหลไหลแบบราบเรียบดังนั้น ค่าความเร็วในแนว R จึงมีค่าเกือบเป็นศูนย์ ($U_r \rightarrow 0$) พบว่า U_r มีค่าสูงสุดบริเวณทางออกของด้ายซึ่งเป็นค่าบวก นั้นหมายความว่าของไหลมีความเร็วในแนว R ที่เพิ่มขึ้นทำให้ของไหลบวมตัวขึ้นดังลักษณะของผิวอิสระบน และสังเกตพบว่าค่าน้อยที่สุดของ U_r มีเครื่องหมายติดลบที่บริเวณทางออกด้ายขอบล่าง นั้นหมายความว่า U_r เกิดการเคลื่อนตัวในทิศทางลงล่างของแนว R ที่ขอบล่าง ทำให้ของไหลบวมตัวที่บริเวณผิวอิสระล่างซึ่งเป็นทิศทางที่สวนทางกับ R ที่มีค่าเป็นบวก แสดงค่าในตารางที่ 4.2 นอกจากนี้ยังพบว่าค่า U_r จะมีค่าลดลงเมื่อ We มีค่าเพิ่มขึ้น เนื่องจากลักษณะการบวมตัวของพอลิเมอร์เกิดการบวมตัวได้น้อยลงเมื่อค่า We เพิ่มขึ้น

ความเร็วในแนว Z มีค่าสูงสุดในบริเวณที่แคบที่สุดของตาย คือบริเวณที่ใกล้ๆทางออกตาย การที่ V_z มีค่าสูงในบริเวณทางออกตาย เนื่องจากบริเวณนี้แคบจึงทำให้ความเร็ว V_z มีค่ามาก ดังนั้นของไหลจึงมีการอัดตัวมากที่บริเวณนี้ก่อนเกิดการบวมตัวหลังจากตาย และพบว่าเมื่อค่าของ We เพิ่มขึ้น V_z จะมีค่าลดลง เนื่องมาจากการบวมตัวที่ลดลง จึงทำให้การอัดตัวของของไหลมีค่าน้อยลงตาม

พิจารณาค่าสูงสุดของอัตราเฉือน $\dot{\gamma}$ พบว่ามีค่าสูงสุดในตำแหน่งของตายที่มีการหักงอมากที่สุด จากรูปที่ 4.2 จะเป็นจุด C' พิจารณาสมการ 2.39 พบว่าเมื่อ We มีค่าเพิ่มขึ้นจะทำให้ความหนืดเฉือนมีค่าลดลง จึงส่งผลให้ค่าอัตราเฉือนลดลง ดังนั้นสรุปได้ว่าเมื่อ We มีค่าเพิ่มขึ้นจะทำให้ $\dot{\gamma}$ มีค่าลดลง

พิจารณาค่าอัตราการยืดขยาย $\dot{\epsilon}$ พบว่ามีค่าสูงสุดบริเวณทางออกของตายทั้งขอบบนและขอบล่าง รวมทั้งบริเวณที่เกิดการบวมตัวขึ้นสูงสุดและต่ำสุด $\dot{\epsilon}$ จะมีค่าสูงเช่นกัน เนื่องจากบริเวณดังกล่าวพอลิเมอร์มีการยืดขยายซึ่งเกิดจากการบวมตัวของพอลิเมอร์เมื่อไหลออกจากตาย แต่ค่าต่ำสุดของ $\dot{\epsilon}$ มีค่าเท่ากับศูนย์ เนื่องจากไม่มีการหดตัวของพอลิเมอร์ ในความหมายทางฟิสิกส์ค่า We เป็นค่าบอกถึงความเปราะบางของพอลิเมอร์ ดังนั้นหาก We มีค่ามากก็แสดงว่าพอลิเมอร์นั้นมีความเปราะบางสูง ส่งผลให้ค่าของ $\dot{\epsilon}$ มีแนวโน้มเพิ่มขึ้นเมื่อ We เพิ่มขึ้น

สังเกตพบว่าเมื่อความเร็ว V_z มีค่ามากจะทำให้ความเค้นฉาก τ_{zz} มีค่ามาก เนื่องจากอนุภาคของพอลิเมอร์มีการเปลี่ยนแปลงในแนว ZZ มากในทำนองเดียวกันเมื่อค่าอัตราเฉือน $\dot{\gamma}$ มีค่ามากจะส่งผลทำให้พอลิเมอร์มีการเปลี่ยนแปลงรูปร่างมากจึงทำให้ค่าของความเค้นเฉือน τ_{rz} มีค่าสูงตาม ด้วยเหตุผลทั้งสองประการจึงทำให้ τ_{zz} และ τ_{rz} ต่างมีแนวโน้มลดลงเมื่อค่า We เพิ่มขึ้น ส่วนความเค้นในแนว RR และ $\theta\theta$ ไม่นำมาพิจารณาในที่นี้ เนื่องจากทั้งสองค่านี้มีค่าน้อยมาก จนเกือบเป็นศูนย์ นั่นคือ $\tau_{rr} \rightarrow 0$ และ $\tau_{\theta\theta} \rightarrow 0$ เนื่องจากสมมติฐานที่ให้ของไหลไหลแบบราบเรียบและไม่ไหลหมุนวน ซึ่งผลจากการคำนวณที่ได้สอดคล้องการศึกษาของ Mutlu et al. [7], Ngamaramvaranggul และ Webster [15] รวมทั้ง Mattallah et al. [38]

ค่าพิกัด R แสดงถึงตำแหน่งของผิวอิสระ เกิดขึ้นเมื่อพอลิเมอร์ออกจากตายที่ตำแหน่ง $z = 0$ ดังรูปที่ 4.7 สำหรับผิวอิสระบนแสดงดังรูปที่ 4.8(a) และผิวอิสระล่างแสดงดังรูปที่ 4.8(b) พิจารณาค่า We ที่ต่างกัน พบว่าความแตกต่างกันของผิวอิสระบนน้อยมาก เนื่องจากอัตราการบวมตัว ($\chi = \frac{R_{DieExit}}{R_{swell}}$) ของของไหลมีค่าไม่แตกต่างกันนัก เมื่อ $R_{DieExit}$ คือรัศมีของปากทางออกตายนั้นคือระยะ $D'D$ และ R_{swell} คือรัศมีค่าสูงสุดของการบวมตัวของพอลิเมอร์ ซึ่งค่าได้แสดงไว้ในตารางที่ 4.2 จาก

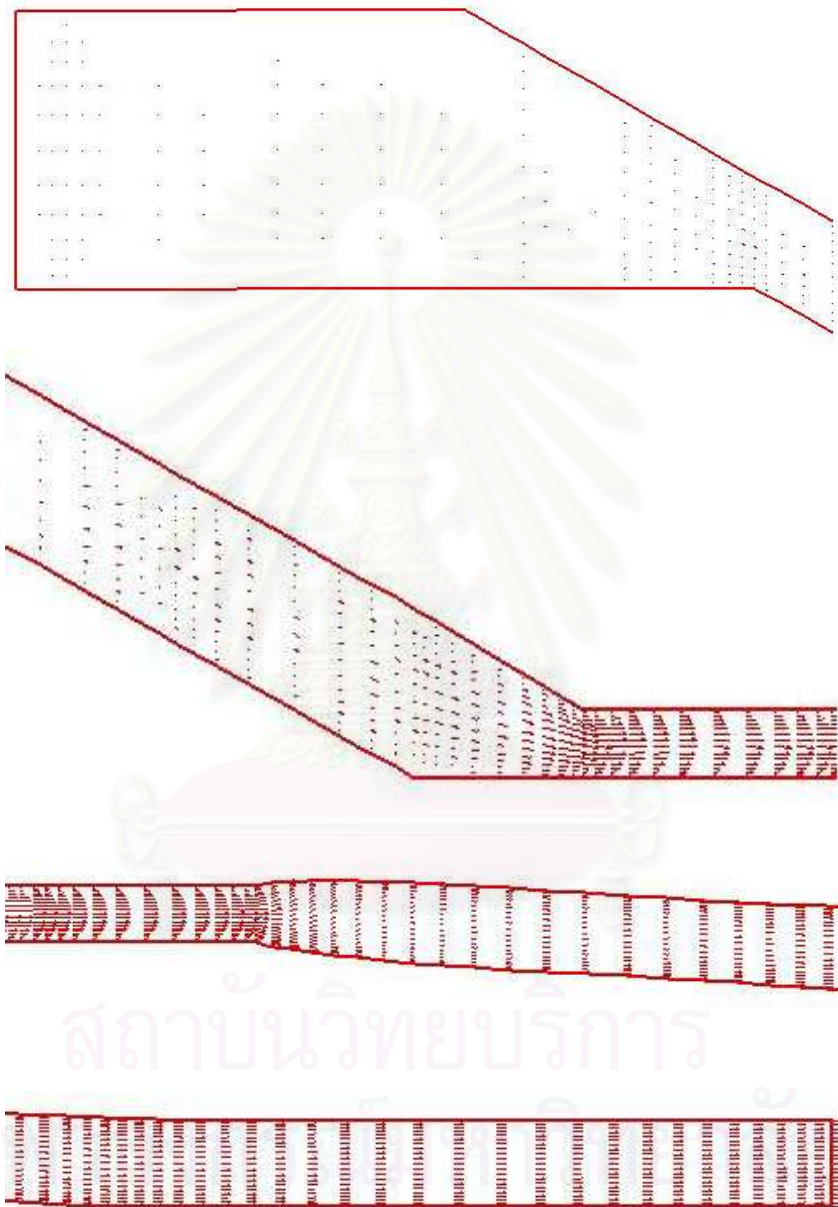
รูปที่ 4.8(a) พบว่าผิวอิสระบนมีค่าเพิ่มขึ้นในช่วงแรกที่ออกจากตายเนื่องจากการบวมตัวของพอลิเมอร์ จากนั้นจะค่อยลดระดับลงเรื่อยๆ จนกระทั่งผิวอิสระบนเริ่มคงที่ที่ $z = 1.08$ ซึ่งเป็นผลมาจากแรงดึงผิวของพอลิเมอร์ จึงส่งผลให้ผิวอิสระล่างของแต่ละค่า We จึงมีค่าใกล้เคียงกันมาก เมื่อพิจารณาผิวอิสระล่างของการบวมตัว สามารถวิเคราะห์หาจุดคอนแทรกชันซึ่งเป็นจุดแรกที่พอลิเมอร์ไหลออกมาสัมผัสกับเส้นลวดในกระบวนการเคลือบเส้นลวดแบบทวิเบอร์ูลิ่ง จากการคำนวณได้ค่าในลักษณะดังรูปที่ 4.7 และรูปที่ 4.8(b) พบว่าตำแหน่งที่พอลิเมอร์ไหลประทะเส้นลวดคือจุดที่ผิวอิสระล่างเริ่มคงที่ ณ $r = 0.09$ และตำแหน่ง $z = 0.98$ พิจารณาจากรูปที่ 4.2 จะกล่าวได้ว่าจุดคอนแทรกชันคือจุด E ในงานวิจัยนี้ E จะมีพิกัด (r, z) เป็น $(0.09, 0.98)$ สังเกตจากอัตราการบวมตัวของพอลิเมอร์ที่ค่า We ต่างๆมีค่าใกล้เคียงกันมาก แสดงค่าดังตารางที่ 4.2 ซึ่งผลที่ได้เป็นในทิศทางเดียวกันกับงานวิจัยของ Mutlu et al. [7], Ngamaramvaranggul และ Webster [15] รวมทั้ง Mattallah et al. [38] ผลจากการคำนวณจะพบว่าลักษณะของทั้งผิวอิสระบนและผิวอิสระล่างในแต่ละค่า We แทบจะไม่มีแตกต่างกัน จึงส่งผลทำให้ได้จุดคอนแทรกชันเกือบเป็นจุดเดียวกัน

ความเค้นเฉือน τ_{rz} บนขอบบนและล่างสำหรับ We ค่าต่างๆ แสดงดังรูปที่ 4.9(a) และ 4.9(b) พบการเปลี่ยนแปลงความเค้นเฉือนที่ขอบบนและขอบล่างมีค่าเพิ่มขึ้นบริเวณที่ช่องไหลมีการเปลี่ยนทิศทางการไหลหรือการเปลี่ยนรูปร่างของการไหล เมื่อพิจารณาจากรูปที่ 4.2 บริเวณที่ $z = -0.65$ และ $z = 0$ เป็นช่วงที่ตายมีการหักงอและเป็นทางออกของตาย ซึ่งเป็นช่วงที่พอลิเมอร์มีการเปลี่ยนทิศทางและพอลิเมอร์เกิดการบวมตัวทำให้ τ_{rz} ในช่วงนี้มีค่าเพิ่มขึ้น

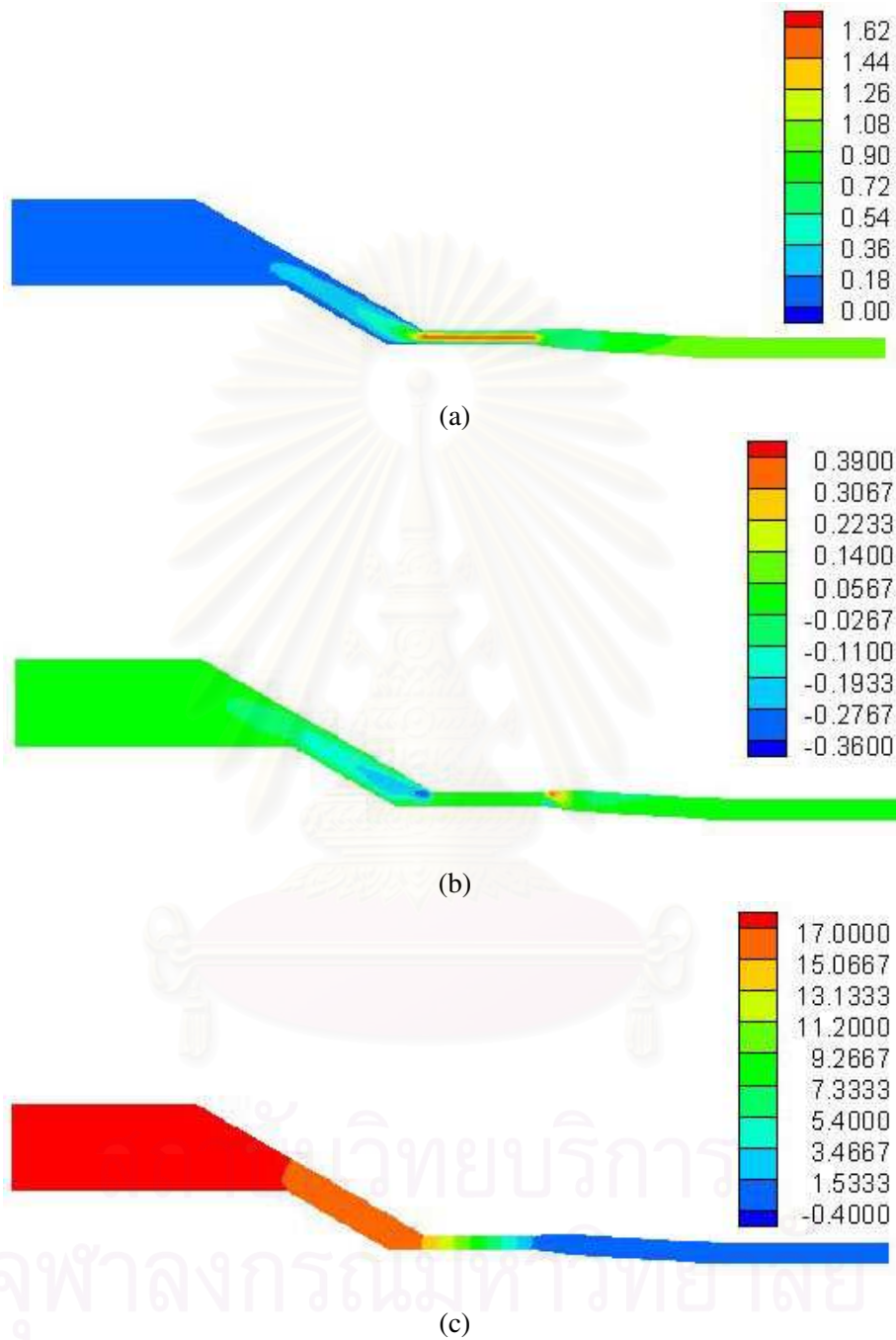
ความเค้นฉาก τ_{zz} บนขอบบนและล่าง พบว่ามีค่าค่อนข้างสูงบริเวณส่วนที่แคบที่สุดของตายคือช่วง $C'C$ ถึง $D'D$ ตามรูปที่ 4.2 ซึ่งบริเวณขอบบนและขอบล่างของตายบริเวณนี้ τ_{zz} มีค่าค่อนข้างสูง เนื่องจากอนุภาคของพอลิเมอร์ถูกบีบอัดให้ไหลผ่านช่องทางที่แคบลง ทำให้แรงกระทำในแนว ZZ มีค่ามาก และในตำแหน่งของทางออกตายเป็นบริเวณที่ τ_{zz} มีค่าสูงสุด เนื่องจากแรงกระทำในแนว ZZ เพิ่มขึ้นเนื่องจากการบวมตัวของพอลิเมอร์ ดังรูปที่ 4.10(a) และ 4.10(b) ซึ่งให้ผลในลักษณะทำนองเดียวกับความเค้นเฉือน

อัตราเฉือนเป็นค่าที่แสดงถึงการเปลี่ยนแปลงรูปร่างของช่องไหล พบว่าค่าของอัตราเฉือน $\dot{\gamma}$ บนขอบบนและขอบล่างแสดงดังรูปที่ 4.11(a) และ 4.11(b) มีค่ามากบริเวณที่ช่องไหลมีการเปลี่ยนแปลงรูปร่างหรือเปลี่ยนทิศทางการไหล จากรูปที่ 4.2 $\dot{\gamma}$ มีค่ามากช่วงที่ตายมีการหักงอ $C'C$ และบริเวณที่เป็นทางออกตาย $D'D$

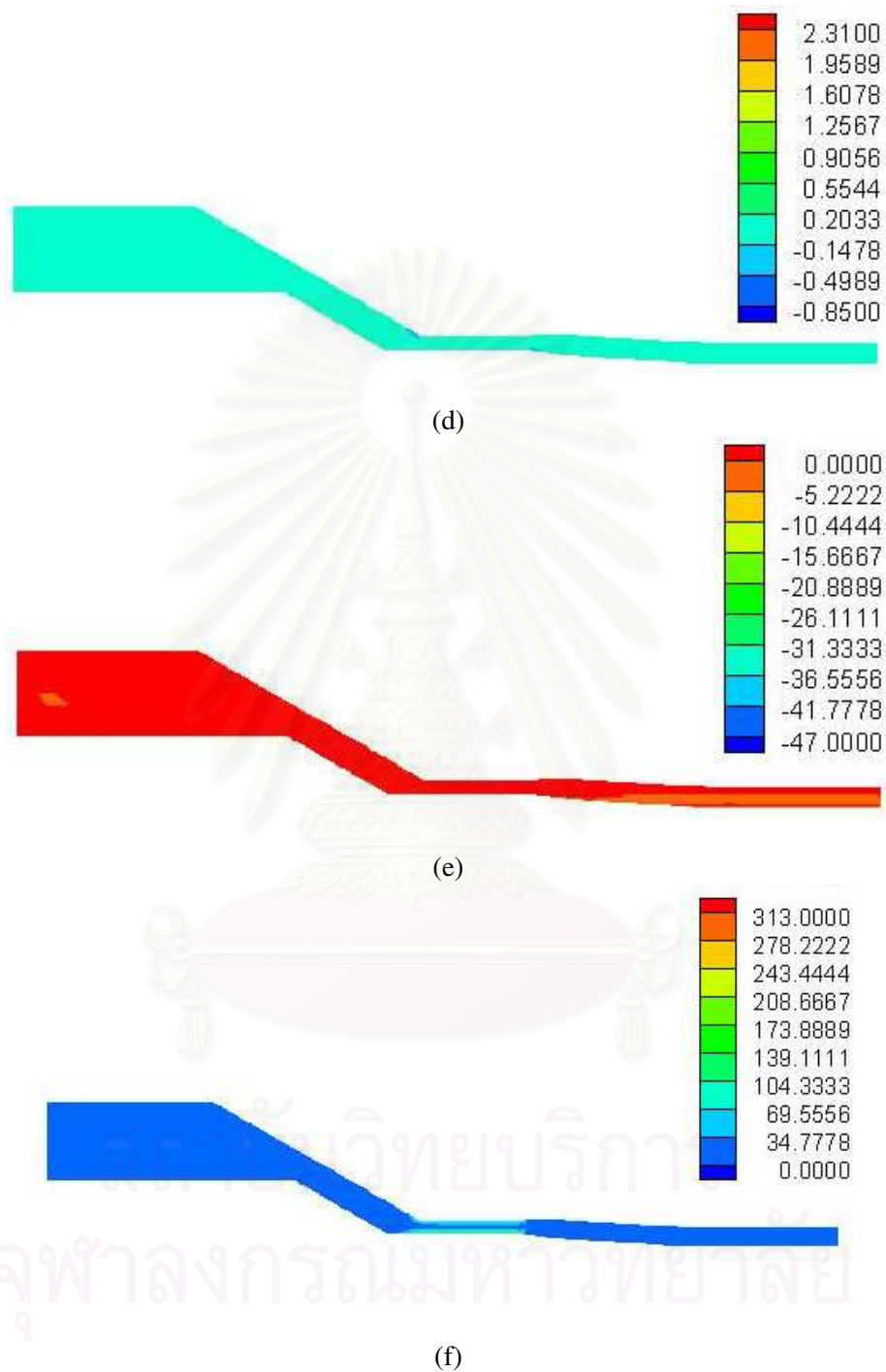
ส่วนอัตราการยืดขยาย $\dot{\epsilon}$ เป็นอีกค่าที่แสดงถึงการเปลี่ยนแปลงรูปร่างของของไหลในลักษณะการยืดหรือการขยาย พบว่าบริเวณที่ของไหลเกิดการบวมตัวในช่วง DE และ $D'F'$ $\dot{\epsilon}$ จะมีค่าเพิ่มขึ้นแต่จะมีค่าสูงสุดบริเวณที่มีการบวมตัวมากที่สุดและบริเวณทางออกตาย ดังรูปที่ 4.12(a) และ 4.12(b)



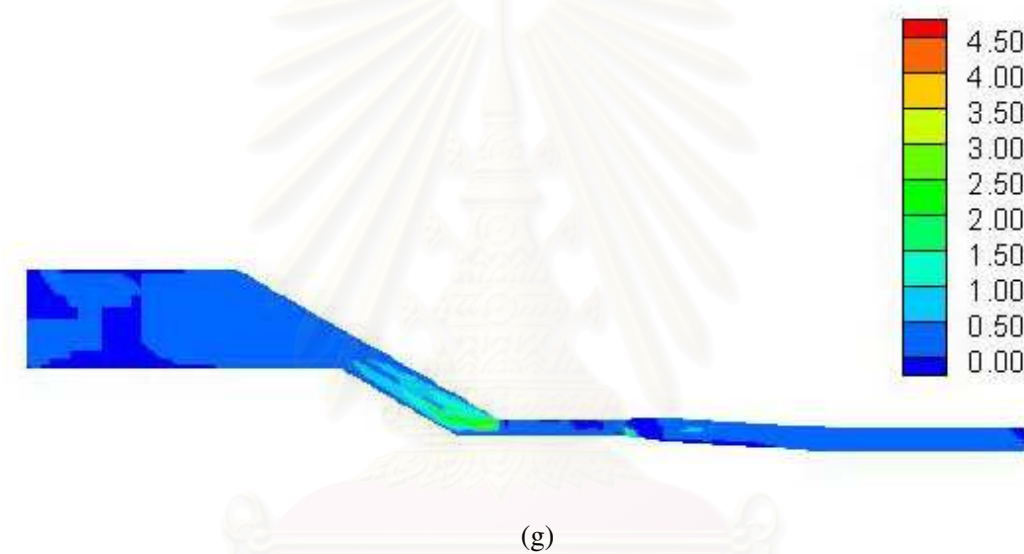
รูปที่ 4.5: ทิศทางการไหลของพอลิเมอร์ในกระบวนการเคลือบแบบทิว์ทูลิ่ง สำหรับ $We = 200$



รูปที่ 4.6: เส้นโครงร่างสำหรับ $PTT(\dot{\epsilon} = 0.02, \xi = 0.0, \mu_N = 0.99)$ และ $We = 200$ (a) V_z
 (b) U_r (c) P (d) τ_{rz} (e) τ_{zz} (f) $\dot{\gamma}$ (g) $\dot{\epsilon}$

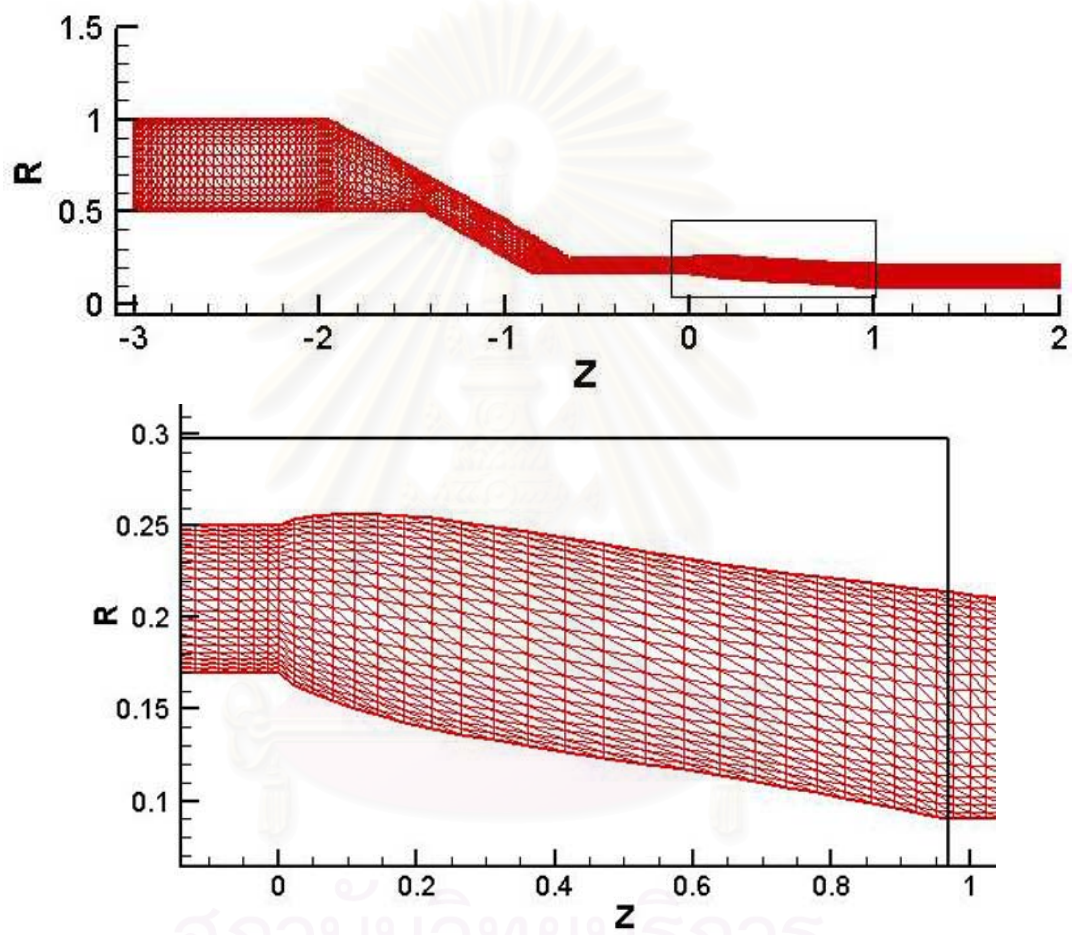


รูปที่ 4.6: เส้นโครงร่างสำหรับ $PTT(\dot{\epsilon} = 0.02, \xi = 0.0, \mu_N = 0.99)$ และ $We = 200$ (a) V_z
 (b) U_r (c) P (d) τ_{rz} (e) τ_{zz} (f) $\dot{\gamma}$ (g) $\dot{\epsilon}$



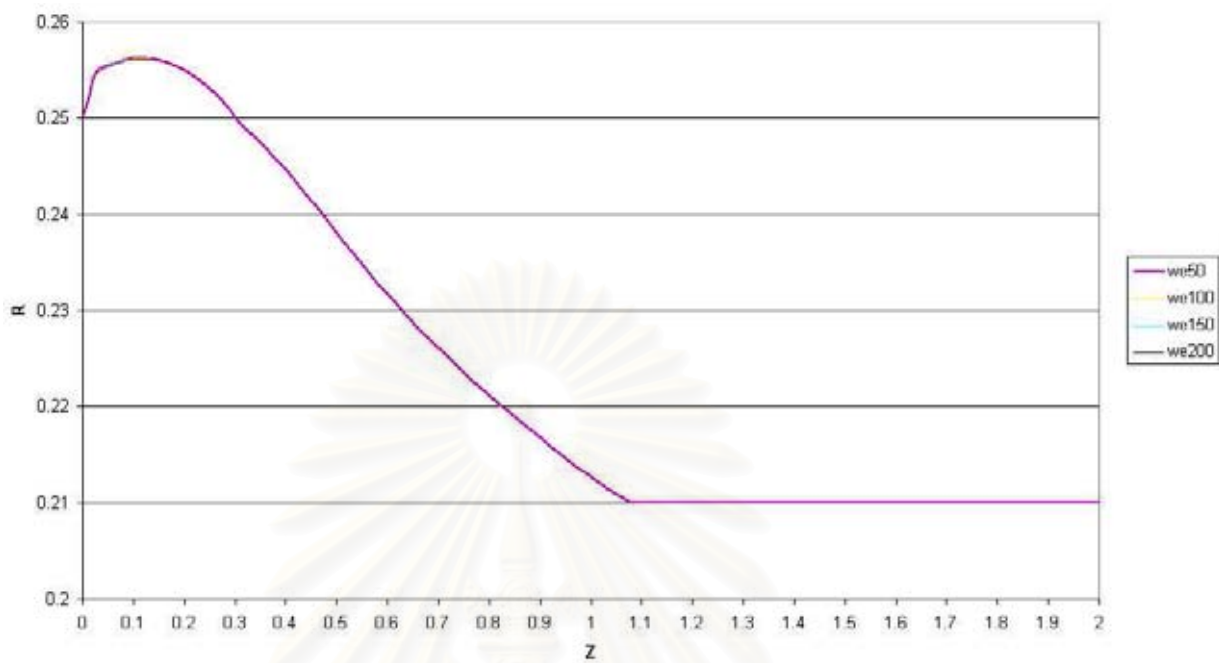
รูปที่ 4.6: เส้นโครงร่างสำหรับ $PTT(\dot{\epsilon} = 0.02, \xi = 0.0, \mu_N = 0.99)$ และ $We = 200$ (a) V_z
 (b) U_r (c) P (d) τ_{rz} (e) τ_{zz} (f) $\dot{\gamma}$ (g) $\dot{\epsilon}$

สถาบันวิทยบริการ
 จุฬาลงกรณ์มหาวิทยาลัย

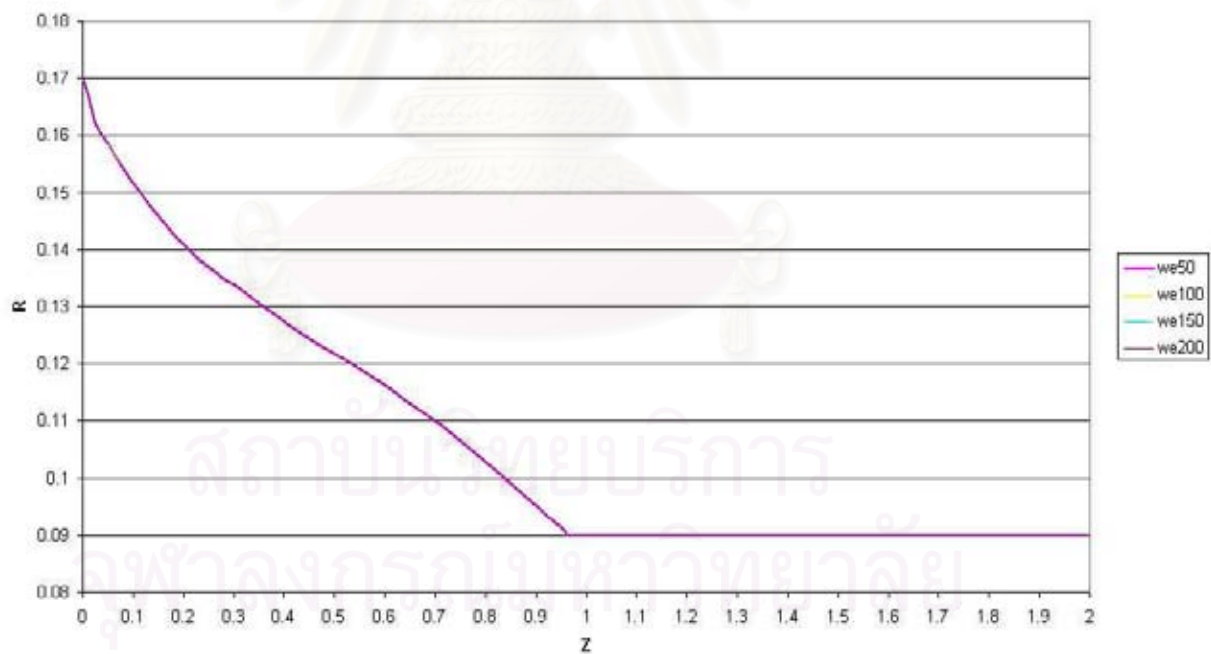


รูปที่ 4.7: ฝวอิสระจากการคำนวณการไหลเคลื่อนเส้นลวดแบบทวิรูปทูลิ่ง

จุฬาลงกรณ์มหาวิทยาลัย

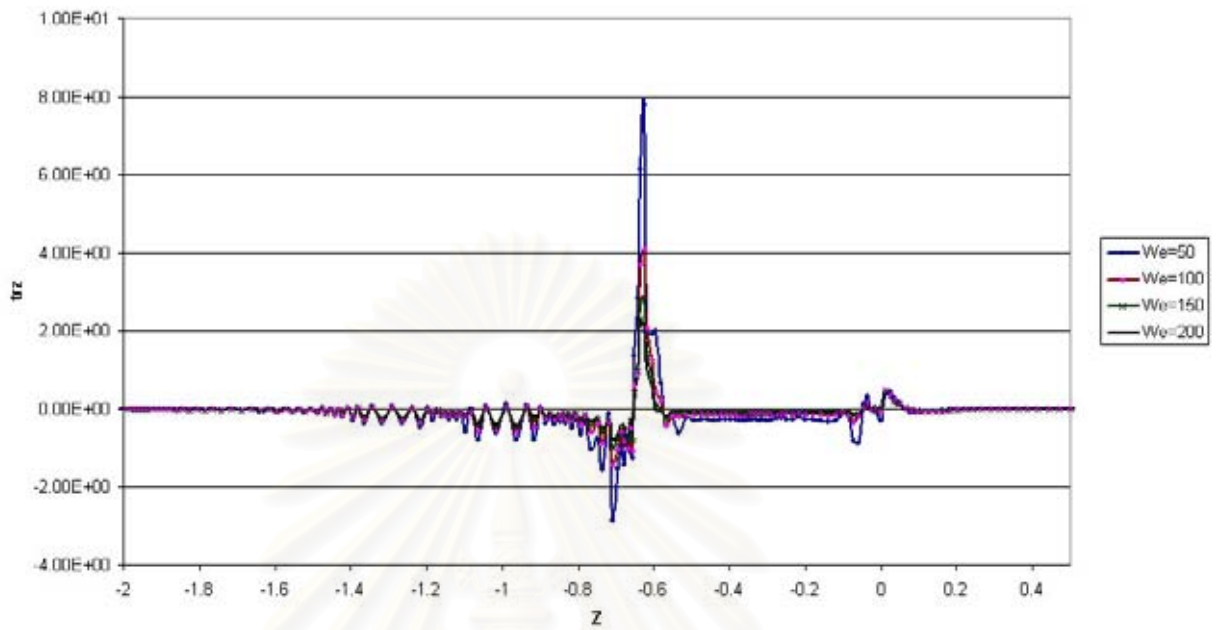


(a)

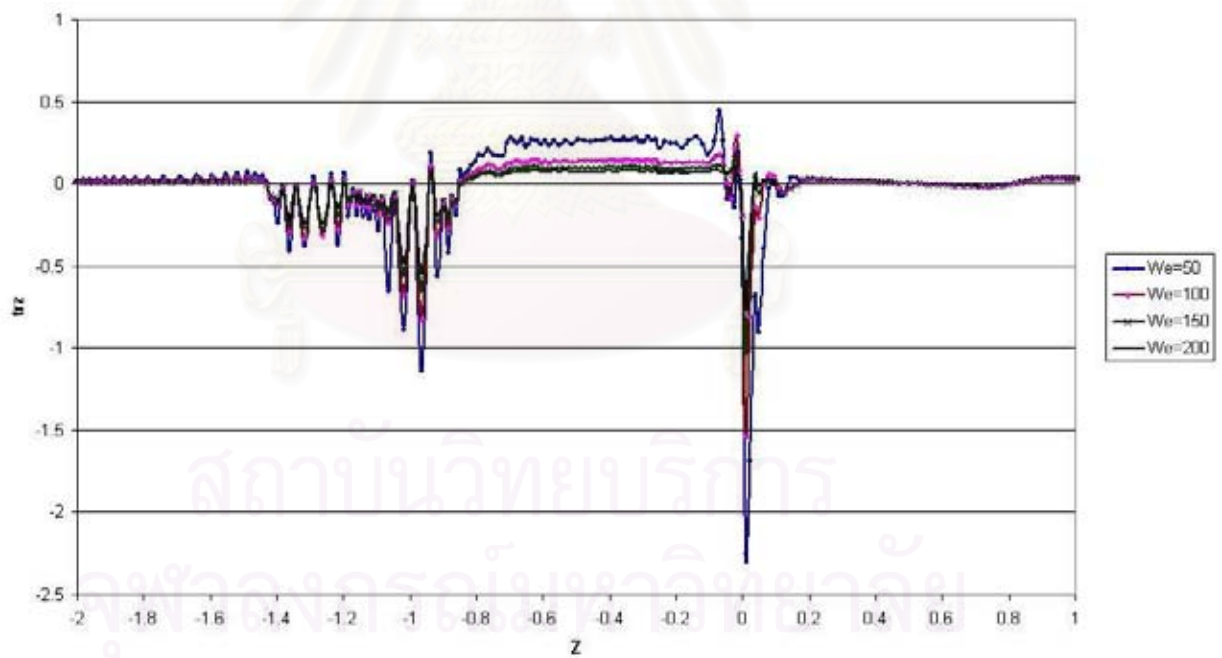


(b)

รูปที่ 4.8: ฝิวอิสระสำหรับ We ที่ 50, 100, 150, 200 (a) ฝิวอิสระบน (b) ฝิวอิสระล่าง

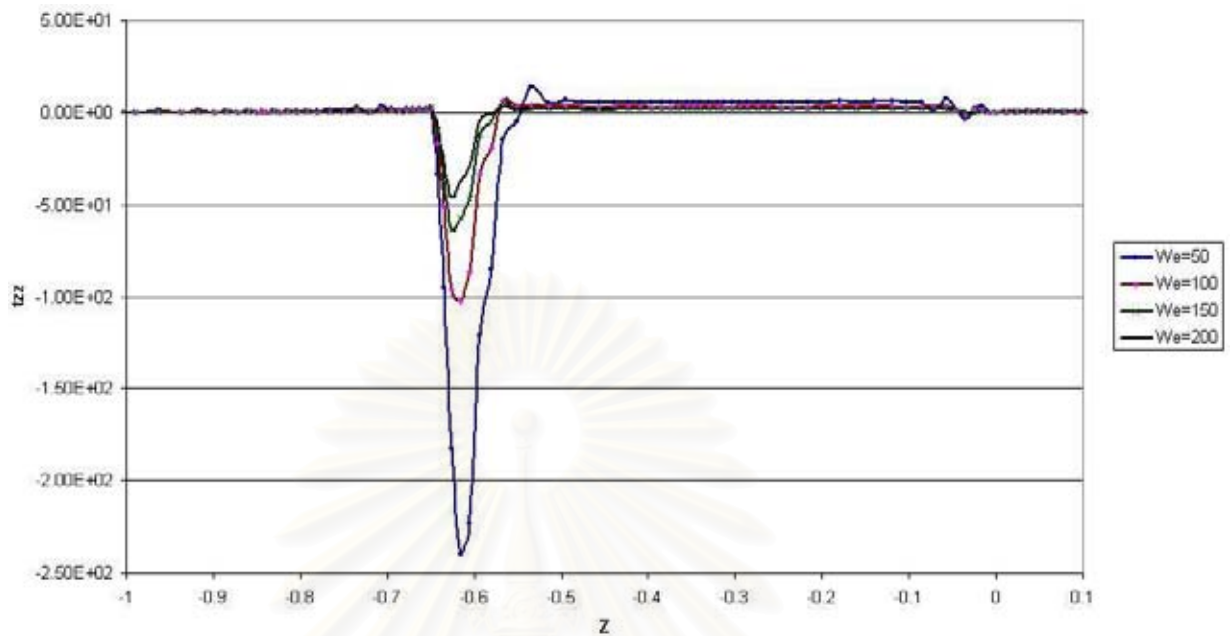


(a)

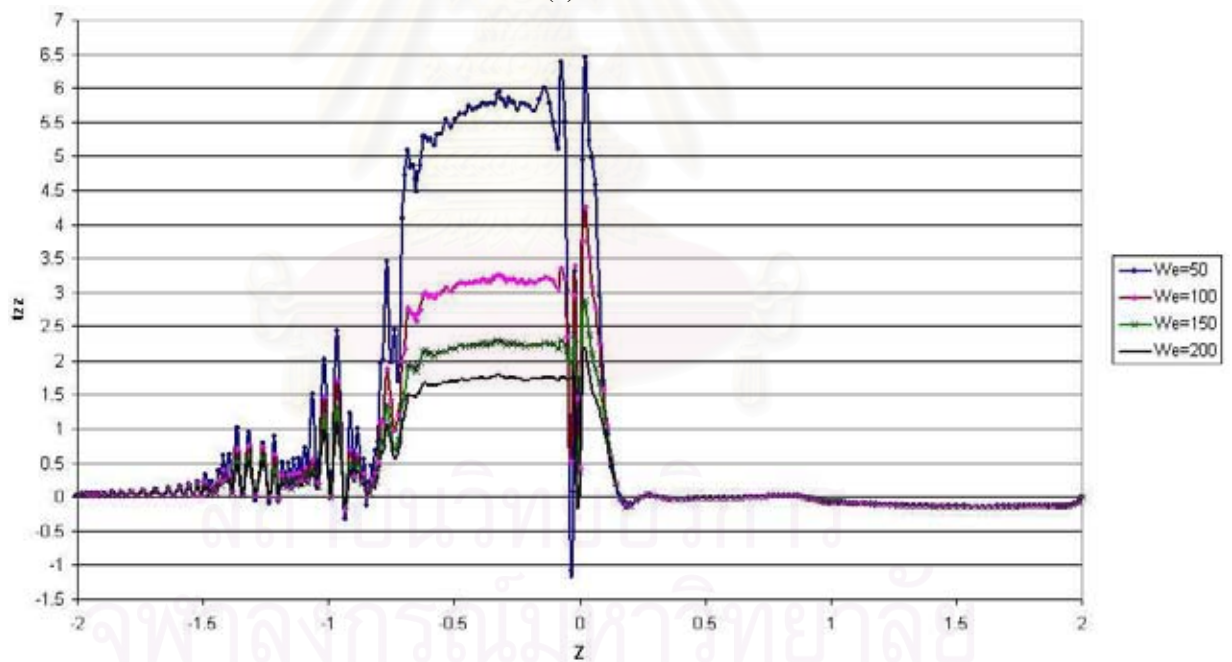


(b)

รูปที่ 4.9: τ_{rz} ที่ขอบสำหรับ We ที่ 50, 100, 150, 200 (a) τ_{rz} ที่ขอบบน (b) τ_{rz} ที่ขอบล่าง

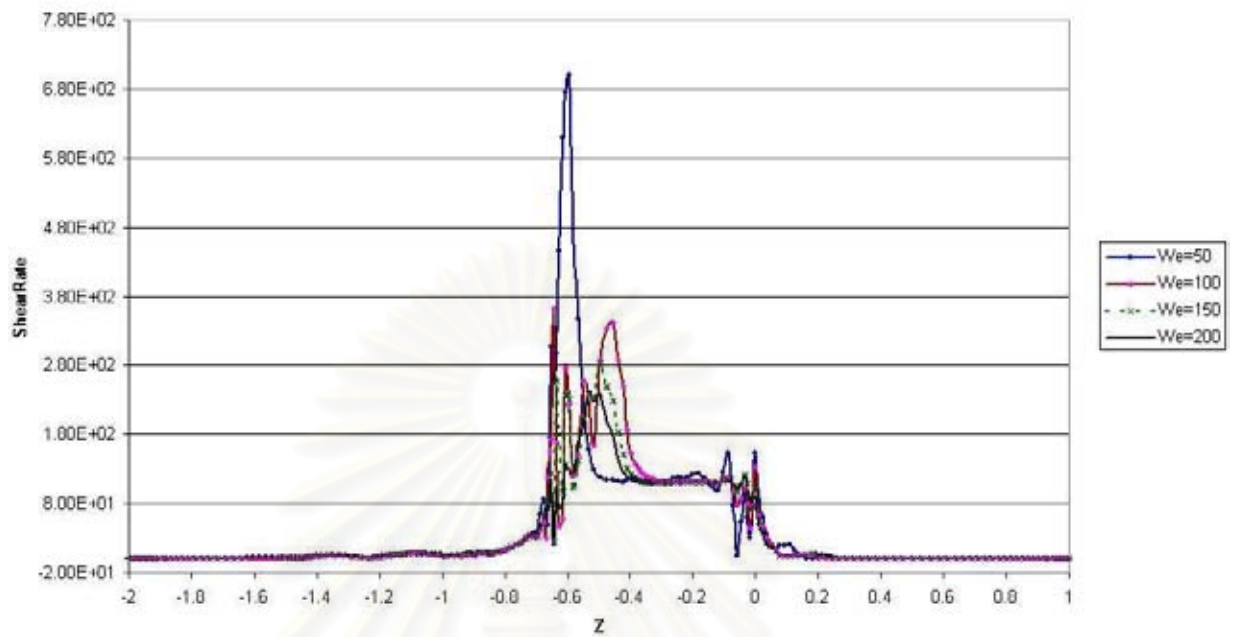


(a)

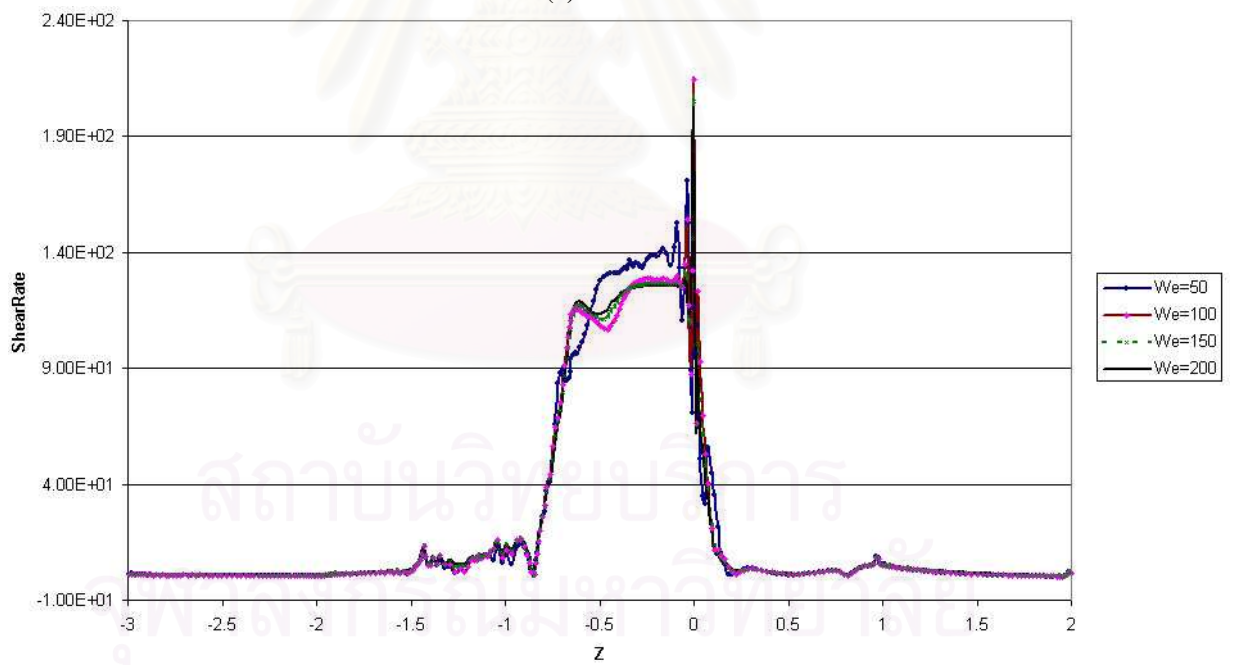


(b)

รูปที่ 4.10: τ_{zz} ที่ขอบบนและล่างสำหรับ We ที่ 50, 100, 150, 200 (a) τ_{zz} ที่ขอบบน (b) τ_{zz} ที่ขอบล่าง

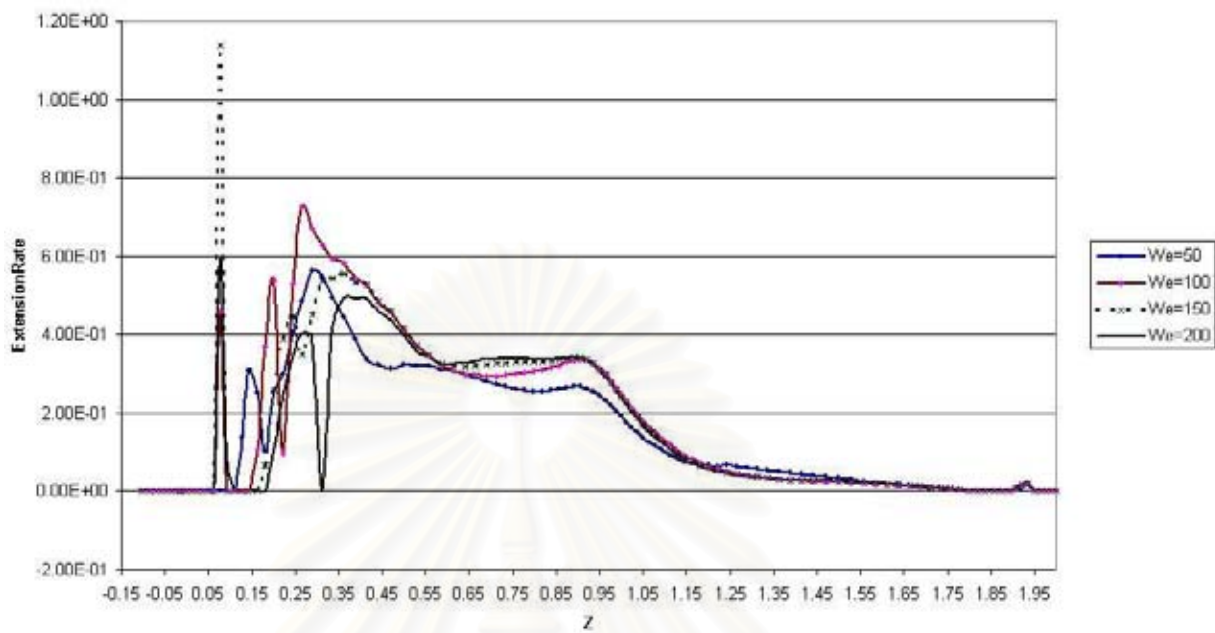


(a)

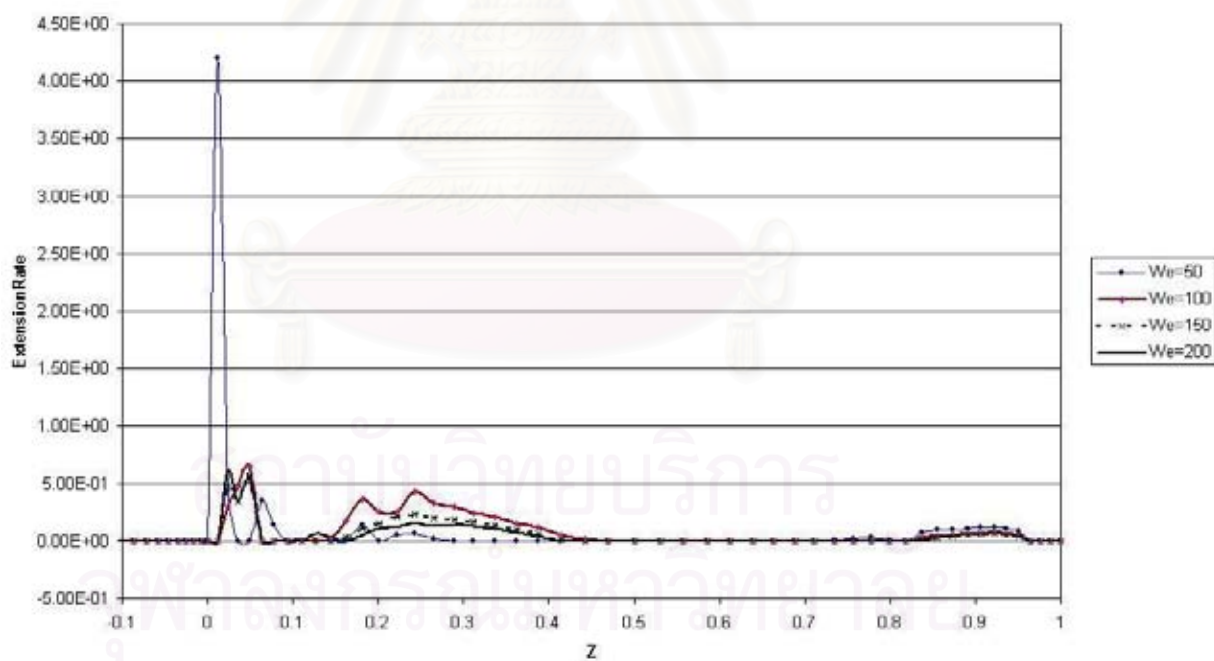


(b)

รูปที่ 4.11: $\dot{\gamma}$ ที่ขอบสำหรับ We ที่ 50, 100, 150, 200 (a) $\dot{\gamma}$ ที่ขอบบน (b) $\dot{\gamma}$ ที่ขอบล่าง



(a)



(b)

รูปที่ 4.12: $\dot{\epsilon}$ ที่ขอบบนและล่างสำหรับ We ที่ 50, 100, 150, 200 (a) $\dot{\epsilon}$ ที่ขอบบน (b) $\dot{\epsilon}$ ที่ขอบล่าง

บทที่ 5

สรุปผล (Conclusion)

5.1 สรุปผลการวิจัย (Conclusion)

การเปลี่ยนแปลงค่า We มีผลกระทบต่อความเร็ว ความดัน ความเค้น อัตราเฉือนและอัตราการยืดขยายของพอลิเมอร์ แต่มีผลกระทบน้อยมากต่อการบวมตัวของพอลิเมอร์ที่ไหลออกนอกตาย เพื่อเคลือบเส้นลวด ดังนั้นเมื่อต้องการเลือกใช้พอลิเมอร์ที่มีค่า We ที่แตกต่างกันออกไป จึงควรคำนึงถึงผลกระทบเหล่านี้ที่ยังคงทำให้การเคลือบมีการบวมตัวสม่ำเสมอ และมีคุณภาพที่ดี

การนำแรงดึงผิวมาพิจารณาประกอบการคำนวณ ผิวอิสระด้านบนและด้านล่าง ทำให้ผิวอิสระที่ได้สอดคล้องกับความเป็นจริงมากขึ้น รวมทั้งจุดคอนแทรกชันที่ใกล้เคียงผลการทดลอง

สำหรับจุดคอนแทรกชันที่คำนวณได้ในงานวิจัยนี้ใช้กับตัวแบบ EPTT ที่มีค่า $\epsilon = 0.02$, $\xi = 0.0$, $\mu_V = 0.99$ และ $\mu_N = 0.01$ อยู่ที่ประมาณ (0.09, 0.98) พบว่ามีค่าใกล้เคียงกับงานศึกษาของ Mutlu et al. [7], Ngamaramvaranggul และ Webster [15] รวมทั้ง Mattallah et al. [38] ซึ่งได้กำหนดค่าของตำแหน่งที่ผิวอิสระล่างประทะกับเส้นลวดตำแหน่งแรก หรือจุดคอนแทรกชันไว้ ณ (0.09, 1) โดยประมาณ ซึ่งเป็นผลที่ได้มาจากการทดลองจริงของกลุ่มผู้วิจัยดังกล่าว

สถาบันวิจัยบริการ
จุฬาลงกรณ์มหาวิทยาลัย

5.2 ข้อจำกัดและเงื่อนไขของงานวิจัย (Limitation and condition)

ในการทำงานวิจัยนี้มีข้อจำกัดที่อยู่ภายใต้สมมติฐานหลายประการที่ทำให้ผลเฉลยที่ได้ไม่สมบูรณ์เท่าที่ควร กล่าวโดยสรุปเป็นข้อๆ ได้ดังนี้

1. **ความคลาดเคลื่อนเนื่องจากค่าเงื่อนไขขอบ** ในงานวิจัยนี้ค่าเงื่อนไขขอบของความเร็วที่ผนังตายอยู่ภายใต้สมมติฐานที่ว่า ความเร็วไม่มีผลกระทบของการลื่นไหล ทำให้ความเร็วที่ขอบเกิดความคลาดเคลื่อน จากผลการทดลองอนุภาคของพอลิเมอร์ที่ผนังตายมีความเร็ว แต่มีค่าค่อนข้างน้อยหรือเกือบเป็นศูนย์ดังนั้นเพื่อให้สะดวกและง่ายต่อการคำนวณจึงกำหนดปัญหาอยู่ภายใต้สมมติฐานดังกล่าว
2. **ความคลาดเคลื่อนเนื่องจากระบบไม่ขึ้นกับอุณหภูมิ** ระบบไม่ขึ้นกับอุณหภูมิเป็นสมมติฐานที่ถูกกำหนดสำหรับปัญหานี้ ซึ่งหมายความว่าในทุกๆ ตำแหน่งบนโดเมนที่ศึกษาอุณหภูมิจะมีค่าเท่ากันนั่นก็คืออุณหภูมิไม่เปลี่ยนแปลงตามเวลา แต่ในความจริงแล้วอุณหภูมิในแต่ละตำแหน่งของโดเมนอาจมีค่าไม่เท่ากัน เนื่องจากการสูญเสียพลังงานในการถ่ายเทความร้อนระหว่างอนุภาคของพอลิเมอร์ในกระบวนการผลิต การที่อุณหภูมิแต่ละตำแหน่งไม่เท่ากันอาจส่งผลให้พารามิเตอร์บางค่ามีการเปลี่ยนแปลงไป
3. **ความคลาดเคลื่อนอันเนื่องมาจากแรงตึงผิวของพอลิเมอร์** ในงานวิจัยนี้แรงตึงผิวคิดเป็นพารามิเตอร์ของค่าคงที่ชุดหนึ่งที่อ้างอิงจาก [65] ซึ่งนำมาพิจารณาเฉพาะบริเวณผิวอิสระเท่านั้น แต่ในความเป็นจริงแล้วแรงตึงผิวควรนำไปพิจารณากับทั้งระบบในกระบวนการผลิต
4. **ความคลาดเคลื่อนจากลักษณะการแบ่งชั้นประกอบย่อย** ในงานวิจัยชิ้นนี้มีข้อจำกัดสำหรับรูปแบบการแบ่งโดเมนออกเป็นชั้นประกอบย่อย เนื่องจากในการคำนวณหา ความเร็ว ความดัน ความเครียดและผิวอิสระ ควรใช้ชั้นประกอบย่อยที่แบ่งโดยให้มีอัตราความโอนเอียงสูง (bias) ในบริเวณทางออกตาย แต่ในการอ้างอิงเพื่อนำพารามิเตอร์ของแรงตึงผิวมาใช้ชั้นประกอบย่อยควรทำการแบ่งอย่างสม่ำเสมอ (uniform)
5. **ความคลาดเคลื่อนจากแรงโน้มถ่วงของโลก** สำหรับแรงโน้มถ่วงในปัญหาการไหลเคลือบเส้นลวด อาจมีผลกระทบค่อนข้างน้อย แต่น่าจะมีผลกระทบบ้างเมื่อพอลิเมอร์เคลื่อนออกจากตาย ซึ่งงานวิจัยนี้ได้พิจารณาแรงโน้มถ่วงที่อยู่ในรูปพารามิเตอร์ของแรงตึงผิวที่ได้กล่าวในข้อที่ 3

5.3 ข้อเสนอแนะและแนวทางการศึกษาต่อไป (Suggestion)

สำหรับข้อจำกัดและเงื่อนไขที่ได้กล่าวมาในหัวข้อที่ 5.1 ผู้วิจัยมีข้อเสนอ ดังนี้

1. กำจัดข้อจำกัดของเงื่อนไขขอบของความเร็วที่ผนังตาย โดยเพิ่มเงื่อนไขการสั่นไหล (slip condition) ที่ผนังตาย เพื่ออธิบายปรากฏการณ์ ที่เรียกว่า การเสีรูปร่าง (melt fracture) ของพอลิเมอร์หลอมเหลว
2. เพิ่มเงื่อนไขให้เป็นระบบที่ขึ้นกับอุณหภูมิ (non-isothermal system) เพื่อให้อุณหภูมิในโดเมนที่พิจารณามีความใกล้เคียงกับกระบวนการผลิตจริงมากขึ้น
3. เพิ่มเงื่อนไขแรงตึงผิวในระบบสมการของปัญหา พร้อมทั้งพิจารณาผลกระทบจากแรงโน้มถ่วงของโลก
4. สร้างขึ้นประกอบย่อยให้มีความละเอียดอย่างเพียงพอ โดยให้ความละเอียดมากในบริเวณที่ต้องการความละเอียดสูง และในบางครั้งอาจต้องสร้างขึ้นประกอบย่อยแบบไม่มีรูปแบบ (non-uniform) เพื่อให้ค่าที่คำนวณได้มีการกระจายอย่างทั่วถึง

สถาบันวิทยบริการ
จุฬาลงกรณ์มหาวิทยาลัย

รายการอ้างอิง

- [1] R.T.Fenner and J.G.Williams. *Trans.J. Plastics Inst.* (1967):701-706.
- [2] B.Caswell and R.I.Tanner. Wirecoating die design using finite element methods. *Polymer Technology.* 18,5(1978):416-421.
- [3] E.Mitsoulis. Fluid flow and heat transfer in wire coating: A review. *Advances in Polymer Technology.* 6,4(1986):467-487.
- [4] E.Mitsoulis, R.Wagner and F.L.Heng. Numerical simulation of wire-coating low density polyethylene: Theory and experiments. *Polymer Eng. Sci.* 28,5(1988):291-311.
- [5] D.M.Binding, A.R.Blythe, S.Gunter, A.A.Mosquera, P.Townsend and M.F.Webster. Modelling polymer melt flows in wirecoating processes related fields. *J. Non-Newtonian Fluid Mech.* 64(1996):191-206.
- [6] S.Gunter, P.Townsend and M.F.Webster. Simulation of some model viscoelastic extensional flows. *Int. J. Num. Meth. Fluids.* 23(1996):691-710.
- [7] I.Mutlu, P.Townsend and M.F.Webster. Simulation of cable-coating viscoelastic flows with coupled and decoupled schemes. *J. Non-Newtonian Fluid Mech.* 74(1998):1-23.
- [8] F.P.T.Baaijens, S.H.A.Selen, H.P.W.Baaijens, G.W.N.Peters and H.E.H.Meijer, Viscoelastic flow past a confined cylinder of a LDPE melt. *J. Non-Newtonian Fluid Mech.* 68(1997):173-203.
- [9] J.Azaiez, R.Guénette and A.Ait-Kadi. Entry flow calculations using multi-mode models. *J. Non-Newtonian Fluid Mech.* 66(1996):271-281.
- [10] M.Gupta, C.A.Hieber and K.K.Wang. Viscoelastic modelling of entrance flow using multimode Leonov model. *Int. J. Numer. Meth. Fluids.* 24(1997):493-517.

- [11] H.Matallah, P.Townsend and M.F.Webster. Recovery and stress-splitting schemes for viscoelastic flows. *J. Non-Newtonian Fluid Mech.* 75(1998):139-166.
- [12] A.Baloch, H.Matallah, V.Ngamaramvaranggul and M. F.Webster. Simulation of Pressure- and Tube-tooling Wire-Coating Flows through Distributed Computation. *Int. J.Num. Meth. Heat Fluid Flow.* 12(2002):458-493.
- [13] V.Ngamaramvaranggul and M.F.Webster. Computation of Free Surface Flows with a Taylor-Galerkin/Pressure-Correction Algorithm. *Int. J. Num. Meth. Fluids.* 33(2000):993-1026.
- [14] V.Ngamaramvaranggul and M.F.Webster. Simulation of Coating Flows with Slip Effects *Int. J. Num. Meth. Fluids.* 33(2000):961-992.
- [15] V.Ngamaramvaranggul and M.F.Webster. Simulation of Pressure-tooling wire-coating flow with Phan-Thien/Tanner models *Int. J. Num. Meth. Fluids* 38(2002):677-710.
- [16] ณรงค์ฤทธิ์ สมบัติสมภพ และ ชาคริต สิริสิงห. Basic Polymer Rheology and Applications. กรุงเทพฯ : มหาวิทยาลัยเทคโนโลยีพระจอมเกล้าธนบุรี. 2544.
- [17] D.H.Morton-Jones. *Polymer Processing.* London : Chapman & Hall. 1989.
- [18] R.I.Tanner. *Engineering Rheology.* Oxford university press. 2000.
- [19] R.H.Sabersky, A.J.Acosta and E.G.Hauptmann. *Fluid flow a First cours in Fluid Mechanics.* New York : Collier-Macmillan Cannada. 1971.
- [20] P.Dechaumphai. *Finite element method for computational fluid dynamics.* Bangkok : Chulalongkorn University press. 2002.
- [21] Z.U.A.Warsi. *Fluid Dynamics Theoretical and Computational Approaches.* Florida : CRC Press. 1999.
- [22] F.M.White. *Fluid Mechanics.* Fourth Edition, New York : McGraw-Hill. 1999.

- [23] V.Ngamaramvaranggul. Numerical Simulation of Non-Newtonian Free Surface Flows. Computer Science University of Wales Swansea. 2000.
- [24] J.C.Maxwell. On the Dynamical Theory of Gases. Phil. Trans. Roy. Soc. A157(1967):49-88.
- [25] J.C.Maxwell. A Treatise on Electricity and Magnetism. New York : Reinhold Pub. 1973.
- [26] R.Hooke. A Description of Helioscopes and Some other Instruments. London. 1676.
- [27] J.G.Oldroyd. On the Formulation of Rheological Equation of State. Proc. Roy. Soc. A200(1950):523-541.
- [28] D.Paddon and H. Holstein. Technical Report. Bristol University. BUCSTR 80-01. 1980.
- [29] M.J.Crochet and R. Keunings. Finite Element Analysis of Die-swell of a Maxwell Fluid Numerical Prediction. J. Non-Newtonian Fluid Mech. 10(1982):339-356.
- [30] N.Phan-Thien. A non-linear network viscoelastic model. J. Rheol. 22(1978):259 - 283.
- [31] N.Phan-Thien and R.I. Tanner. A new constitutive equation derived from network theory. J. Non-Newtonian Fluid Mech. 2(1977):353-365.
- [32] M.J.Crochet, A.R.Davies and K.Walters. Numerical Simulation of Non-Newtonian Flow. Rheology Series 1. Elsevier Science Publishers. 1984.
- [33] R.Keunings and M.J.Crochet. Numerical simulation of the flow of a viscoelastic fluid through an abrupt contraction. J. Non-Newtonian Fluid Mech. 14(1984):279-299.
- [34] R.B.Bird, R.C.Armstrong and O.Hassager. Dynamics of polymeric liquids. Fluid mechanics. New York. 1(1987).
- [35] N.Phan-Thien. Influence of wall slip on extrudate swell a boundary element investigation. J. Non-Newtonian Fluid Mech. 26(1988):327-340.

- [36] N.Phan-Thien. Boundary-element Analysis of Forming Processes. Numerical Modelling of Material Deformation Processes: Research, Development and Application. London, 1992.
- [37] I.Mutlu, P.Townsend and M.F.Webster. Computation of viscoelastic cable coating flow. J. Non-Newtonian Fluid Mech. 26(1998):697-712.
- [38] H.Matallah, P.Townsend and M.F.Webster. Viscoelastic multi-mode simulations of wire-coating. J. Non-Newtonian Fluid Mech. 90(2000):217-241.
- [39] H.Matallah, P.Townsend and M.F.Webster. Viscoelastic computations of polymeric wire-coating flows. CSR13-2000. University of Wales Swansea. 2000.
- [40] R.L.Daugherty, J.B.Franzini and E.J.Finnemore. Fluid Mechanics with Engineering Application. Singapore : McGraw-Hill. 1989
- [41] C.D.Han. Rheology in Polymer Processing. New York : Academic press. 1976.
- [42] R.B.Bird, W.E. Stewart and E.N. Lightfoot. Transport Phenomena. London : JohnWiley&Sons. 1960.
- [43] R.B.Bird and R.C.Armstrong. Stress Tensor for Arbitrary Flows of Dilute Solutions of Rodlike Macromolecules. J. Chem. Phys. 58,7(1973): 2715-2723.
- [44] K.Walter. Rheometry. London : Chapman & Hall. 1975.
- [45] R.S. Rivlin and J.L. Eriksen. Stress Deformation Relations for Isotropic Material. J. Rat. Mech. Anal. 4 (1955): 323-425.
- [46] M.Reiner. Deformation Strain and Flow. New York : Wiley. 1960.
- [47] ปราโมทย์ เดชะอำไพ. ระเบียบวิธีเชิงตัวเลขในงานวิศวกรรม. พิมพ์ครั้งที่ 3. กรุงเทพฯ ฯ : โรงพิมพ์แห่งจุฬาลงกรณ์มหาวิทยาลัย. 2544.

- [48] พรชัย สาตราหา. Numerical Analysis I. กรุงเทพฯ ฯ : ภาควิชาคณิตศาสตร์
จุฬาลงกรณ์มหาวิทยาลัย. 2544.
- [49] O.C.Zienkiewicz and Y.K.Cheung. Finite Element in the Solution of Field Problems.
The Engineer. (1965):507-510.
- [50] R.H.Gallagher, J.T.Oden, C.Taylor and O.C.Ziekiewiz. Finite elements in fluids -
Volume1. London : John Wiley & Sons. 1975.
- [51] R.H.Gallagher, J.T.Oden, C.Taylor and O.C.Ziekiewiz. Finite elements in fluids -
Volume2. London : John Wiley & Sons. 1975.
- [52] J.N.Reddy. An introduction to the finite element method. Singapore : McGraw-Hill.
1985.
- [53] T.R.Chandsupatla and A.D.Belegundu. Introduction to finite elements in engineering.
New Jersey : Prentice Hall. 1991.
- [54] J.J.Connor and C.A.Brebbia. Finite element techniques for fluid flow. London : Butter-
worth & Co(Publishers). 1976.
- [55] J.N.Reddy and D.K.Gartling. The finite element method in heat transfer and fluid
dynamics. second edition. Florida : CRC Press. 2000.
- [56] E.Hinton and D.R. J.Owen. An introduction to finite element computations. Swansea
:Prineridge Press. 1980.
- [57] ปราโมทย์ เตชะอำไพ. ไฟไนต์เอลิเมนต์ในงานวิศวกรรม. พิมพ์ครั้งที่ 2 . กรุงเทพฯ ฯ : โรงพิมพ์
แห่งจุฬาลงกรณ์มหาวิทยาลัย. 2542.
- [58] P.Grant, M.Haveraaen and M.F.Webster. Tensor Abstraction Programming of computa-
tional fluid dynamics. CSR3-98. University of Wales Swansea. 1998.

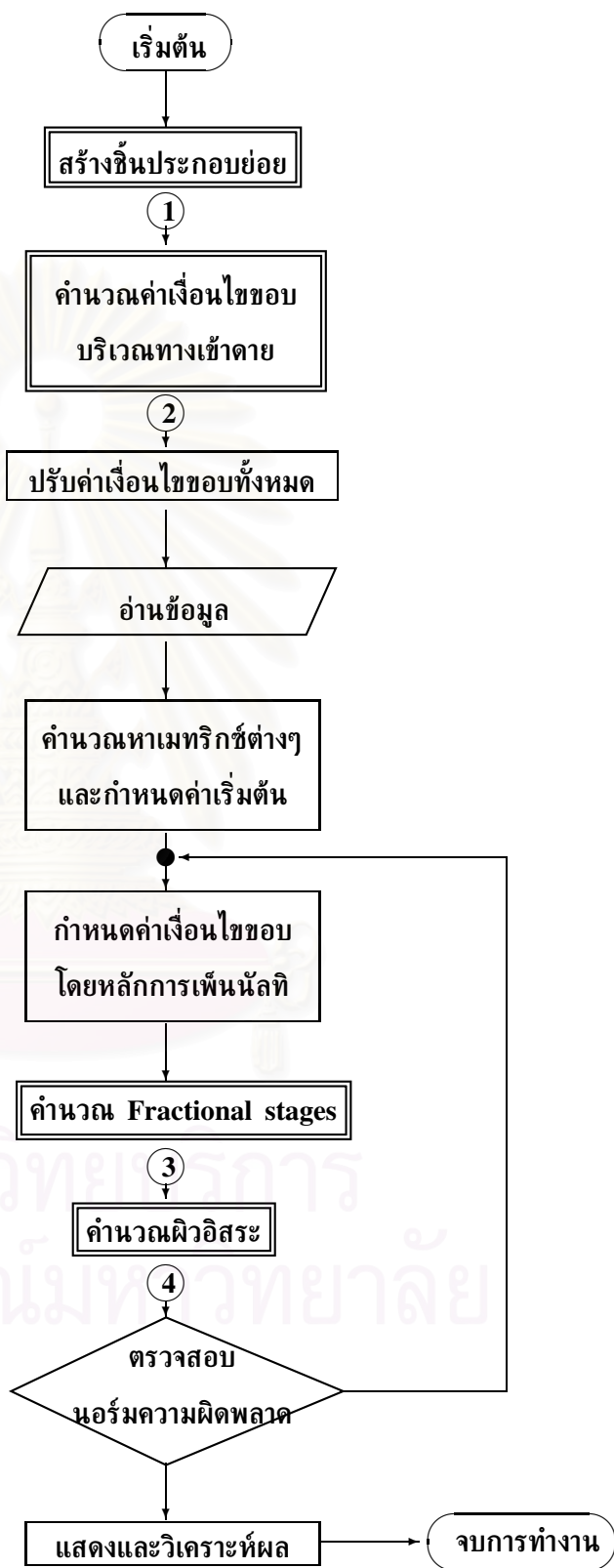
- [59] H.Matallah, P.Townsend and M.F.Webster. Embedded recovery methods for viscoelastic flows. CSR7-2000. University of Wales Swansea. 2000.
- [60] V.Ngamaramvaranggul and M.F.Webster. Viscoelastic Simulations of Stick-Slip and Die-Swell Flows. *Int. J. Num. Meth. Fluids.* 36(2001):539-595.
- [61] A.N.Brooks and T.J.R.Hughes. Streamline upwind/Petrov-Galerkin formulations for convection dominated flows with particular emphasis on the incompressible navier-stokes equation. *Comp. Meth. App. Eng.* 32(1982):199 - 259.
- [62] E.O.A.Carew, P.Townsend and M.F.Webster. A Taylor-Petrov-Galerkin algorithm for viscoelastec flow. *J. Non-Newtonian Fluid Mech.* 50(1993):253-287.
- [63] B.V.Rathish Kummar, P.Srinivasa Rao and P.Sinha. Stream upwind Petrov-Galerkin finite element analysis of thermal effects on load carrying capacity in slider bearings. *Numerical Heat Transfer. Part A.* 38(2000):305 - 328.
- [64] A.W.Neuman and J.K.Spelt. *Applied surface thermodynamics.* New York : Marcel Dekker, inc. 1996.
- [65] Spiros H.Anastasiadis and Savvas G.Hatzikiriakkos. The work of adhesion of polymer/wall interfaces and its association with the onset of wall slip. *J.Rheol.* 42,4(1998):795 - 812.



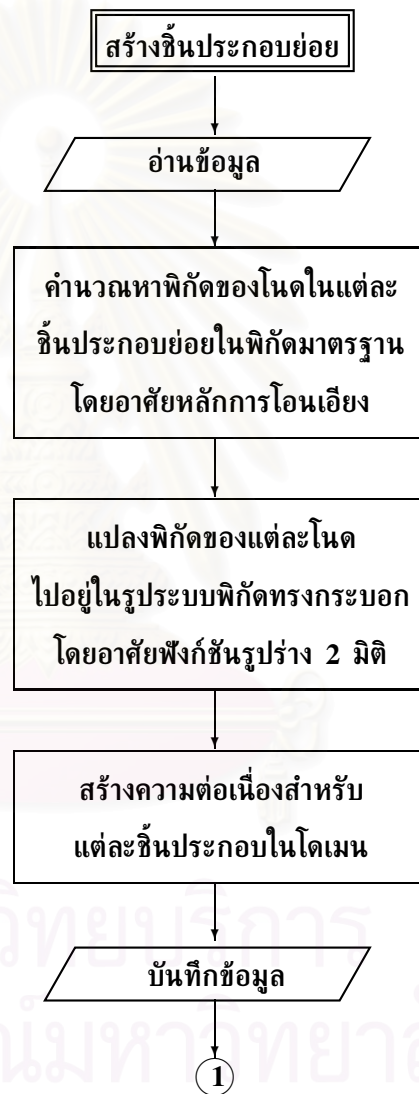
ภาคผนวก

สถาบันวิทยบริการ
จุฬาลงกรณ์มหาวิทยาลัย

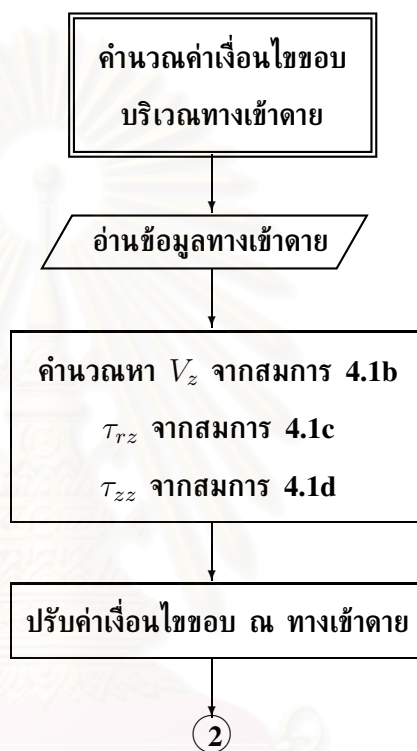
ผังงานโปรแกรม



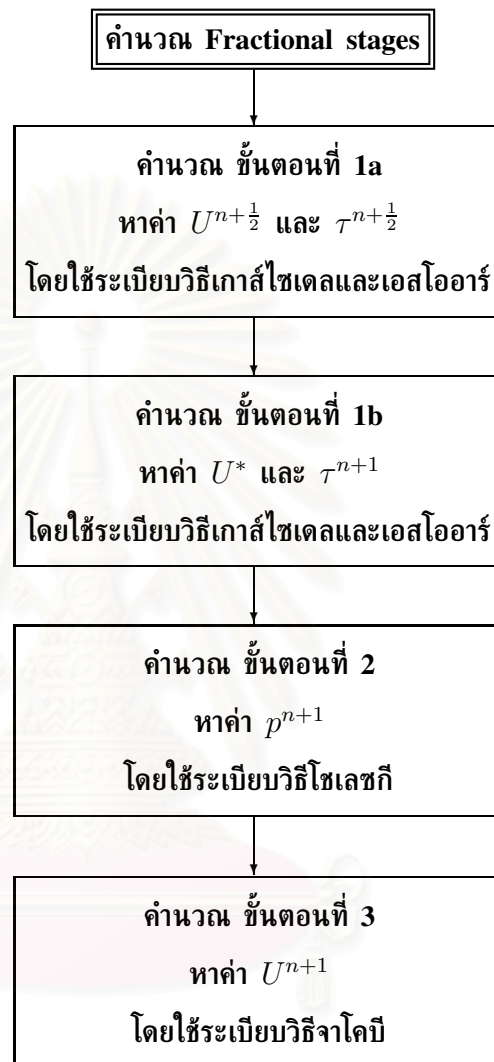
ผังงานโปรแกรม (ต่อ)



ผังงานโปรแกรม (ต่อ)

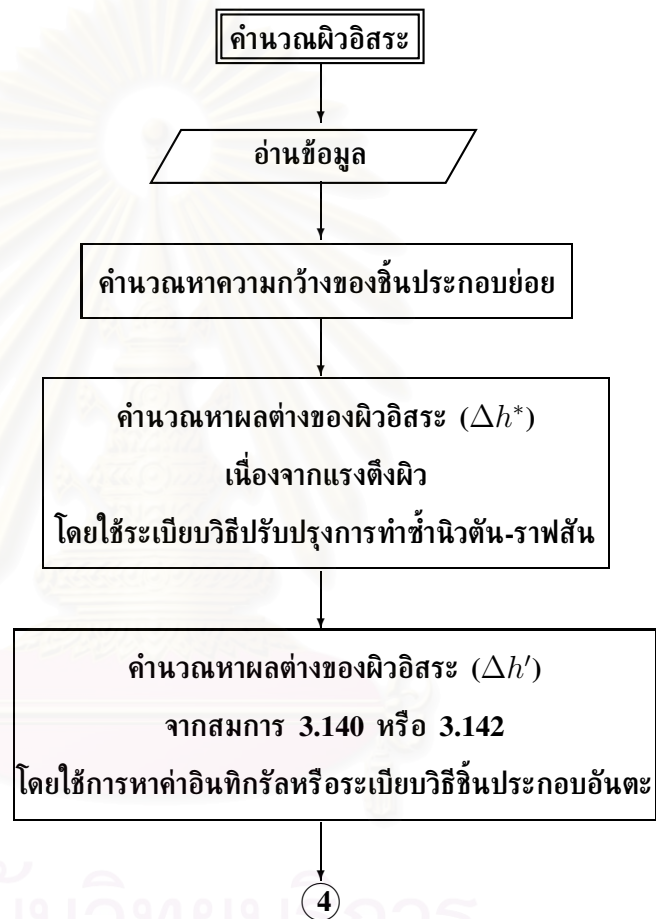


ผังงานโปรแกรม (ต่อ)



③

ผังงานโปรแกรม (ต่อ)



คำอธิบายผังงานโปรแกรม

1. เริ่มโปรแกรม
2. ฟังก์ชันการสร้างชิ้นประกอบย่อย
 - (a) อ่านข้อมูลพิกัดอ้างอิงของโดเมน
 - (b) คำนวณหาพิกัดของโนดในแต่ละชิ้นประกอบย่อยในพิกัดมาตรฐานโดยอาศัยหลักการโอนเอียง
 - (c) แปลงพิกัดของแต่ละโนดจากระบบพิกัดมาตรฐานให้อยู่ในระบบพิกัดทรงกระบอกโดยอาศัยฟังก์ชันรูปร่าง 2 มิติ
 - (d) สร้างความต่อเนื่องสำหรับแต่ละชิ้นประกอบย่อยในโดเมน
 - (e) บันทึกข้อมูลลงในไฟล์
3. ฟังก์ชันคำนวณค่าเงื่อนไขขอบบริเวณทางเข้าตาย
 - (a) อ่านข้อมูลบริเวณทางเข้าตาย
 - (b) คำนวณหา V_z จากสมการ 4.1b, τ_{rz} จากสมการ 4.1c และ τ_{zz} จากสมการ 4.1d
 - (c) ปรับปรุงค่าเงื่อนไขขอบ ณ บริเวณทางเข้าตาย
4. ปรับค่าเงื่อนไขของทั้งหมด
5. อ่านข้อมูลเพื่อคำนวณ
6. คำนวณหาเมทริกซ์ต่างๆและกำหนดค่าเริ่มต้น
7. กำหนดค่าเงื่อนไขขอบโดยหลักการเพนัลตี
8. ฟังก์ชันการคำนวณ Fractional stages
 - (a) คำนวณ ขั้นตอนที่ 1a เพื่อหาค่า $U^{n+\frac{1}{2}}$ และ $\tau^{n+\frac{1}{2}}$ โดยใช้ระเบียบวิธีเกาส์ไซเดลและเอสไออาร์
 - (b) คำนวณ ขั้นตอนที่ 1b เพื่อหาค่า U^* และ τ^{n+1} โดยใช้ระเบียบวิธีเกาส์ไซเดลและเอสไออาร์
 - (c) คำนวณ ขั้นตอนที่ 2 เพื่อหาค่า p^{n+1} โดยใช้ระเบียบวิธีโซเลขกี

(d) คำนวณ ชั้นตอนที่ 3 เพื่อหาค่า U^{n+1} โดยใช้ระเบียบวิธีจาคอบี

9. ฟังก์ชันการคำนวณผิวนิรยะ

(a) อ่านข้อมูลพิกัดของแต่ละโนดบนขอบที่เป็นผิวนิรยะ

(b) คำนวณหาความกว้างของชั้นประกอบย่อย

(c) คำนวณหาผลต่างของผิวนิรยะ (Δh^*) เนื่องจากแรงตึงผิวโดยใช้ระเบียบวิธีปรับปรุงการทำซ้ำนิวตัน-ราฟสัน

(d) คำนวณหาผลต่างของผิวนิรยะ ($\Delta h'$) จากสมการ 3.140 หรือ 3.142 โดยใช้การหาค่าอินทิกรัลหรือระเบียบวิธีชั้นประกอบอันดับ

10. ตรวจสอบค่านอร์มความผิดพลาด หากค่านอร์มความผิดพลาดไม่น้อยกว่าหรือเท่ากับค่าที่กำหนดไว้ให้กลับไปทำ 7

11. แสดงผลและวิเคราะห์ผล

12. จบการทำงาน



สถาบันวิทยบริการ
จุฬาลงกรณ์มหาวิทยาลัย

ประวัติผู้เขียนวิทยานิพนธ์

นายสายธาร เทนอิสสระ เกิดเมื่อวันที่ 28 เดือนธันวาคม พุทธศักราช 2517 สำเร็จการศึกษาระดับปริญญาวิทยาศาสตรบัณฑิต สาขาคณิตศาสตร์ จากภาควิชาคณิตศาสตร์ คณะวิทยาศาสตร์ มหาวิทยาลัยขอนแก่น เมื่อพุทธศักราช 2540 ในปีพุทธศักราช 2541 ได้เข้ารับราชการในตำแหน่งอาจารย์ 1 ระดับ 3 ในสังกัดสถาบันเทคโนโลยีราชมงคล วิทยาเขตภาคตะวันออกเฉียงเหนือ นครราชสีมา กระทรวงศึกษาธิการ และในปีพุทธศักราช 2544 ได้รับอนุญาตให้ลาศึกษาต่อในหลักสูตร ปริญญาโท สาขาวิทยาการคอมพิวเตอร์ ภาควิชาคณิตศาสตร์ จุฬาลงกรณ์มหาวิทยาลัย

สถานที่ติดต่อ

แผนกวิชาคณิตศาสตร์ คณะวิทยาศาสตร์ มหาวิทยาลัยเทคโนโลยีราชมงคล อีสาน

ถนน สุรนารายณ์ ตำบล ในเมือง

อำเภอ เมือง

จังหวัด นครราชสีมา

email address : saitharn@nec.rit.ac.th

สถาบันวิทยบริการ
จุฬาลงกรณ์มหาวิทยาลัย